

สำนักหอสมุดกลาง พระจอมเกล้าลาดกระบัง

ระบบค้นหาตำแหน่งด้วยคลื่นวิทยุ

Position Finding System Base on Radio Wave



โดย

นางสาวเพ็ญประภา ปัญสุวรรณวงศ์

นายรุ่งศักดิ์ เหลืองศิริธรรม

นายวรการ วงศ์สายเชื้อ

ปริญญานิพนธ์นี้เป็นส่วนหนึ่งของการศึกษาตามหลักสูตรปริญญาวิศวกรรมศาสตรบัณฑิต

สาขาวิชาวิศวกรรมโทรคมนาคม

สถาบันเทคโนโลยีพระจอมเกล้าเจ้าคุณทหารลาดกระบัง

ปีการศึกษา 2539

เลขหมู่.....

เลขทะเบียน.....27882

วัน, เดือน, ปี 2.6.ย. 2540

เอกสารนี้เป็นเอกสารที่สงวนไว้สำหรับการใช้งานเพื่อการศึกษาเท่านั้น ไม่อนุญาตให้นำไปใช้ประโยชน์ด้านการค้า
ไม่ว่ากรณีใดๆ ทั้งสิ้น อีกทั้งห้ามมิให้ตัดแปลงเนื้อหาและต้องอ้างอิงถึงเจ้าของเอกสารทุกครั้งที่มีการนำไปใช้

ระบบค้นหาตำแหน่งด้วยคลื่นวิทยุ

Position Finding System Base on Radio Wave

โดย

นางสาวพิชญ์ประภา ปัญสุวรรณวงศ์ 86014302

นายรุ่งศักดิ์ เหลืองสิริธรรม 86014358

นายวรการ วงศ์สายเชื้อ 86014370

อาจารย์ที่ปรึกษา

รศ.ดร.วิวัฒน์ กิรานนท์

ปริญญานิพนธ์นี้เป็นส่วนหนึ่งของการศึกษาตามหลักสูตรปริญญาวิศวกรรมศาสตรบัณฑิต

สาขาวิชาวิศวกรรมโทรคมนาคม

คณะวิศวกรรมศาสตร์

สถาบันเทคโนโลยีพระจอมเกล้าเจ้าคุณทหารลาดกระบัง

ปีการศึกษา 2539

เอกสารนี้เป็นเอกสารที่สงวนไว้สำหรับการใช้งานเพื่อการศึกษาเท่านั้น ไม่อนุญาตให้นำไปใช้ประโยชน์ด้านการค้า
ไม่ว่ากรณีใดๆ ทั้งสิ้น อีกทั้งห้ามมิให้ดัดแปลงเนื้อหาและต้องอ้างอิงถึงเจ้าของเอกสารทุกครั้งที่มีการนำไปใช้

ปริญญาโทบริหารศึกษา 2539

ภาควิชาวิศวกรรมโทรคมนาคม


คณะวิศวกรรมศาสตร์ สถาบันเทคโนโลยีพระจอมเกล้าเจ้าคุณทหารลาดกระบัง

เรื่อง ระบบค้นหาตำแหน่งด้วยคลื่นวิทยุ

Position Finding System Base on Radio Wave

ผู้จัดทำ

- 1.นางสาวเพ็ญประภา ปัญสุวรรณวงศ์ 36014302
- 2.นายรุ่งศักดิ์ เหลืองศิริธรรม 36014358
- 3.นายวรกร วงศ์สายเชื้อ 36014370



อาจารย์ที่ปรึกษา

(รศ.ดร.วิวัฒน์ กิรานนท์)

เอกสารนี้เป็นเอกสารที่สงวนไว้สำหรับการใช้งานเพื่อการศึกษาเท่านั้น ไม่อนุญาตให้นำไปใช้ประโยชน์ด้านการค้า
ไม่ว่ากรณีใดๆ ทั้งสิ้น อีกทั้งห้ามมิให้ตัดแปลงเนื้อหาและต้องอ้างอิงถึงเจ้าของเอกสารทุกครั้งที่มีการนำไปใช้

ระบบค้นหาตำแหน่งด้วยคลื่นวิทยุ

Position Finding System Base on Radio Wave

โดย นางสาวเพ็ญประกาย ปัญสุวรรณวงศ์ 36014302

นายรุ่งศักดิ์ เหลืองสิริธรรม 36014358

นายวรกร วงศ์สายเชื้อ 36014370

อาจารย์ที่ปรึกษา รศ.ดร.วิวัฒน์ กิรานนท์

บทคัดย่อ

โครงการนี้เป็นระบบค้นหาตำแหน่ง โดยติดตั้งตัวส่งคลื่นวิทยุย่านวีเอชเอฟไว้กับสิ่งที่ต้องการค้นหาตำแหน่ง โดยจะใช้เครื่องรับสองชุด ซึ่งแต่ละชุดจะใช้มอเตอร์กระแสตรงควบคุมสายอากาศในการกวาดหาตำแหน่งของตัวส่งคลื่น ซึ่งสายอากาศแต่ละตัวจะรับคลื่นได้แรงที่สุดในทิศทางที่ชี้ไปยังตัวส่งคลื่น เมื่อลากเส้นตรงจากสายอากาศแต่ละตัวในทิศทางที่รับคลื่นได้แรงที่สุดมาตัดกันก็จะทราบตำแหน่งของตัวส่งได้ โดยใช้คอมพิวเตอร์ช่วยในการคำนวณและควบคุม

ABSTRACT

This project is a position finding system. An VHF transmitter is attached to a target object. Two receivers are used in this system. Each receiver has a dc motor to control an antenna scanning for the transmitter. Each antenna will receive the strongest signal in the direction to the transmitter. After drawing a line from each antenna, it will intersect at the point that the transmitter should be. A computer is used to calculate and control all of the system.

เอกสารนี้เป็นเอกสารที่สงวนไว้สำหรับการใช้งานเพื่อการศึกษาเท่านั้น ไม่อนุญาตให้นำไปใช้ประโยชน์ด้านการค้า
ไม่ว่ากรณีใดๆ ทั้งสิ้น อีกทั้งห้ามมิให้ตัดแปลงเนื้อหาและต้องอ้างอิงถึงเจ้าของเอกสารทุกครั้งที่มีการนำไปใช้

สารบัญ

	หน้า
บทที่ 1 บทนำ	1
บทที่ 2 ทฤษฎีและหลักการ	2
2.1 หลักการทำงานของระบบค้นหาตำแหน่งด้วยคลื่นวิทยุ	2
2.2 รูปแบบการแพร่กระจายคลื่นวิทยุ	4
2.3 ทฤษฎีสายอากาศ	6
2.4 สายอากาศยาก็	7
2.5 ทฤษฎีวงจรเครื่องรับระบบเอฟเอ็ม	8
2.6 การอินเตอร์เฟสกับเครื่องคอมพิวเตอร์ตามมาตรฐานของไอบีเอ็ม	9
2.7 หลักการทำงานของส่วนขับเคลื่อนสายอากาศ	15
บทที่ 3 การคำนวณและการสร้าง	18
3.1 วงจรภาครับ	18
3.2 วงจรแปลงสัญญาณไอเอฟเป็นระดับแรงดันไฟตรง	23
3.3 สายอากาศยาก็แบบ ZL สเปนเซียล	24
3.4 วงจรอินเตอร์เฟส	26
3.5 วงจรขับมอเตอร์สำหรับหมุนสายอากาศ	28
3.6 ส่วนตรวจนับมุมและส่งสัญญาณอินเทอร์วิทท์	31
บทที่ 4 ซอฟต์แวร์ของระบบค้นหาตำแหน่งด้วยคลื่นวิทยุ	32
4.1 กระบวนการรับข้อมูลความแรงของสัญญาณที่รับได้จากสายอากาศทั้งสองข้าง	34
4.2 กระบวนการคำนวณหาและแสดงตำแหน่งของเป้าหมาย	36
4.3 กระบวนการวาดรูปสัญญาณที่รับได้จากสายอากาศทั้งสองข้าง	38
บทที่ 5 การทดลองและผลการทดลอง	43
4.1 วงจรภาครับและวงจรแปลงสัญญาณไอเอฟเป็นระดับไฟตรง	43
4.2 สายอากาศยาก็แบบ ZL สเปนเซียล	50
4.3 ทดสอบการทำงานของระบบที่สมบูรณ์	50
บทที่ 5 บทสรุปและวิจารณ์	55
ภาคผนวก	
กิตติกรรมประกาศ	
บรรณานุกรม	

เอกสารนี้เป็นเอกสารที่สงวนไว้สำหรับการใช้งานเพื่อการศึกษาเท่านั้น ไม่อนุญาตให้นำไปใช้ประโยชน์ด้านการค้า
ไม่ว่ากรณีใดๆ ทั้งสิ้น อีกทั้งห้ามมิให้ตัดแปลงเนื้อหาและต้องอ้างอิงถึงเจ้าของเอกสารทุกครั้งที่มีการนำไปใช้

สารบัญรูปภาพ (ต่อ)

	หน้า
รูปที่ 4.5 แผนภูมิการไหลของกระบวนการคำนวณหาและแสดงตำแหน่งของเป้าหมาย	36
รูปที่ 4.6 แผนภูมิการไหลของกระบวนการย่อยในการหามุมที่สายอากาศแต่ละข้างชี้ไปยังเป้าหมาย	39
รูปที่ 4.7 แผนภูมิการไหลของกระบวนการย่อยในการนำค่ามุมที่คำนวณได้มาตรวจสอบความผิดพลาด	40
รูปที่ 4.8 หน้าจอแสดงระยะห่างของเป้าหมายและมุมที่สายอากาศชี้ไปยังเป้าหมายในทิศทวนเข็มนาฬิกา	40
รูปที่ 4.9 แผนภูมิการไหลของกระบวนการวาดรูปสัญญาณที่รับได้จากสายอากาศทั้งสองข้าง	41
รูปที่ 4.10 แผนภูมิการไหลของกระบวนการย่อยในการวาดรูปสัญญาณ	42
รูปที่ 4.11 หน้าจอแสดงผลของกระบวนการวาดรูปสัญญาณที่รับได้โดยสายอากาศทั้งสองข้าง	42
รูปที่ 5.1 ก. สเปกตรัมของสัญญาณเอฟเอ็มที่ป้อนเข้าที่อินพุทของพรอนท์เอนด์ชุดที่ 1	43
ข. สเปกตรัมของสัญญาณเอฟเอ็มที่เอาท์พุทของพรอนท์เอนด์ชุดที่ 1	43
รูปที่ 5.2 ก. สเปกตรัมของสัญญาณเอฟเอ็มที่ป้อนเข้าที่อินพุทของพรอนท์เอนด์ชุดที่ 2	43
ข. สเปกตรัมของสัญญาณเอฟเอ็มที่เอาท์พุทของพรอนท์เอนด์ชุดที่ 2	43
รูปที่ 5.3 ก. สเปกตรัมของภาคโลคัลออสซิลเลเตอร์ภาคแรกของเครื่องรับชุดที่ 1	44
ข. สเปกตรัมของภาคโลคัลออสซิลเลเตอร์ภาคแรกของเครื่องรับชุดที่ 2	44
รูปที่ 5.4 ก. สัญญาณไอเอฟ 10.7 MHz ที่ป้อนเข้าที่อินพุทของมิกเซอร์ภาคแรกของเครื่องรับชุดที่ 1	45
ข. สัญญาณไอเอฟ 10.7 MHz ที่ป้อนเข้าที่อินพุทของมิกเซอร์ภาคแรกของเครื่องรับชุดที่ 2	45
รูปที่ 5.5 ก. สัญญาณของภาคโลคัลออสซิลเลเตอร์ภาคที่สองของเครื่องรับชุดที่ 1	46
ข. สัญญาณของภาคโลคัลออสซิลเลเตอร์ภาคที่สองของเครื่องรับชุดที่ 2	46
รูปที่ 5.6 ก. สัญญาณไอเอฟ 455 kHz ที่ป้อนเข้าที่อินพุทของมิกเซอร์ภาคที่สองของเครื่องรับชุดที่ 1	47
ข. สัญญาณไอเอฟ 455 kHz ที่ป้อนเข้าที่อินพุทของมิกเซอร์ภาคที่สองของเครื่องรับชุดที่ 2	47
รูปที่ 5.7 ก. สัญญาณเบสแบนด์ที่เอาท์พุทของภาคดีเท็กต์สัญญาณเสียงของเครื่องรับชุดที่ 1	48
ข. สัญญาณเบสแบนด์ที่เอาท์พุทของภาคดีเท็กต์สัญญาณเสียงของเครื่องรับชุดที่ 2	48
รูปที่ 5.8 แสดงผลการแปลงสัญญาณไอเอฟเป็นระดับไฟตรง	49
รูปที่ 5.9 รูปแบบการรับคลื่นของสายอากาศตัวที่ 1	51
รูปที่ 5.10 รูปแบบการรับคลื่นของสายอากาศตัวที่ 2	51
รูปที่ 5.11 อัตราส่วนคลื่นนิ่งของสายอากาศตัวที่ 1	52
รูปที่ 5.12 อัตราส่วนคลื่นนิ่งของสายอากาศตัวที่ 2	53
รูปที่ 5.13 หน้าจอแสดงรูปแบบของคลื่นที่รับได้โดยสายอากาศทั้งสองข้างจากเป้าหมายในการทดลอง	54
รูปที่ 5.14 หน้าจอแสดงตำแหน่งเป้าหมายที่คำนวณได้จากการทดลอง	54
รูปที่ 6.1 แสดงบริเวณที่ระบบสามารถค้นหาตำแหน่งของเป้าหมายได้	55

บทที่ 1

บทนำ

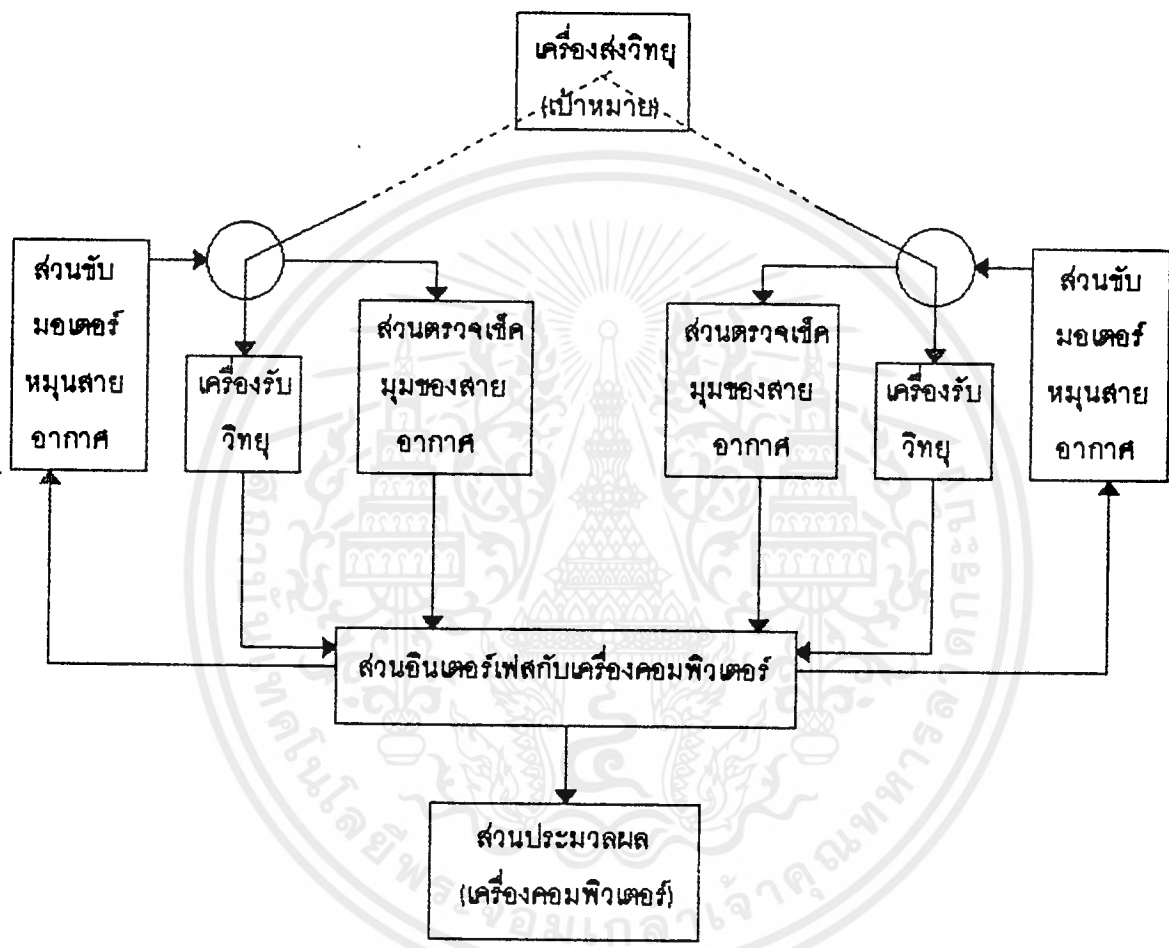
ระบบสื่อสารด้วยคลื่นวิทยุ นั้นนับว่ามีความสำคัญอย่างมากต่อการดำเนินกิจกรรมต่าง ๆ ของมนุษย์ ตั้งแต่อดีตจนถึงปัจจุบัน มนุษย์ได้นำระบบสื่อสารด้วยคลื่นวิทยุไปใช้ประโยชน์อย่างมากมายหลายด้าน ไม่ว่าจะเป็นใช้ในการติดต่อสื่อสารกันโดยตรงหรือนำไปประยุกต์ใช้งานด้านอื่น เช่น การควบคุมระยะไกลด้วยคลื่นวิทยุ (Remote Control) ระบบติดตามสัญญาณที่แรงที่สุด (Tracking System) ระบบค้นหาทิศทางของคลื่นวิทยุ (Directional Finding) และระบบค้นหาตำแหน่งด้วยคลื่นวิทยุ (Position Finding) เป็นต้น ซึ่งระบบต่าง ๆ ที่ได้กล่าวมาล้วนน่าสนใจและน่าศึกษาทดลองเพื่อนำมาใช้ประโยชน์จริง ระบบหนึ่งที่น่าสนใจและเป็นหัวข้อของโครงการนี้คือ ระบบค้นหาตำแหน่งด้วยคลื่นวิทยุ ซึ่งเป็นระบบที่สามารถนำมาประยุกต์ใช้ประโยชน์ได้อย่างมากมาย เช่น ใช้ในการตรวจจับวิทยุสื่อสารเถื่อน ใช้จับทุจริตการสอบที่ใช้เครื่องมือสื่อสารเป็นอุปกรณ์ในการทุจริต และอาจพัฒนาไปใช้ในการติดตามเป้าหมายที่เป็นสิ่งมีชีวิต ซึ่งไม่สามารถใช้ระบบเรดาร์ในการค้นหาได้ เช่น การติดตามผู้ต้องหาของตำรวจ หรือการติดตามพฤติกรรมของสัตว์ โดยการใช้เครื่องส่งวิทยุเล็ก ๆ ไปติดไว้กับเป้าหมายที่เราต้องการติดตาม และใช้กระบวนการที่เหมาะสมในการรับสัญญาณจากเครื่องส่งเข้ามาวิเคราะห์หาตำแหน่งของเป้าหมายได้

ในปัจจุบันระบบค้นหาตำแหน่งด้วยคลื่นวิทยุ ก็มีการใช้กันอยู่บ้างแต่ยังไม่แพร่หลายนัก ที่ใช้กันในเมืองไทยก็มีรถโมบายสำหรับจับวิทยุสื่อสารเถื่อนของการสื่อสารแห่งประเทศไทย ซึ่งใช้สายอากาศแบบหาทิศทางได้ในตัว (Sense Antenna) โดยไม่ต้องหมุนหา ซึ่งเป็นเทคโนโลยีขั้นสูงจึงมีราคาแพงมาก ในเมืองไทยยังไม่สามารถผลิตเองได้ แต่สำหรับระบบค้นหาตำแหน่งด้วยคลื่นวิทยุในโครงการนี้จะเป็นการประยุกต์เอาระบบค้นหาทิศทางมาใช้โดยใช้สายอากาศแบบมีทิศทาง (Directional Antennas) หมุนกวาดรับสัญญาณจากเครื่องส่งไปรอบตัว ซึ่งเราจะสามารถรู้ทิศทางของเครื่องส่งได้จากทิศที่สายอากาศนั้นรับสัญญาณได้แรงที่สุดนั่นเอง ดังนั้นถ้าเราใช้สายอากาศแบบมีทิศทางสองชุดวางห่างกันด้วยระยะที่เหมาะสม แล้วหมุนรับสัญญาณจากเครื่องส่งที่เป้าหมาย เพื่อหาทิศทางที่สายอากาศแต่ละข้างชี้ไปยังเป้าหมาย ซึ่งเมื่อลากเส้นตรงในทิศที่สายอากาศแต่ละข้างชี้ไปยังเป้าหมายก็จะต้องมาตัดกัน ทำให้เรารู้ตำแหน่งของเป้าหมายได้ สำหรับหลักการโดยละเอียดและทฤษฎี รวมถึงการสร้าง การคำนวณ และการทดลองต่าง ๆ จะได้กล่าวถึงในบทต่อ ๆ ไป

บทที่ 2
หลักการและทฤษฎี

2.1 หลักการทำงานของระบบค้นหาตำแหน่งด้วยคลื่นวิทยุ

ระบบค้นหาตำแหน่งด้วยคลื่นวิทยุมีหลักการและส่วนประกอบต่าง ๆ ดังบล็อกไดอะแกรมรูปที่ 2.1

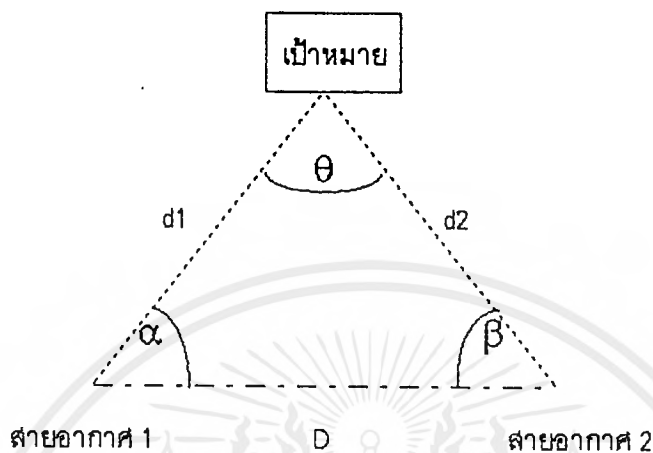


รูปที่ 2.1 บล็อกไดอะแกรมของระบบค้นหาตำแหน่งด้วยคลื่นวิทยุ

ระบบค้นหาตำแหน่งด้วยคลื่นวิทยุจะใช้สายอากาศแบบมีทิศทาง (Directional Antenna) สองชุดวางห่างกันพอสมควร แล้วให้สายอากาศแต่ละชุดหมุนไปรอบ ๆ ตัวเพื่อรับคลื่นวิทยุจากเครื่องส่งของเป้าหมาย โดยส่วนประมวลผลจะควบคุมให้วงจรรับมอเตอร์แต่ละชุดหมุนสายอากาศไปที่ละองศา โดยมีส่วนตรวจเช็คมุมของสายอากาศคอยส่งสัญญาณกลับไปให้ส่วนประมวลผลเห็นว่าหมุนไปถึงองศาแล้ว และเครื่องรับวิทยุก็จะรับสัญญาณจากสายอากาศในแต่ละทิศส่งไปยังส่วนอินเตอร์เฟสเพื่อทำการแปลงระดับความแรงของสัญญาณที่ได้รับได้เป็นข้อมูลดิจิทัลโดยใช้วงจรแปลงสัญญาณอนาล็อกเป็นดิจิทัล (Analog to Digital Converter) และส่งไปให้ส่วนประมวลผลทำการเก็บข้อมูลไว้ เมื่อสายอากาศหมุนรับคลื่นไปจนครบรอบ ส่วนประมวลผลก็จะนำข้อมูลที่ได้ทั้งหมดจากสายอากาศทั้งสองชุดมาทำการประมวลผลเพื่อหาตำแหน่งของ

ไม่ว่ากรณีใดๆ ทั้งสิ้น อีกทั้งห้ามมิให้ตัดแปลงเนื้อหาและต้องอ้างอิงถึงเจ้าของเอกสารทุกครั้งที่มีการนำไปใช้

เป้าหมาย ซึ่งตำแหน่งของเป้าหมายจะอยู่ที่จุดตัดของแนวเส้นตรงสองเส้นที่ลากจากสายอากาศแต่ละจุดมาในทิศทางที่รับสัญญาณได้แรงที่สุดนั่นเอง เมื่อเรารู้พิกัดตำแหน่งของสายอากาศทั้งสองจุด เราก็สามารถคำนวณหาพิกัดตำแหน่งของเป้าหมายโดยเทียบกับแผนที่ได้ดังรูปที่ 2.2



รูปที่ 2.2 การหาพิกัดตำแหน่งของสายอากาศ

จากรูปที่ 2.2 เมื่อเราทราบมุมของทิศทางที่สายอากาศทั้งสองรับสัญญาณได้แรงที่สุดแล้วเราจะสามารถหาระยะห่างของเป้าหมายกับสายอากาศทั้งสองได้โดยใช้กฎของไซน์ ดังสมการที่ 2.1

$$\frac{D}{\sin \theta} = \frac{d_1}{\sin \beta} = \frac{d_2}{\sin \alpha} \dots\dots\dots (2.1)$$

$$\text{ฉะนั้น } d_1 = \frac{D \cdot \sin \beta}{\sin \theta} \quad \text{และ} \quad d_2 = \frac{D \cdot \sin \alpha}{\sin \theta}$$

โดยที่ D คือระยะห่างระหว่างสายอากาศทั้งสอง

d1 คือระยะห่างระหว่างสายอากาศ 1 กับเป้าหมาย

d2 คือระยะห่างระหว่างสายอากาศ 2 กับเป้าหมาย

α คือมุมที่แนวเส้นตรงระหว่างเป้าหมายกับสายอากาศ 1 ทำกับแนวเส้นตรงระหว่างสายอากาศทั้งสอง

β คือมุมที่แนวเส้นตรงระหว่างเป้าหมายกับสายอากาศ 2 ทำกับแนวเส้นตรงระหว่างสายอากาศทั้งสอง

เอกสารนี้เป็นเอกสารที่สงวนลิขสิทธิ์สำหรับงานเพื่อการศึกษาเท่านั้น ไม่อนุญาตให้นำไปใช้ประโยชน์ด้านการค้า
 θ คือมุมที่มีค่าเท่ากับ $180 - \alpha - \beta$
 ไม่ว่าจะกรณีใดๆ ทั้งสิ้น อีกทั้งห้ามมิให้คัดแปลงเนื้อหาและต้องอ้างอิงถึงเจ้าของเอกสารทุกครั้งที่มีการนำไปใช้

2.2 รูปแบบการแพร่กระจายคลื่นวิทยุ (Radio Wave Propagation)

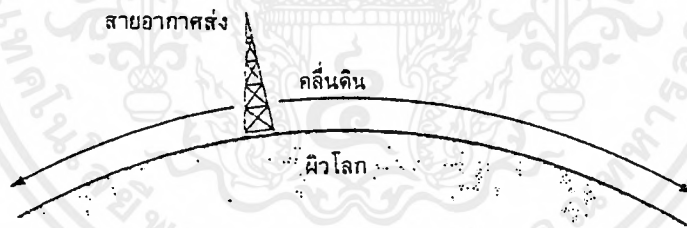
คลื่นวิทยุที่ถูกส่งออกจากสายอากาศส่งอาจจะเดินทางไปถึงสายอากาศรับในรูปแบบต่าง ๆ กัน ทั้งนี้ขึ้นอยู่กับองค์ประกอบหลายอย่าง ได้แก่

- (1) ความถี่ที่ใช้งาน
- (2) ระยะทางระหว่างจุดส่งกับจุดรับ
- (3) สภาพของบรรยากาศ

รูปแบบของการแพร่กระจายคลื่นวิทยุแบ่งออกเป็น

- (1) คลื่นดิน (Ground Wave Propagation)

การแพร่กระจายคลื่นแบบนี้ คลื่นจะเดินทางไปตามความโค้งของโลก โดยที่สายอากาศส่งและสายอากาศรับจะต้องอยู่ใกล้กับผิวโลก และที่ส่วนล่างของสายอากาศจะต้องติดอยู่กับพื้นดิน (Ground) คลื่นดินนี้จะมีแฉ่งค์ประกอบในแนวตั้ง (Vertical Polarization) เพราะองค์ประกอบในแนวนอน (Horizontal Polarization) จะถูกทำให้ลัดวงจรกับพื้นดิน เมื่อคลื่นดินเดินทางไปตามผิวโลกพลังงานจะถูกดูดออกไปเพื่อจ่ายให้การสูญเสียในระหว่างที่เดินทางไปตามความโค้งของโลกโดยขึ้นอยู่กับความถี่ ความผิดปกติของผิวโลก และคุณสมบัติความนำแม่เหล็กไฟฟ้า ความลดทอนโดยผิวโลกจะเพิ่มขึ้นตามความถี่ที่สูงขึ้น ดังนั้นการแพร่กระจายคลื่นแบบคลื่นดินนี้จึงเหมาะสำหรับย่านความถี่ต่ำ (Low Frequency) และย่านความถี่ปานกลาง (Medium Frequency) โดยที่มีความถี่ที่ไม่เกิน 2 MHz การแพร่กระจายคลื่น วิทยุแบบคลื่นดินแสดงดังรูปที่ 2.3

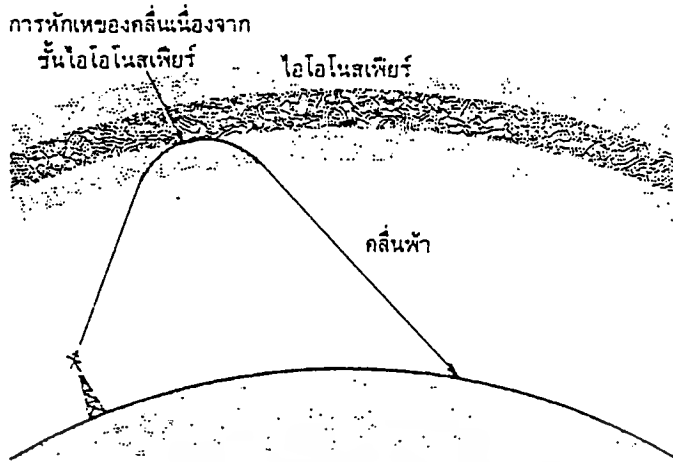


รูปที่ 2.3 การแพร่กระจายคลื่นวิทยุแบบคลื่นดิน

- (2) คลื่นฟ้า (Sky Wave Propagation)

การแพร่กระจายคลื่นแบบนี้ คลื่นวิทยุที่เดินทางออกจากสายอากาศส่งจะไปสะท้อนกับชั้นบรรยากาศไอโอโนสเฟียร์ (Ionosphere Region) แล้วจึงเข้ามาถึงสายอากาศรับได้ โดยที่ชั้นบรรยากาศไอโอโนสเฟียร์นี้จะสามารถสะท้อนคลื่นที่มีความถี่ 2 - 30 MHz ส่วนคลื่นที่มีความถี่สูงกว่า 30 MHz จะทะลุผ่านชั้นบรรยากาศไอโอโนสเฟียร์ไป ดังนั้นการแพร่กระจายคลื่นแบบคลื่นฟ้านี้จึงเหมาะสำหรับย่านความถี่ 2 - 30 MHz คลื่นฟ้าสามารถครอบคลุมระยะทางการสื่อสารได้ไกลเกือบ 4000 km แต่อย่างไรก็ดีสัญญาณที่รับได้อันเนื่องมาจากคลื่นฟ้านั้นจะได้รับผลของเฟดดิ้ง (Fading) ซึ่งความแรงของสัญญาณจะเปลี่ยนแปลงไปตามเวลาทั้งนี้ก็เพราะว่าที่จุดรับนั้นคลื่นส่วนมากจะเดินทางมาในเส้นทางต่าง ๆ กัน การแพร่กระจายคลื่นวิทยุแบบคลื่นฟ้าแสดงดังรูปที่ 2.4

เอกสารนี้เป็นเอกสารที่สำนักงานวิศวกรรมไฟฟ้าเพื่อการศึกษานานาชาติ ไม่อนุญาตให้เผยแพร่โดยไม่ได้รับอนุญาตจากทางวิศวกรรมฯ

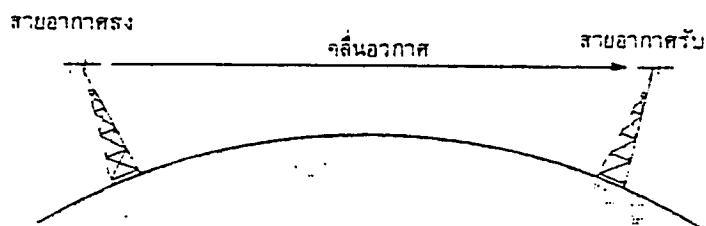


รูปที่ 2.4 การแพร่กระจายคลื่นวิทยุแบบคลื่นฟ้า

(3) คลื่นอวกาศ (Space Wave Propagation)

การแพร่กระจายคลื่นแบบนี้คลื่นวิทยุจะเดินทางจากสายอากาศส่งไปยังสายอากาศรับในลักษณะเดินทางเป็นเส้นตรงหรือสะท้อนกลับจากผิวโลก และอยู่ในบรรยากาศโทรโปสเฟียร์ซึ่งอยู่ระหว่างผิวโลกจนถึงความสูง 16 km จากผิวโลก คลื่นอวกาศจะประกอบด้วยส่วนประกอบอย่างน้อยที่สุด 2 ส่วนคือ คลื่นตรง (Direct Wave) และคลื่นสะท้อน (Reflect Wave) แม้ว่าคลื่นทั้งสองจะเดินทางออกจากสายอากาศส่งพร้อมกัน และมีเฟสเหมือนกันแต่มันอาจจะมาถึงสายอากาศรับในลักษณะเฟสตรงกัน (Inphase) หรือเฟสต่างกัน (Out of Phase) เพราะคลื่นทั้งสองเดินทางในระยะทางต่างกัน ดังนั้นที่จุดรับความแรงของสัญญาณอาจจะแรงขึ้นหรืออ่อนลงกว่าคลื่นตรงเพียงอย่างเดียวทั้งนี้ขึ้นอยู่กับว่าคลื่นทั้งสองรวมกันหรือหักล้างกัน

คลื่นอวกาศส่วนใหญ่จะอยู่ในย่านความถี่ VHF (Very High Frequency) เพราะความถี่ในย่านนี้จะทะลุผ่านชั้นบรรยากาศไอโอโนสเฟียร์ทำให้เดินทางแบบคลื่นฟ้าไม่ได้ และไม่สามารถเดินทางแบบคลื่นดินด้วยเช่นกัน เพราะความถี่สูงมีการลดทอนเนื่องจากผิวโลกอย่างมาก นอกจากนี้คลื่นอวกาศยังอาจเรียกว่าเป็นการเดินทางของคลื่นในระยะสายตา (Line of Sight Propagation) เพราะการเดินทางของคลื่นแบบนี้จะถูกจำกัดด้วยระยะที่เรียกว่า ระยะสายตาระหว่างสายอากาศส่งกับสายอากาศรับ และถูกจำกัดด้วยความโค้งของโลกด้วย การแพร่กระจายคลื่นวิทยุแบบคลื่นอวกาศแสดงดังรูปที่ 2.5



รูปที่ 2.5 การแพร่กระจายคลื่นวิทยุแบบคลื่นอวกาศ

เอกสารนี้เป็นเอกสารที่สงวนไว้สำหรับการใช้งานเพื่อการศึกษาเท่านั้น ไม่อนุญาตให้นำไปใช้ประโยชน์ด้านการค้า ไม่ว่ากรณีใดๆ ทั้งสิ้น อีกทั้งห้ามมิให้ตัดแปลงเนื้อหาและต้องอ้างอิงถึงเจ้าของเอกสารทุกครั้งที่มีการนำไปใช้

สำหรับในโครงการนี้เราเลือกใช้ความถี่ประมาณ 150 MHz ซึ่งอยู่ในช่วงความถี่วิทยุสมัครเล่นอีกช่วงหนึ่ง ดังนั้นจะมีลักษณะการเดินทางของคลื่นเป็นแบบคลื่นอวกาศ

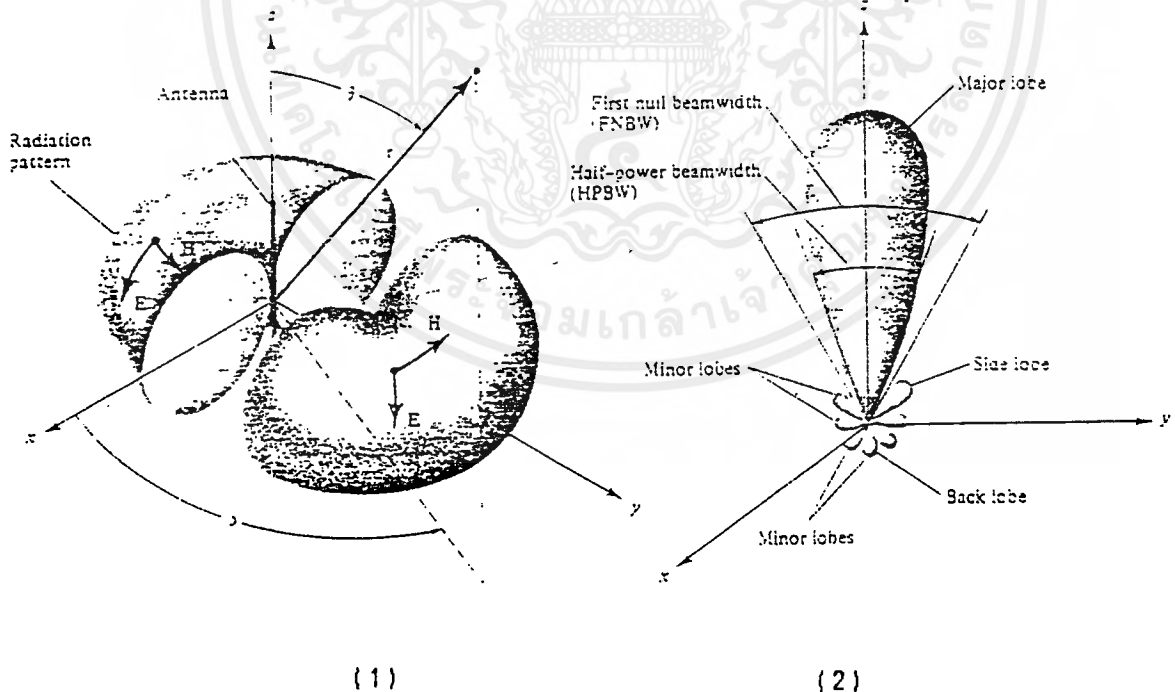
2.3 ทฤษฎีสายอากาศ

เราสามารถแบ่งชนิดของสายอากาศโดยใช้ลักษณะการแพร่กระจายคลื่นเป็นเกณฑ์จะสามารถแบ่งได้ดังนี้

(1) สายอากาศแบบไอโซทรอปิก (Isotropic Antenna) เป็นสายอากาศที่มีการแพร่กระจายคลื่นได้ดีเท่ากันในทุกทิศทุกทาง เป็นสายอากาศในอุดมคติ ใช้เป็นพื้นฐานในการเปรียบเทียบอัตราขยาย (Gain) กับสายอากาศอื่น มีลักษณะเป็นตัวกำเนิดคลื่นแบบจุด (Point Source)

(2) สายอากาศแบบมีทิศทางในระนาบเดียว (Omnidirectional Antenna) เป็นสายอากาศที่มีการแพร่กระจายคลื่นในแนวมุมกวาด (Azimuth Plane) ได้ดีเท่ากันทุกทิศทุกทาง แต่มีการแพร่กระจายคลื่นในแนวมุมก้ม-เงย (Elevation Plane) ได้ดีในทิศทางใดทิศทางหนึ่งเท่านั้นดังรูปที่ 2.6 (1) ตัวอย่างสายอากาศแบบนี้ เช่น สายอากาศโดโพล เป็นต้น

(3) สายอากาศแบบมีทิศทาง (Directional Antenna) เป็นสายอากาศที่มีการแพร่กระจายคลื่นได้ดีเฉพาะในทิศทางใดทิศทางหนึ่งเท่านั้นทั้งในแนวมุมกวาดและในแนวมุมก้ม-เงย ดังแสดงในรูปที่ 2.6 (2) สายอากาศแบบนี้ตัวอย่างเช่น สายอากาศแบบยาگی เป็นต้น



รูปที่ 2.6 ลักษณะการแพร่กระจายคลื่นของสายอากาศ (1) แบบมีทิศทางในระนาบเดียว
(2) แบบมีทิศทาง

เอกสารนี้เป็นเอกสารที่สงวนไว้สำหรับการใช้งานเพื่อการศึกษาเท่านั้น ไม่อนุญาตให้นำไปใช้ประโยชน์ด้านการค้าไม่ว่ากรณีใดๆ ทั้งสิ้น อีกทั้งห้ามมิให้ตัดแปลงเนื้อหาและต้องอ้างอิงถึงเจ้าของเอกสารทุกครั้งที่มีการนำไปใช้

สำหรับในโครงการนี้จะต้องใช้สายอากาศแบบมีทิศทางเดียว โดยได้เลือกใช้สายอากาศแบบยาก็ซึ่งเป็นสายอากาศที่ใช้กันอย่างแพร่หลาย และเป็นสายอากาศที่มีทิศทางการรับคลื่นดีพอสมควร อิมพีแดนซ์ของสายอากาศอาจจะประกอบด้วยทั้งส่วนที่เป็นรีแอกทีฟ (Reactive) และส่วนที่เป็นรีซิสทีฟ (Resistive) โดยทั่วไปส่วนมากเราต้องการอิมพีแดนซ์ ที่มีเฉพาะส่วนที่เป็นรีซิสทีฟเท่านั้น ($Z = R$) แต่หายากในทางปฏิบัติสายอากาศแบบไดโพลมีค่าอิมพีแดนซ์ ในสูญญากาศในทางทฤษฎีเป็น 73 โอห์ม ที่ความถี่ 30 เมกะเฮิรตซ์ ถ้าความถี่ที่ป้อนให้กับไดโพลแปรค่าจากความถี่ 30 เมกะเฮิรตซ์ ส่วนที่เป็นรีแอกทีฟจะปรากฏขึ้น เมื่อความถี่สูงกว่าความถี่ 30 เมกะเฮิรตซ์มาก ๆ สายอากาศมีแนวโน้มที่จะประพฤติตัวเป็นอินดักทีฟรีแอกแตนซ์ (Inductive Reactance) และค่าอิมพีแดนซ์ คือ $Z = R + jX$ ในทำนองเดียวกัน เมื่อความถี่มีค่าน้อยกว่าความถี่ 30 เมกะเฮิรตซ์ สายอากาศจะประพฤติตัวเป็นคาปาซิทีฟรีแอกแตนซ์ (Capacitive Reactance) และค่าอิมพีแดนซ์ คือ $Z = R - jX$ นอกจากนั้นที่ระยะซึ่งเข้าใกล้ผิวโลกส่วนที่เป็นรีซิสทีฟอาจจะไม่เท่ากับ 73 โอห์ม แต่อาจจะแปรค่าจาก 30 ถึง 130 โอห์ม ถึงแม้ว่าจะใช้โคแอกเซียลเคเบิลเป็นสายนำสัญญาณไปยังไดโพลก็มีโอกาสที่จะผิดพลาดได้วิธีที่ใช้กันมากในระบอบวิทยุในการแมตชิ่งคอมเพล็กซ์โหลดอิมพีแดนซ์ (Complex Load Impedance) กับแหล่งจ่ายไฟแบบรีซิสทีฟคือแทรกวงจรแมตชิ่งระหว่างโหลดกับแหล่งจ่ายไฟดังรูปที่ 2.7 วงจรแมตชิ่งต้องมีอิมพีแดนซ์ที่เป็นคอมเพล็กซ์คอนจูเกต (Complex Conjugate) กับคอมเพล็กซ์โหลดอิมพีแดนซ์ ตัวอย่างเช่น ถ้าโหลดอิมพีแดนซ์ คือ $R + jX$ วงจรแมตชิ่งต้องมีอิมพีแดนซ์เป็น $R - jX$ ในทำนองเดียวกัน ถ้าโหลดคือ $R - jX$ วงจรแมตชิ่งต้องเป็น $R + jX$



รูปที่ 2.7 บล็อกไดอะแกรมของการแมตชิ่งอิมพีแดนซ์

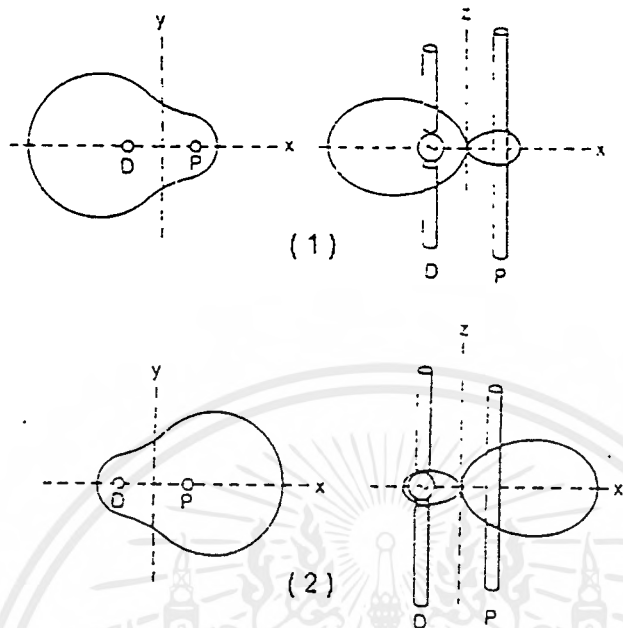
2.4 สายอากาศยาก็ (Yagi Antenna)

สายอากาศยาก็เป็นสายอากาศแบบมีทิศทางอย่างหนึ่งที่ได้รับคามนิยมใช้งานมานานตั้งแต่สมัยสงครามโลกครั้งที่สองจนถึงปัจจุบัน ลักษณะโดยทั่วไปของสายอากาศยาก็เป็นสายอากาศแบบพาราซิติคอาเรย์ (Parasitic Array) ซึ่งจะประกอบด้วย สายอากาศแบบไดโพลหลาย ๆ ตัววางเรียงกันอยู่ (Array) โดยจะมีสายอากาศไดโพลเพียงตัวเดียวเท่านั้นที่ถูกต้องกับแหล่งกำเนิดคลื่น เรียกว่า ตัวขับ (Driven Element) ส่วนสายอากาศไดโพลตัวอื่น ๆ ที่เหลือจะเป็นตัวพาราซิติค (Parasitic Element) คือ เป็นสายอากาศที่ไม่ได้ต่อเข้ากับสายนำแหล่งกำเนิดคลื่น แต่สามารถเหนี่ยวนำให้เกิดการแพร่กระจายคลื่นบนตัวมันได้ ซึ่งสายอากาศที่เป็นตัวพาราซิติคจะแบ่งได้เป็นสองแบบตามหน้าที่ดังนี้

- (1) ตัวสะท้อน (Reflector) จะมีความยาวมากกว่าตัวขับประมาณ 5% ทำหน้าที่ลดความสามารถในการรับคลื่นที่เข้ามาทางด้านหลัง (Back lobe) ดังรูปที่ 2.8-(1) โดยทั่วไปตัวสะท้อนจะวางห่างจากตัวขับประมาณ 0.04λ สายอากาศแบบยาก็มักจะมีตัวสะท้อนอยู่ตัวเดียว
- (2) ตัวชี้ทิศทาง (Director) จะมีความยาวน้อยกว่าตัวขับประมาณ 5% ทำหน้าที่เพิ่มความสามารถในการรับคลื่นในทิศทางที่ต้องการ (Main lobe) ให้ดียิ่งขึ้น ดังรูปที่ 2.8-(2) สายอากาศแบบยาก็อาจจะมีตัวชี้ทิศทาง

เอกสารนี้เป็นเอกสารที่สงวนลิขสิทธิ์ไว้เพื่อใช้ในการเรียนการสอน มิใช่สงวนลิขสิทธิ์เพื่อใช้ในการค้า ไม่ว่ากรณีใดๆ ทั้งสิ้น อีกทั้งห้ามมิให้คัดลอกเนื้อหาและต้องอ้างอิงถึงเจ้าของเอกสารทุกครั้งที่มีการนำไปใช้

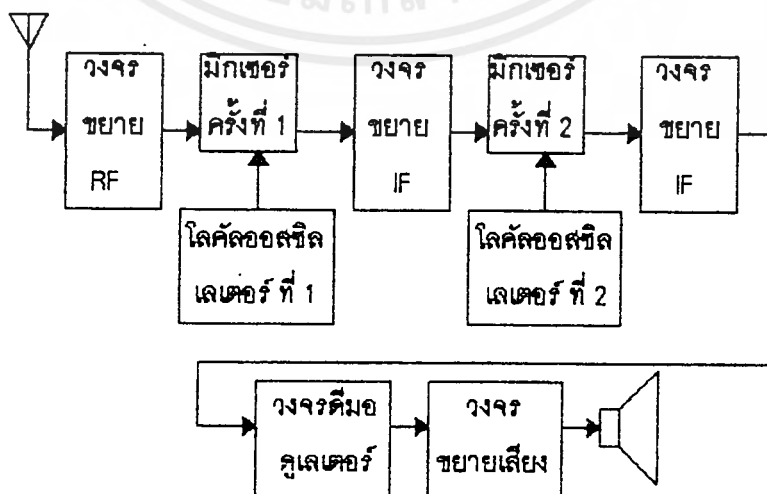
ทางใต้หลายตัวตามความต้องการ ยิ่งมีตัวชี้ทิศทางหลายตัวก็จะทำให้คุณสมบัติในการรับคลื่นในทิศทางที่
ต้องการดีขึ้น และอัตราขยายของสายอากาศก็จะเพิ่มขึ้นด้วย



รูปที่ 2.8 คุณสมบัติของตัวพาราซิติคในสายอากาศยาคี (1) ตัวสะท้อน (2) ตัวชี้ทิศทาง

2.5 ทฤษฎีวงจรเครื่องรับระบบเฟม (FM Receiver)

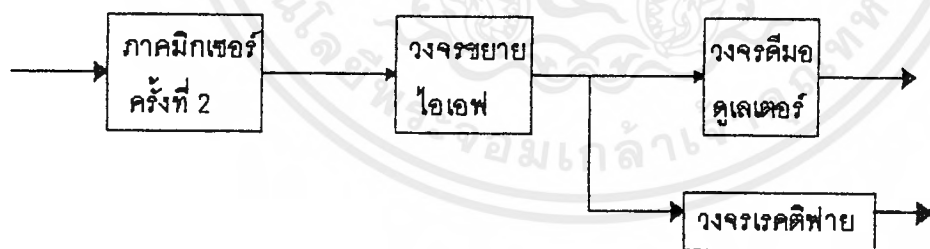
เครื่องรับที่ใช้ในโครงการนี้เป็นเครื่องรับเฟมแบบดับเบิลคอนเวอร์ชันซูเปอร์เฮเทอโรไดน์ (Double Conversion Superheterodyne) คำว่าซูเปอร์เฮเทอโรไดน์ มาจากคำว่า ซูเปอร์โซนิคเฮเทอโรไดน์ (Supersonic Heterodyne) หมายถึง ความถี่ที่ออกมาจากวงจรเฮเทอโรไดน์นั้นมีความถี่สูงกว่าที่หูคนได้ยิน (Supersonic) ส่วนคำว่า ดับเบิลคอนเวอร์ชัน คือสัญญาณที่รับเข้ามาจะมีการแปลงความถี่ลงสองครั้ง คือมีภาคมิกเซอร์ (Mixer) สองครั้ง ก่อนที่สัญญาณนั้นจะถูกตีโมดูเลท ดังรูปที่ 2.9



เอกสารนี้เป็นเอกสารรูปที่ 2.9 บล็อกไดอะแกรมแสดงการทำงานของเครื่องรับระบบเฟม ใช้ประโยชน์ด้านการค้า
ไม่ว่ากรณีใดๆ ทั้งสิ้น อีกทั้งห้ามมิให้ตัดแปลงเนื้อหาและต้องอ้างอิงถึงเจ้าของเอกสารทุกครั้งที่มีการนำไปใช้

จากบล็อกไทยะแกรมในรูปที่ 2.10 สัญญาณที่รับเข้ามาผ่านทางสายอากาศจะมีระดับต่ำมาก ๆ เป็นไมโครโวลต์ จึงต้องมีการขยายให้มีระดับสัญญาณสูงขึ้นที่ภาคขยายความถี่วิทยุ (RF Amplifier) ต่อจากนั้นสัญญาณความถี่วิทยุที่ถูกขยายแล้วจะถูกส่งไปแปลงความถี่ที่ภาคมิกเซอร์ 2 ครั้งด้วยกัน โดยที่ภาคมิกเซอร์แรกความถี่วิทยุจะถูกแปลงให้มีความถี่ของคลื่นพาหะเป็น 10.7 MHz และที่ภาคมิกเซอร์ที่สองความถี่ 10.7 MHz จะถูกแปลงให้มีความถี่ของคลื่นพาหะเป็น 455 kHz ในที่สุด การแปลงความถี่ที่ภาคมิกเซอร์นั้นจะได้ออกมาจากการผสมความถี่อินพุทของภาคมิกเซอร์กับความถี่ของโลคัลลอซซิเลเตอร์ ซึ่งที่เอาท์พุทของภาคมิกเซอร์จะได้ความถี่ออกมา 4 ค่า ได้แก่ (1) ความถี่ของสัญญาณอินพุท (2) ความถี่ของโลคัลลอซซิเลเตอร์ (3) ความถี่ที่เป็นผลรวมระหว่างความถี่ของโลคัลลอซซิเลเตอร์กับความถี่ของสัญญาณอินพุท และ (4) ความถี่ที่เป็นผลต่างระหว่างความถี่ของโลคัลลอซซิเลเตอร์กับความถี่ของสัญญาณอินพุทซึ่งเรียกว่า ความถี่ไอเอฟ (Intermediate Frequency : IF) ซึ่งเป็นความถี่ที่ต้องการ ดังนั้นจะต้องมีวงจรความถี่ไอเอฟ อยู่หลังภาคมิกเซอร์ทุกครั้งเพื่อเลือกเอาความถี่ไอเอฟเท่านั้นไปใช้ต่อ ความถี่ไอเอฟนี้จะถูกแปลงเป็นสัญญาณเสียงโดยภาคดีมอดูเลเตอร์ และถูกขยายโดยภาคขยายเสียงจนสามารถส่งออกลำโพงได้ในที่สุด

สำหรับในโครงการนี้เราต้องการตรวจวัดความแรงของสัญญาณที่รับเข้ามาซึ่งเป็นสัญญาณแบบเอฟเอ็ม ดังนั้นจะต้องวัดเอาจากความแรงของสัญญาณความถี่ไอเอฟ เพราะถ้าสัญญาณวิทยุเข้ามาแรงสัญญาณความถี่ไอเอฟก็จะแรงตาม ถ้าสัญญาณวิทยุเข้ามาเบา สัญญาณความถี่ไอเอฟก็จะเบาตามเช่นกัน แต่เนื่องจากสัญญาณความถี่ไอเอฟเป็นสัญญาณกระแสสลับ แต่ระดับความแรงที่เราจะนำไปแปลงเป็นข้อมูลดิจิทัลต้องเป็นไฟกระแสดตรง ดังนั้นจะต้องนำสัญญาณความถี่ไอเอฟจากวงจรเครื่องรับมาผ่านภาคเรกติไฟ (Rectifier) เพื่อแปลงให้เป็นระดับไฟกระแสดตรงอีกทีหนึ่ง ดังรูปที่ 2.10



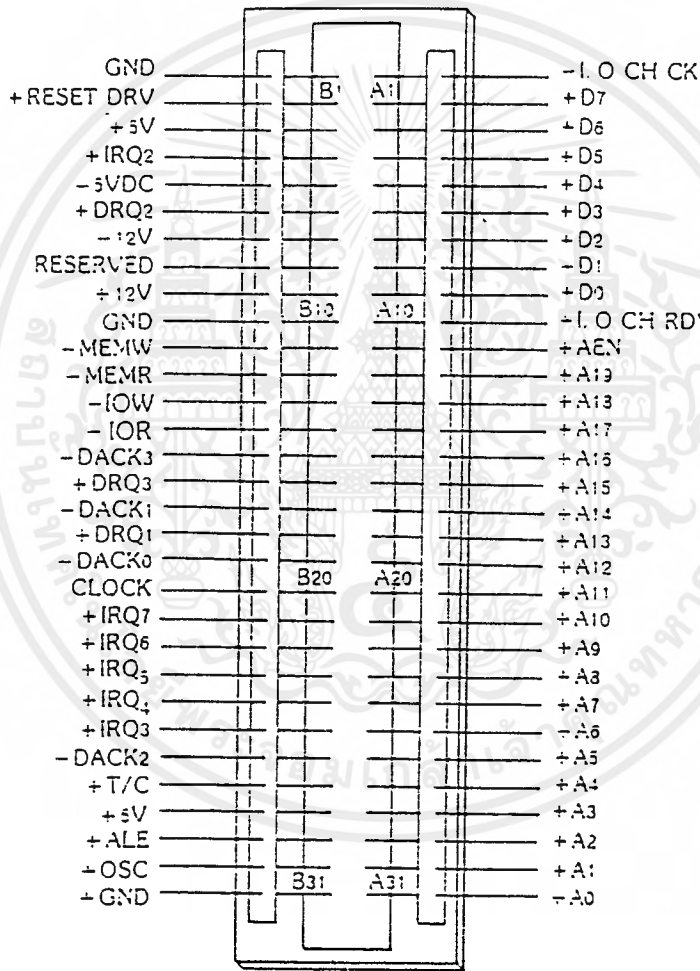
รูปที่ 2.10 แสดงส่วนแปลงระดับสัญญาณที่รับเข้ามาให้เป็นระดับไฟตรง

2.6 การอินเตอร์เฟสกับเครื่องคอมพิวเตอร์ตามมาตรฐานของไอบีเอ็ม (IBM PC Interfacing)

ในการใช้เครื่องคอมพิวเตอร์เป็นตัวส่งสัญญาณออกไปควบคุมการทำงานของวงจรภายนอกหรือรับสัญญาณจากวงจรภายนอกเข้ามาประมวลผลนั้น ตามมาตรฐานของไอบีเอ็มได้ออกแบบให้มีช่องเสียบนำสัญญาณ (Slot) จำนวน 5 ช่องสำหรับให้วงจรภายนอกได้ติดต่อส่งผ่านสัญญาณกับเครื่องคอมพิวเตอร์ได้ อย่างไรก็ตามเป็นเอกสารที่สงวนไว้สำหรับการใช้งานเพื่อการศึกษาเท่านั้น ไม่สามารถนำมาใช้เพื่อการพาณิชย์ได้ ไม่ว่ากรณีใดๆ ทั้งสิ้น อีกทั้งห้ามมิให้ดัดแปลงเนื้อหาและต้องอ้างอิงถึงเจ้าของเอกสารทุกครั้งที่มีการนำไปใช้

โดยการสร้างวงจรอินเทอร์เฟสของวงจรมานชนกันขึ้นมานบนการ์ดสำหรับเสียบเข้ากับช่องเสียบของเครื่องคอมพิวเตอร์ ดังนั้นเราจึงจำเป็นต้องทำความรู้จักกับช่องเสียบนำสัญญาณของเครื่องคอมพิวเตอร์นี้เสียก่อน

ช่องเสียบนำสัญญาณของเครื่องคอมพิวเตอร์ตามมาตรฐานของไอบีเอ็มจะมีจำนวนขาทั้งสิ้น 62 ขา แบ่งออกเป็น 2 ข้างๆละ 31 ขา ส่วนการเรียกตำแหน่งขาของช่องเสียบนำสัญญาณเหล่านี้จะขึ้นอยู่กับว่าขานั้นอยู่ข้างใด (ซ้าย หรือ ขวา) ของช่องเสียบนำสัญญาณ โดยขาที่อยู่ทางซ้ายของช่องเสียบนำสัญญาณจะเรียกโดยใช้อักษร B นำหน้าหมายเลขตำแหน่งของขา ส่วนขาที่อยู่ทางด้านขวาก็จะเรียกโดยใช้อักษร A นำหน้าหมายเลขตำแหน่งของขา ดังแสดงในรูปที่ 2.11



รูปที่ 2.11 การจัดเรียงขาบนช่องเสียบนำสัญญาณของเครื่องคอมพิวเตอร์

แต่ละขาของช่องเสียบนำสัญญาณเหล่านี้จะเชื่อมต่อกับสัญญาณต่างๆบนเมนบอร์ดทำให้การสร้างวงจรอินเทอร์เฟสกับเครื่องคอมพิวเตอร์ สามารถทำได้โดยสะดวก ซึ่งเส้นสัญญาณที่เชื่อมต่อกับขาของช่องเสียบนำสัญญาณเหล่านี้จะส่งวนไว้สำหรับการใช้งานเพื่อการศึกษานี้ เมื่อผู้ดูแลเห็นภาพประกอบนี้ในการค้าไม่ว่ากรณีใดๆ ทั้งสิ้น อีกทั้งห้ามมิให้ตัดแปลงเนื้อหาและต้องอ้างอิงถึงเจ้าของเอกสารทุกครั้งที่มีการนำไปใช้

เสียบนำสัญญาณเหล่านี้จะประกอบด้วย เส้นสัญญาณของบัสแอดเดรส (Address Bus) บัสข้อมูล (Data Bus) บัสควบคุมสำหรับการเขียน/อ่านข้อมูลจากหน่วยความจำ หรือ พอร์ต I/O เส้นสัญญาณสำหรับขออินเทอร์รัพท์ของวงจรรีเฟรชอินเตอร์เฟส เส้นสัญญาณสำหรับการขอ DMA สัญญาณฐานเวลา (Timing Signal) ต่างๆ ที่ใช้ในระบบ เส้นสัญญาณแสดงการรีเฟรชหน่วยความจำและสัญญาณสำหรับตรวจสอบความผิดพลาด (I/O CHCK)

นอกจากเส้นสัญญาณเหล่านี้แล้ว ช่องเสียบนำสัญญาณบนเมนบอร์ดยังต่อเชื่อมกับแหล่งจ่ายไฟต่างๆ ที่ใช้ในระบบอีกด้วย คือ +5 Vdc -5 Vdc +12 Vdc และ -12 Vdc

รายละเอียดเกี่ยวกับสัญญาณต่างๆ

OSC (Oscillator ; B30)

ขานี้เป็นเอาต์พุตที่เชื่อมต่อกับสัญญาณนาฬิกาที่มีค่าความถี่สูงสุดบนเมนบอร์ด คือ 14.31818 MHz ซึ่งมีคาบเวลาประมาณ 70 ns และมี Duty Cycle (ช่วงเวลาใน 1 คาบที่สัญญาณคล็อกมีลอจิกเป็น ' 1 ' หารด้วยคาบเวลาทั้งหมด) ประมาณ 50% สัญญาณนาฬิกาอื่นๆ ของระบบ เช่น สัญญาณนาฬิกาที่ป้อนให้ 8088 หรือชิพพอร์ตต่างๆ นั้นจะถูกสร้างขึ้นโดยการหารสัญญาณนาฬิกาขานี้

CLK (Clock ; B20)

ขานี้เป็นสัญญาณเอาต์พุตซึ่งต่อกับสัญญาณนาฬิกาที่ถูกสร้างขึ้นโดยการหารสัญญาณ OSC ด้วย 3 ทำให้ได้ความถี่ประมาณ 4.77 MHz หรือมีช่วงเวลาใน 1 คาบเท่ากับ 210 ns สำหรับค่า Duty Cycle ของสัญญาณนี้จะมีค่าประมาณ 1/3 กล่าวคือใน 1 คาบจะมีช่วงเวลาที่เป็นลอจิก ' 0 ' เท่ากับ 2/3 ของคาบเวลาทั้งหมด (ประมาณ 140 ns)

RESET DRV (B2)

ขาสัญญาณนี้เป็นเอาต์พุต ซึ่งจะแอกทีฟ (เป็นลอจิก ' 1 ') ในช่วงที่เราเริ่มจ่ายไฟให้กับระบบและจะยังคงแอกทีฟไปจนกว่าระบบต่างๆ ภายใน เครื่องคอมพิวเตอร์จะพร้อมที่จะทำงานได้ จากนั้นสัญญาณก็จะเปลี่ยนกลับไปเป็นลอจิก ' 0 ' นอกจากนี้ในระหว่างการทำงานของ เครื่องคอมพิวเตอร์ถ้าระดับแรงดันของแหล่งจ่ายไฟตกลง สัญญาณนี้ก็จะถูกทำให้แอกทีฟเช่นกัน

A0-A19 (Address Bus ; A31-A12)

ขาสัญญาณทั้ง 20 ขานี้เป็นเอาต์พุต ซึ่งใช้สำหรับกำหนดแอดเดรสของหน่วยความจำหรืออุปกรณ์ I/O ที่ 8088 ต้องการติดต่อด้วย โดยที่สัญญาณ A0 จะมีนัยสำคัญต่ำสุด (Least Significant Bit ; LSB) และ A19 จะมีนัยสำคัญสูงสุด (Most Significant Bit ; MSB) สำหรับค่าแอดเดรสบนบัสแอดเดรส A0 - A19 นี้จะถูกกำหนดโดย 8088 ในระหว่างกระบวนการอ่าน/เขียนข้อมูลลงบนหน่วยความจำหรืออุปกรณ์ I/O แต่ในช่วงของกระบวนการ DMA นั้น DMA Controller จะเป็นผู้กำหนดค่าแอดเดรสบนบัสแอดเดรสเอง

สำหรับการอ้างแอดเดรสของพอร์ต I/O นั้น จะใช้เส้นแอดเดรสเพียง 16 เส้น คือ A0 - A15 ซึ่งจะทำให้อ้างแอดเดรสของพอร์ตได้ 64K พอร์ต โดยผ่านทางชุดคำสั่ง IN และ OUT อย่างไรก็ตามภายในเครื่องคอมพิวเตอร์ นั้นจะใช้เส้นแอดเดรสของพอร์ตเพียง 10 เส้น คือจาก A0 - A9 และค่าแอดเดรสที่ใช้งานจะต้องอยู่ในช่วง บิน 0200H - 03FFH เท่านั้น ไม่อนุญาตให้นำไปใช้ประโยชน์ด้านการค้า ไม่ว่าจะกรณีใดๆ ทั้งสิ้น อีกทั้งห้ามมิให้ตัดแปลงเนื้อหาและต้องอ้างอิงถึงเจ้าของเอกสารทุกครั้งที่มีการนำไปใช้

D0-D7 (Data Bus ; A9-A2)

ขาสัญญาณนี้เป็นแบบสองทิศทาง (Bi-directional) ซึ่งต่อกับบัสข้อมูลของระบบ เพื่อทำหน้าที่ในการส่งผ่านข้อมูลระหว่างพอร์ท I/O กับเครื่องคอมพิวเตอร์ โดยที่บิต D0 จะมีนัยสำคัญต่ำสุดและบิต D7 มีนัยสำคัญสูงสุด

สำหรับในบัสไซเคิลของการเขียนข้อมูลที่สร้างขึ้นโดย 8088 นั้นข้อมูลจะถูกส่งออกมาบนบัสข้อมูลก่อนที่สัญญาณ IOW (ในกรณีที่ต้องการส่งข้อมูลให้กับพอร์ท) หรือ MEMW (ในกรณีที่ต้องการส่งข้อมูลให้กับหน่วยความจำ) จะเปลี่ยนจากลอจิก '0' ไปเป็นลอจิก '1' (ขอบขาขึ้นของสัญญาณนาฬิกา) ซึ่งโดยทั่วไปขอบขาขึ้นของสัญญาณ IOW หรือ MEMW นี้จะถูกใช้เพื่อส่งให้พอร์ท I/O หรือหน่วยความจำที่มีแอดเดรสตรงกับค่าแอดเดรสบนบัสแอดเดรสนั้น รับข้อมูลไปเก็บไว้

สำหรับในบัสไซเคิลของการอ่านข้อมูลที่สร้างขึ้นโดย 8088 นั้น พอร์ท I/O หรือหน่วยความจำที่ถูกอ้างถึงจะต้องส่งข้อมูลออกมาบนบัสข้อมูล ก่อนที่สัญญาณ IOR (ในกรณีที่ต้องการอ่านข้อมูลจากพอร์ท) หรือ MEMR (ในกรณีที่ต้องการอ่านข้อมูลจากหน่วยความจำ) จะเปลี่ยนจากลอจิก '0' ไปเป็นลอจิก '1' (ขอบขาขึ้นของสัญญาณนาฬิกา)

ALE (Address Latch Enable ; B29)

ขาสัญญาณนี้เป็นสัญญาณเอาท์พุทที่ 8288 Bus Controller สร้างขึ้นเพื่อใช้สำหรับแสดงการเริ่มต้นของบัสไซเคิล และแสดงให้อุปกรณ์ภายนอกทราบว่าแอดเดรสที่ 8088 ต้องการจะติดต่อด้วยนั้นถูกส่งออกมาบนบัสแอดเดรสแล้ว โดยที่สัญญาณ ALE นี้จะเปลี่ยนจากลอจิก '1' เป็นลอจิก '0' เมื่อค่าแอดเดรสที่ต้องการถูกส่งออกมาบนบัสข้อมูลเรียบร้อยแล้ว ดังนั้นขอบขาลงของสัญญาณ ALE นี้จะถูกใช้ในการแลทช์ค่าแอดเดรสจากบัสแอดเดรส / ข้อมูล (Address/Data Bus ; AD0-AD7) ของ 8088 ทำให้สามารถแยกค่าแอดเดรส (A0-A19) และข้อมูล (D0-D7) ออกจากกันได้ อย่างไรก็ตามสัญญาณ ALE จะแอกทีฟเฉพาะบัสไซเคิลที่สร้างขึ้นโดย 8088 เท่านั้น โดยจะไม่แอกทีฟในระหว่างกระบวนการ DMA

I/O CHCK (I/O Channel Check ; A1)

ขาสัญญาณนี้เป็นอินพุทที่ใช้ในการแสดงความผิดพลาดเกี่ยวกับพาริตี ที่เกิดขึ้นในการทำงานของวงจรรีจิสเตอร์เฟสหรืออุปกรณ์ I/O เมื่อขาสัญญาณนี้ได้รับลอจิก '0' จะทำให้ 8088 ถูกอินเตอร์รัพท์แบบ Non-Maskable (NMI) อย่างไรก็ตามเราสามารถที่จะกำหนดให้วงจรรายในของเครื่องคอมพิวเตอร์ ทำการขออินเตอร์รัพท์(เมื่อได้รับสัญญาณ I/O CHCK) หรือไม่ก็ได้ โดยการกำหนดลอจิกของบิตข้อมูลของพอร์ทที่ควบคุมการขออินเตอร์รัพท์แบบ NMI คือบิต D7 ของพอร์ท 00A0H ในกรณีที่บิต D7 ของพอร์ท 00A0H ถูกเซตเป็น '1' ก็จะทำให้วงจรรายนอกขออินเตอร์รัพท์แบบ NMI ได้ (Enable) แต่ถ้าบิต D7 ของพอร์ท 00A0H ถูกเซตเป็น '0' ก็จะเป็นการยกเลิก (Disable) การขออินเตอร์รัพท์แบบ NMI ดังนี้

Enable : ใช้คำสั่ง OUT ส่งข้อมูล 80H ไปยังพอร์ท 00A0H

Disable : ใช้คำสั่ง OUT ส่งข้อมูล 00H ไปยังพอร์ท 00A0H

และเนื่องจากยังมีอุปกรณ์อื่นที่สามารถขออินเตอร์รัพท์แบบ NMI ได้อีก ดังนั้นซอฟต์แวร์ที่ใช้งานจะต้องสามารถตรวจสอบได้ว่าการขออินเตอร์รัพท์นั้นเกิดขึ้นจากแหล่งใดได้ด้วย

เอกสารนี้เป็นเอกสารที่สงวนไว้สำหรับการใช้งานเพื่อการศึกษาเท่านั้น ไม่อนุญาตให้นำไปใช้ประโยชน์ด้านการค้าไม่ว่ากรณีใดๆ ทั้งสิ้น อีกทั้งห้ามมิให้ดัดแปลงเนื้อหาและต้องอ้างอิงถึงเจ้าของเอกสารทุกครั้งที่มีการนำไปใช้

I/O CHRDY (I/O Channel Ready ; A10)

ขานี้เป็นอินพุทที่ใช้เพิ่มเวลาในบัสไซเคิลในกรณีที่ถูกปรณ I/O หรือหน่วยความจำที่เกี่ยวข้องกับกระบวนการในบัสไซเคิลที่เกิดขึ้นนั้นไม่สามารถทำงานทันตามช่วงเวลาปกติของบัสไซเคิลนั้นๆได้ (ช่วงเวลาของบัสไซเคิลที่เกี่ยวกับหน่วยความจำใช้ช่วงเวลาเท่ากับช่วงเวลาของสัญญาณนาฬิกา 4 ลูกหรือ 840 ns ในขณะที่บัสไซเคิลที่เกี่ยวกับ I/O จะใช้ช่วงเวลาเท่ากับสัญญาณนาฬิกา 5 ลูก หรือ 1050 ns)

IRQ2-IRQ7 (Interrupt Request 2 Through 7 ; B4 และ B25-B21)

ขาสัญญาณทั้ง 6 นี้เป็นขาอินพุทใช้สำหรับการขออินเตอร์รัพท์จาก 8088 โดยสัญญาณเหล่านี้จะต่อเข้ากับ 8259A บนเมนบอร์ดโดยตรง โปรแกรมในส่วนของ BIOS ของ เครื่องคอมพิวเตอร์ จะทำการโปรแกรม 8259A ให้ IRQ2 มีลำดับความสำคัญสูงสุด (Highest Priority) และ IRQ7 มีลำดับความสำคัญต่ำสุด (Lowest Priority) ในกรณีที่มีการขออินเตอร์รัพท์เกิดขึ้น คือระดับลอจิกที่ขา IRQ ขาดขาหนึ่ง ถูกเปลี่ยนจากลอจิก ' 0 ' ไปเป็นลอจิก ' 1 ' (ขอบขาขึ้นของสัญญาณ) 8259A ก็ทำการส่งสัญญาณ INT ให้กับ 8088 เพื่อขออินเตอร์รัพท์

IOR (I/O Read ; B14)

ขาสัญญาณนี้เป็นเอาต์พุทแอกทีฟที่ลอจิก ' 0 ' ที่สร้างขึ้นโดย 8288 Bus Controller เพื่อใช้ในการแสดงว่าบัสไซเคิลที่เกิดขึ้นนี้เป็นบัสไซเคิลของการอ่านข้อมูลจากพอร์ท I/O เพื่อให้พอร์ท I/O ที่มีแอดเดรสตรงกับแอดเดรสบนบัสแอดเดรสส่งข้อมูลออกมาบนบัสข้อมูล โดยข้อมูลจะต้องถูกส่งออกมาบนบัสข้อมูลก่อนขอบขาขึ้นของสัญญาณ IOR ประมาณ 30 ns เพื่อให้มั่นใจได้ว่า 8088 สามารถรับข้อมูลได้ถูกต้อง

IOW (I/O Write ; B13)

ขาสัญญาณนี้เป็นเอาต์พุทแอกทีฟที่ลอจิก ' 0 ' ซึ่งถูกสร้างขึ้นโดย 8288 Bus Controller เพื่อใช้แสดงว่าบัสไซเคิลที่เกิดขึ้นนี้เป็นบัสไซเคิลของการเขียนข้อมูลลงบนพอร์ท I/O เพื่อให้พอร์ท I/O ที่มีแอดเดรสตรงกับแอดเดรสบนบัสแอดเดรสนั้นรับข้อมูลที่อยู่บนบัสข้อมูลไปเก็บไว้

MEMW (Memory Write ; B11)

ขานี้เป็นเอาต์พุทแอกทีฟที่ลอจิก ' 0 ' ซึ่ง 8288 Bus Controller สร้างขึ้นในระหว่างบัสไซเคิลในการเขียนข้อมูลลงหน่วยความจำของ 8088 สัญญาณ MEMW นี้จะถูกส่งออกมาเพื่อให้หน่วยความจำที่แอดเดรสตรงกับค่าแอดเดรสบนบัสแอดเดรสนั้น ทำการรับข้อมูลที่อยู่บนบัสข้อมูลไปเก็บไว้ โดยทั่วไปหน่วยความจำจะรับข้อมูลในช่วงขอบขาขึ้นของสัญญาณ MEMW

MEMR (Memory Read ; B12)

ขานี้เป็นเอาต์พุทจาก 8288 ซึ่งสัญญาณนี้จะแอกทีฟ (ลอจิก ' 0 ') ในระหว่างบัสไซเคิลของการอ่านข้อมูลจากหน่วยความจำของ 8088 เพื่อให้หน่วยความจำที่มีแอดเดรสตรงกับค่าแอดเดรสบนบัสแอดเดรสนั้นทำการส่งข้อมูลออกมาบนบัสข้อมูล โดยหน่วยความจำนั้นจะต้องส่งข้อมูลออกมาในช่วงเวลา 30 ns ก่อนที่สัญญาณ MEMW จะกลับเป็นลอจิก ' 1 ' ทั้งนี้ก็เพื่อให้ 8088 ได้รับข้อมูลที่ถูกต้อง

DRQ1-DRQ3 (DMA Request 1-3 ; B18,B6 และ B16)

ขาสัญญาณทั้งสามนี้เป็นสัญญาณอินพุตแอกทีฟที่ลอจิก ' 1 ' ซึ่งอุปกรณ์ภายนอกสามารถใช้ในการขอ DMA จากระบบ โดยการป้อนระดับสัญญาณลอจิก ' 1 ' ให้กับขา DRQ ขาใดขาหนึ่ง (ขา DRQ ทั้งสามนี้จะต่อเข้ากับ DRQ1-DRQ3 ของ 8237A-5)

DACK0-DACK3 (DMA Acknowledge 0-3 ; B19,B17,B26 และ B15)

สัญญาณทั้ง 4 นี้เป็นเอาต์พุตแอกทีฟที่ลอจิก ' 0 ' ซึ่ง 8237A-5 สร้างขึ้นเพื่อแสดงให้วงจรมานอกที่ขอ DMA ทราบว่าการขอ DMA นั้นได้รับการตอบสนองแล้ว และ 8237A-5 จะเข้าสู่กระบวนการ DMA เพื่อให้การส่งผ่านข้อมูลระหว่างอุปกรณ์ I/O ที่ขอ DMA กับหน่วยความจำเกิดขึ้นได้โดยตรง (คือไม่ต้องผ่าน 8088) โดยสัญญาณ DACK นี้จะแอกทีฟในแชนเนลใดก็ขึ้นอยู่กับว่ากระบวนการ DMA ที่เกิดขึ้นนั้นเป็นการตอบสนองการ DMA ในแชนเนลใด

AEN (Address Enable ; A11)

สัญญาณนี้เป็นเอาต์พุตที่ใช้ในการแสดงว่าบัสไซเคิลที่เกิดขึ้นในช่วงเวลาที่สัญญาณ AEN แอกทีฟ (ลอจิก ' 1 ') นั้น เป็นบัสไซเคิลของกระบวนการ DMA

สำหรับบนเมนบอร์ดของเครื่องคอมพิวเตอร์ จะใช้สัญญาณนี้ในการยกเลิก (Disable) 8288 Bus Controller และจะใช้ยกเลิกพอร์ท I/O ต่างๆที่ไม่เกี่ยวข้องกับกระบวนการ DMA ที่จำเป็นต้องทำเช่นนี้ก็เพราะในระหว่างกระบวนการ DMA นั้น 8237A-5 จะส่งค่าแอดเดรสของหน่วยความจำออกมาบนบัสแอดเดรส และจะทำให้สัญญาณ IOR หรือ IOW แอกทีฟด้วย ดังนั้นถ้าไม่ทำการยกเลิกพอร์ท I/O ที่ไม่เกี่ยวข้องไว้ ก็อาจจะทำให้พอร์ท I/O ที่มีแอดเดรสตรงกับค่าแอดเดรสบนบัสแอดเดรสนั้น ทำการอ่านหรือส่งข้อมูลออกมาบนบัสข้อมูล ทำให้เกิดความผิดพลาดได้

T/C (Terminal Count ; B27)

สัญญาณถูกสร้างขึ้นจากการนำเอาสัญญาณเอาต์พุตที่ขา EOP ของ 8237A-5 มากลับลอจิก (โดยใช้เกท Inverter) ทำให้สัญญาณ T/C นี้แอกทีฟที่ลอจิก ' 1 '

บัสของแหล่งจ่ายไฟของระบบ

+5 Vdc (B3 และ B28)

ขาทั้งสองนี้ต่อกับแหล่งจ่ายไฟ DC +5V ของระบบ โดยจะมีค่าความผิดพลาด (Regulated) ไม่เกิน 5% คือจะอยู่ในช่วง +4.75 ถึง +5.25 Vdc

+12 Vdc (B9)

ขานี้จะต่อกับแหล่งจ่ายไฟ DC +12V ของระบบ โดยจะมีค่าความผิดพลาด (Regulated) ไม่เกิน 5% คือจะอยู่ในช่วง +11.4 ถึง +12.6 Vdc

-5 Vdc (B5)

ขานี้จะต่อกับแหล่งจ่ายไฟ DC -5V ของระบบ โดยจะมีค่าความผิดพลาด (Regulated) ไม่เกิน 10% คือจะอยู่ในช่วง -5.5 ถึง -4.5 Vdc

เอกสารนี้เป็นเอกสารที่สงวนไว้สำหรับการใช้งานเพื่อการศึกษาเท่านั้น ไม่อนุญาตให้นำไปใช้ประโยชน์ด้านการค้า ไม่ว่าจะกรณีใดๆ ทั้งสิ้น อีกทั้งห้ามมิให้ดัดแปลงเนื้อหาและต้องอ้างอิงถึงเจ้าของเอกสารทุกครั้งที่มีการนำไปใช้

-12 Vdc (B7)

ขานี้จะต่อกับแหล่งจ่ายไฟ DC -12V ของระบบ โดยจะมีค่าความผิดพลาด (Regulated) ไม่เกิน 10%
คือจะอยู่ในช่วง -13.2 ถึง -10.8 Vdc

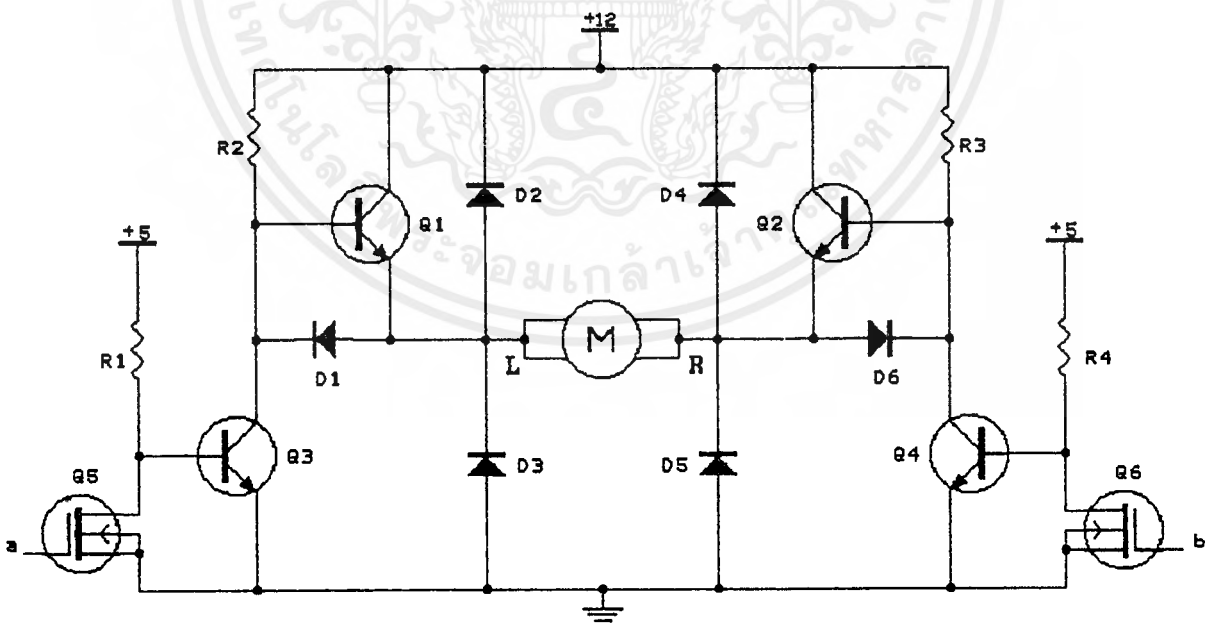
GND (B1,B10 และ B31)

ขาทั้งสามนี้จะต่อเข้ากับกราวด์ (Ground) ของระบบ

2.7 หลักการทำงานของส่วนขับเคลื่อนสายอากาศ

ในโครงงานนี้สายอากาศจะต้องหมุนไปรอบๆตัวเพื่อรับคลื่นจากทุกทิศทาง ดังนั้นจะต้องใช้มอเตอร์มาช่วยในการหมุนสายอากาศ สำหรับในโครงงานนี้เราเลือกใช้มอเตอร์กระแสตรงในการขับเคลื่อนสายอากาศให้หมุน เนื่องจากสายอากาศที่ใช้มีขนาดใหญ่และมีน้ำหนักพอสมควร ดังนั้นมอเตอร์ที่จะนำมาขับเคลื่อนสายอากาศให้หมุนจะต้องมีแรงบิด (Torque) สูง ซึ่งสเปคปั้งมอเตอร์ที่มีแรงบิดสูงนั้นหายากและมีราคาแพงมาก แต่มอเตอร์กระแสตรงอาจจะมีปัญหาในเรื่องของแรงเฉื่อยของการหมุนขณะหยุดซึ่งจะทำให้แกนหมุนบิดไปอีกเล็กน้อยขณะหยุด ดังนั้นเราจะต้องเลือกใช้มอเตอร์กระแสตรงที่แรงบิดสูงมากๆ เพื่อขจัดปัญหาแรงเฉื่อยขณะหยุดออกไป

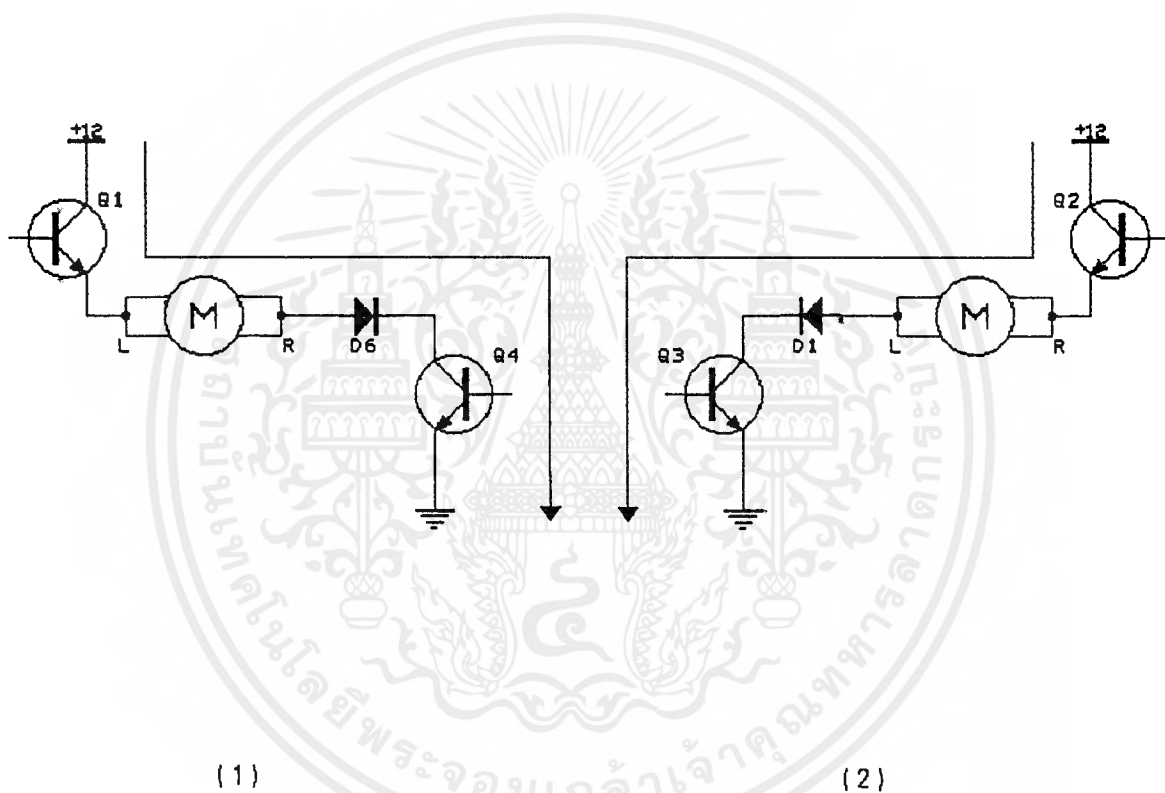
วงจรที่ใช้ขับเคลื่อนมอเตอร์กระแสตรงในโครงงานนี้เป็นวงจรแบบ H-bridge เนื่องจากมีการตอบสนองในการสวิตซ์ได้รวดเร็วกว่าใช้รีเลย์มาก และสามารถขับเคลื่อนมอเตอร์ได้สองทิศทาง ลักษณะของวงจร H-bridge จะประกอบด้วยทรานซิสเตอร์ 4 ตัวต่อกันอยู่ในลักษณะวงจรบริดจ์ และมีอุปกรณ์อื่นๆต่อรวมด้วยดังรูปที่ 2.12



รูปที่ 2.12 วงจรขับเคลื่อนมอเตอร์กระแสตรง แบบ H-bridge

ทรานซิสเตอร์แต่ละตัวทำงานในโหมดสวิตซ์ ซึ่งมีสองสถานะได้แก่ คัทออฟ กับ อิมิตัว วงจรนี้สามารถหมุนมอเตอร์ได้สองทิศทาง ซึ่งมอสเฟต Q5 และ Q6 จะทำหน้าที่ในการเลือกทิศทางการหมุนโดยเมื่อไม่วางกรณีใดๆ ทั้งสิ้น อีกทั้งห้ามมิให้ตัดแปลงเนื้อหาและต้องอ้างอิงถึงเจ้าของเอกสารทุกครั้งที่มีการนำไปใช้

ตัวหนึ่งนำกระแสอีกตัวจะต้องไม่นำกระแส จากรูปเมื่อมอสเฟต Q5 ถูกทำให้นำกระแส กระแสที่ไหลผ่าน R1 จะไหลผ่าน Q5 ลงกราวนด์ไปเลย จึงไม่มีกระแสไปไบอัสขาเบสของทรานซิสเตอร์ Q3 ดังนั้นทรานซิสเตอร์ Q3 จะไม่นำกระแส กระแสที่ไหลผ่าน R2 จึงไหลเข้าไปไบอัสขาเบสของทรานซิสเตอร์ Q1 ทำให้ทรานซิสเตอร์ Q1 นำกระแส ในขณะที่เดียวกันมอสเฟต Q6 จะต้องไม่นำกระแสซึ่งจะทำให้กระแสที่ไหลผ่าน R4 ไหลเข้าไปไบอัสขาเบสของทรานซิสเตอร์ Q4 ทำให้ทรานซิสเตอร์ Q4 นำกระแส ดังนั้นกระแสที่ไหลผ่าน R3 จะไหลผ่าน Q4 ลงกราวนด์ทำให้ไม่มีกระแสไหลเข้าไปไบอัสขาเบสของทรานซิสเตอร์ Q2 ดังนั้นทรานซิสเตอร์ Q2 จะไม่นำกระแส ในกรณีนี้จะมีทิศทางการไหลของกระแสจากขั้ว L ไปยังขั้ว R ของมอเตอร์ดังรูปที่ 2.13-(1) และเมื่อต้องการให้มอเตอร์หมุนในทิศตรงข้ามก็ต้องทำให้มอสเฟต Q6 นำกระแสและมอสเฟต Q5 ไม่นำกระแส ทิศทางการไหลของกระแสก็จะเป็นดังรูปที่ 2.13-(2)


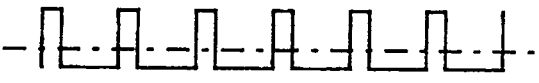


รูปที่ 2.13 ทิศทางการไหลของกระแสในวงจรขับมอเตอร์

(1) ไหลจากขั้ว L ไปขั้ว R (2) ไหลจากขั้ว R ไปขั้ว L

สำหรับกระแสที่ขับมอเตอร์นั้นเราป้อนเป็นแบบพัลส์วิดท์ (pulse width) เพื่อให้สามารถปรับความเร็วในการหมุนของสายอากาศให้ได้ตามความเหมาะสมที่สุด และการจ่ายกระแสเป็นแบบพัลส์วิดท์นี้ยังช่วยทำให้ทรานซิสเตอร์ในวงจรบริดจ์ไม่พังเร็วอีกด้วย ถ้าเราต้องการให้มอเตอร์หมุนเร็วก็จ่ายกระแสเป็นพัลส์ที่กว้างหรือมีดีวตีไซเคิล (duty cycle) มาก ถ้าต้องการให้มอเตอร์หมุนช้าลงก็จ่ายกระแสเป็นพัลส์ที่แคบลง หรือมีดีวตีไซเคิลน้อยดังรูปที่ 2.14

เอกสารนี้เป็นเอกสารที่สงวนไว้สำหรับการใช้งานเพื่อการศึกษาเท่านั้น ไม่อนุญาตให้นำไปใช้ประโยชน์ด้านการค้าไม่ว่ากรณีใดๆ ทั้งสิ้น อีกทั้งห้ามมิให้ดัดแปลงเนื้อหาและต้องอ้างอิงถึงเจ้าของเอกสารทุกครั้งที่มีการนำไปใช้

- (1)  ระดับกระแสเดียว
- (2)  ระดับกระแสเดียว

รูปที่ 2.14 ลักษณะของกระแสที่จ่ายให้แก่มอเตอร์ (1) พัลส์กว้าง (2) พัลส์แคบ



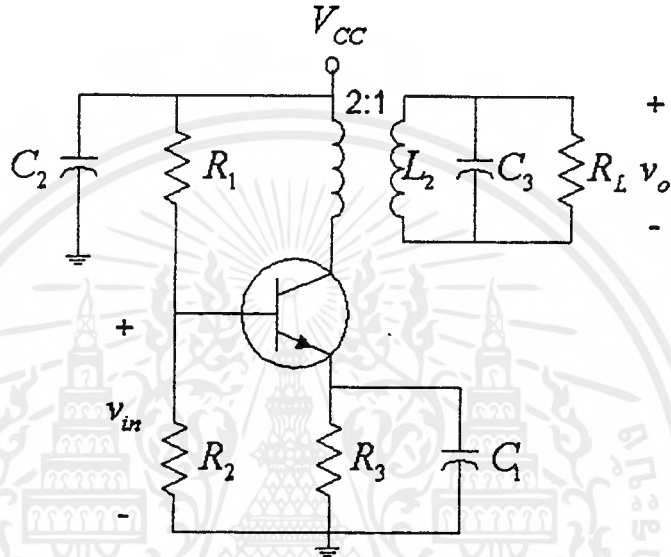
เอกสารนี้เป็นเอกสารที่สงวนไว้สำหรับการใช้งานเพื่อการศึกษาเท่านั้น ไม่อนุญาตให้นำไปใช้ประโยชน์ด้านการค้า
ไม่ว่ากรณีใดๆ ทั้งสิ้น อีกทั้งห้ามมิให้ดัดแปลงเนื้อหาและต้องอ้างอิงถึงเจ้าของเอกสารทุกครั้งที่มีการนำไปใช้

บทที่ 3

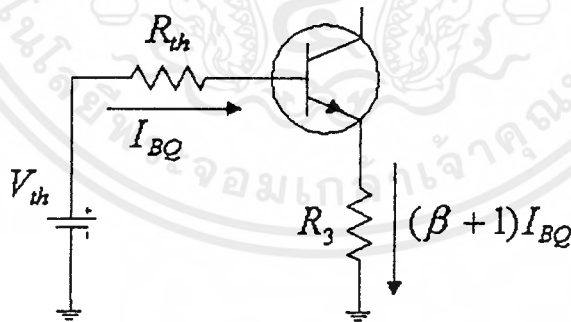
การสร้างและการคำนวณ

3.1 วงจรภาครับ

วงจรส่วนแรกสุดคือภาคขยายความถี่วิทยุหรือฟรอนท์เอนด์ใช้ทรานซิสเตอร์ความถี่สูงเบอร์ 2SC3358 จัดวงจรไบแอสทำงานในคลาสเอ ค่า R_1, R_2, R_3 เป็นตัวกำหนดจุดไบแอสในการทำงานของวงจขยาย วงจรฟรอนเอนด์แสดงดังรูปที่ 3.1



รูปที่ 3.1 วงจรฟรอนท์เอนด์



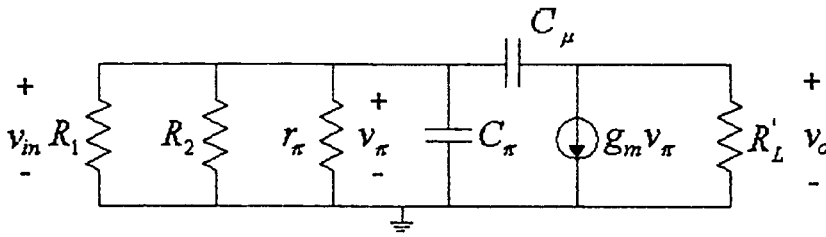
รูปที่ 3.2 วงจรเสมือนของวงจรฟรอนท์เอนด์เมื่อวิเคราะห์แบบไฟตรง

วิเคราะห์วงจรฟรอนท์เอนด์แบบไฟตรงจากรูปที่ 3.2 ได้ดังนี้

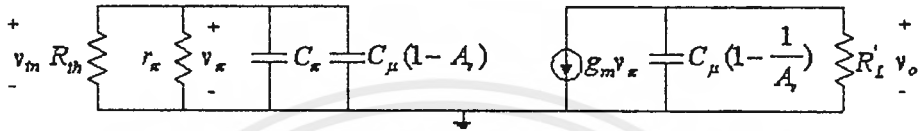
$$V_{th} = I_{BQ}R_{th} + V_{BE} + (\beta + 1)I_{BQ}R_3$$

$$\therefore I_{BQ} = \frac{V_{th} - V_{BE}}{R_{th} + (\beta + 1)R_3} \tag{3.1}$$

เอกสารนี้เป็นเอกสารที่สงวนไว้สำหรับการใช้งานเพื่อการศึกษาเท่านั้น ไม่อนุญาตให้นำไปใช้ประโยชน์ด้านการค้า โดยที่ $V_{th} = \frac{R_2 V_{CC}}{R_1 + R_2}$ และ $R_{th} = \frac{R_1 R_2}{R_1 + R_2}$ ไม่วากรณีใดๆ ทั้งสิ้น อีกทั้งห้ามเผยแพร่เปลี่ยนแปลงเนื้อหาและต้องอ้างอิงถึงเอกสารทุกครั้งที่มีการนำไปใช้



รูปที่ 3.3 วงจรเสมือนของวงจรฟรอนท์เอนด์เมื่อวิเคราะห์แบบโพลล์



รูปที่ 3.4 วงจรเสมือนของวงจรรูปที่ 3.3 เมื่อใช้ทฤษฎีของมิลเลอร์

เมื่อวิเคราะห์วงจรฟรอนท์เอนด์แบบโพลล์จะได้ดังรูปที่ 3.3 และเมื่อใช้ทฤษฎีของมิลเลอร์ช่วยจะได้ดังรูปที่ 3.4 สามารถหาค่าอัตราขยายแรงดัน (A_v) และความถี่คัทออฟ (f_c) ได้ดังนี้

$$A_v = \frac{v_o}{v_{in}} = \frac{-g_m v_\pi}{\left[\frac{1}{R_L} + sC_\mu \left(1 - \frac{1}{A_v}\right) \right] v_{in}} \tag{3.2}$$

โดยที่ $v_{in} = v_\pi$ และ $\frac{1}{R_L} \gg sC_\mu \left(1 - \frac{1}{A_v}\right)$

$$\therefore A_v = -g_m R_L' \tag{3.3}$$

$$f_c = \frac{1}{2\pi R_{in} C_{in}} \tag{3.4}$$

โดยที่ $R_{in} = R_{th} // r_\pi = \frac{R_{th} r_\pi}{R_{th} + r_\pi}$

และ $C_{in} = C_\pi + C_\mu (1 - A_v) = \left(\frac{g_m}{2\pi f_T} - C_\mu \right) + C_\mu (1 - A_v) = \frac{g_m}{2\pi f_T} - C_\mu A_v$

ถ้ากำหนดให้อัตราขยายแรงดันเท่ากับ 100 และความถี่คัทออฟเท่ากับ 150 MHz จะสามารถหาค่าของ $R1, R2, R3$ ได้ดังนี้

เอกสารนี้เป็นไว้สำหรับการใช้งานเพื่อการศึกษาเท่านั้น ไม่อนุญาตให้นำไปใช้ประโยชน์ด้านการค้าไม่ว่ากรณีใดๆ ทั้งสิ้น อีกทั้งห้ามมิให้ตัดแปลงเนื้อหาและต้องอ้างอิงถึงเจ้าของเอกสารทุกครั้งที่มีการนำไปใช้

$$A_v = -100$$

$$R'_L = a^2 R_L = 2^2 \times 690 = 2760 \Omega$$

โดยที่ a คือ turn ratio ของขดลวด และ R_L คือ Z_{in} ของไอซีเบอร์ MC3362

$$g_m = -\frac{A_v}{R'_L} = \frac{100}{2760} = 0.036$$

$$f_c = 150 \text{ MHz} = \frac{1}{2\pi R_{in} C_{in}}$$

จะได้ $R_{in} C_{in} = 10^{-9}$

$$g_m = \frac{I_{CQ}}{V_T} = \frac{\beta I_{BQ}}{V_T} \quad (3.5)$$

$$\text{จะได้ } I_{BQ} = \frac{g_m V_T}{\beta} = \frac{0.036 \times 26 \times 10^{-3}}{100} = 9.36 \times 10^{-6} \text{ A} = 9.36 \mu\text{A}$$

$$I_{CQ} = \beta I_{BQ} = 100 \times 9.36 = 936 \mu\text{A}$$

$$V_{CQ} = V_{CC} - I_{CQ} R_3 \quad (3.6)$$

$$\therefore R_3 = \frac{V_{CC} - V_{CQ}}{I_{CQ}} = \frac{5 - 2.5}{936 \times 10^{-6}} = 2670 \Omega$$

$$C_{in} = \frac{g_m}{2\pi f_T} - C_\mu A_v = \frac{0.036}{2\pi \times 7000 \times 10^6} - (0.1 \times 10^{-12})(-100) = 10.8 \text{ pF}$$

$$R_{in} = \frac{10^{-9}}{C_{in}} = \frac{10^{-9}}{10.8 \times 10^{-12}} = 92.6 \Omega$$

$$r_\pi = \frac{V_T}{I_{BQ}} = \frac{26 \times 10^{-3}}{9.36 \times 10^{-6}} = 2800 \Omega$$

$$R_{in} = \frac{r_\pi R_{in}}{r_\pi - R_{in}} = \frac{2800 \times 92.6}{2800 - 92.6} = 95.8 \Omega$$

เอกสารนี้เป็นเอกสารที่สงวนไว้สำหรับการใช้งานเพื่อการศึกษาเท่านั้น ไม่นอนุญาตให้นำไปใช้ประโยชน์ด้านการค้า
ไม่ว่ากรณีใดๆ ทั้งสิ้น อีกทั้งห้ามมิให้ตัดแปลงเนื้อหาและต้องอ้างอิงถึงเจ้าของเอกสารทุกครั้งที่มีการนำไปใช้

จากสมการ (3.1)
$$I_{BQ} = \frac{V_{th} - V_{BE}}{R_{th} + (\beta + 1)R_3}$$

$$I_{BQ}[R_{th} + (\beta + 1)R_3] + V_{BE} = \frac{R_2 V_{CC}}{R_1 + R_2}$$

$$R_1 \{ I_{BQ}[R_{th} + (\beta + 1)R_3] + V_{BE} \} + R_2 \{ I_{BQ}[R_{th} + (\beta + 1)R_3] + V_{BE} \} = R_2 V_{CC}$$

$$\therefore R_1 = \frac{R_2 \{ V_{CC} - I_{BQ}[R_{th} + (\beta + 1)R_3] + V_{BE} \}}{I_{BQ}[R_{th} + (\beta + 1)R_3] + V_{BE}} \quad (3.7)$$

$$I_{BQ}[R_{th} + (\beta + 1)R_3] + V_{BE} = 9.36 \times 10^{-4} [958 + (100 + 1)(2670)] + 0.7 = 2.525 + 0.7 = 3.225$$

$$\therefore R_1 = \frac{R_2(5 - 3.225)}{3.225} = 0.55R_2$$

$$R_{th} = \frac{R_1 R_2}{R_1 + R_2} = \frac{0.55R_2^2}{0.55R_2 + R_2} = \frac{0.55}{1.55} R_2 = 95.8$$

$$\therefore R_2 = 95.8 \times \frac{1.55}{0.55} = 270\Omega$$

และ

$$R_1 = 0.55 \times 270 = 148.5\Omega \approx 150\Omega$$

L2 และ C3 ทำหน้าที่เป็นส่วนจูนความถี่เพื่อให้ขยายสัญญาณเฉพาะความถี่ที่ต้องการคือ 145 MHz อย่างเดียว ซึ่งค่า L2 และ C3 สามารถคำนวณได้จาก

$$f = \frac{1}{2\pi\sqrt{L_2 C_3}} \quad (3.8)$$

กำหนดให้ค่า L2 = 0.15 μ H

$$\text{จะได้ } C_3 = \frac{1}{4\pi^2 f^2 L_2} = \frac{1}{4\pi^2 (145 \times 10^6)^2 (0.15 \times 10^{-6})} = 8.03 \text{ pF}$$

เอกสารนี้เป็นเอกสารที่สงวนไว้สำหรับการใช้งานเพื่อการศึกษาเท่านั้น ไม่อนุญาตให้นำไปใช้เชิงพาณิชย์
จำนวนรอบในการพันเพื่อให้ได้ค่า L ตามต้องการจากสูตร
ไม่ว่าใครเห็นได้ ฟังได้ ยกย่องให้มันเห็นได้แต่สิ่งนี้ที่และต้องอ้างอิงถึงเจ้าของเอกสารทุกครั้งที่มีการนำไปใช้

$$n = \sqrt{\frac{L(9a + 10b)}{a^2}} \quad (3.9)$$

a คือ รัศมีของแกน มีหน่วยเป็นนิ้ว กำหนดให้เท่ากับ 0.15625 นิ้ว

b คือ ความยาวของการพันขดลวด มีหน่วยเป็นนิ้ว กำหนดให้เท่ากับ 0.125 นิ้ว

$$\text{จะได้ } n = \sqrt{\frac{0.15[9(0.15625) + 10(0.125)]}{(0.15625)^2}} = 4 \text{ รอบ}$$

วงจรตั้งแต่ภาคมิกเซอร์เป็นต้นไปจะใช้ไอซีสำเร็จรูปเบอร์ MC3362 ซึ่งเป็นไอซีที่ออกแบบมาให้ใช้งานเป็นเครื่องรับเอฟเอ็มโดยเฉพาะ ภายในไอซีมีภาคมิกเซอร์สองภาคเป็นระบบคูลคอนเวอร์ชันและมีภาคโลคัลออสซิลเลเตอร์สองภาคด้วย รวมทั้งมีภาคดีเท็กต์สัญญาณเสียงพร้อมอยู่แล้ว

ไอซีเบอร์นี้ใช้งานสะดวกโดยใช้อุปกรณ์ภายนอกต่อร่วมด้วยเพียงไม่กี่ตัวก็ทำงานได้ ภาคโลคัลออสซิลเลเตอร์ภาคแรกเป็นแบบวีซีไอออกแบบให้ต่อวงจร LC รีโซแนนซ์ภายนอก เพื่อเป็นตัวกำหนดความถี่ของโลคัลออสซิลเลเตอร์ ซึ่งในที่นี้ต้องการความถี่ของโลคัลออสซิลเลเตอร์ภาคแรกประมาณ 155.7 MHz เพื่อให้มิกซ์กับสัญญาณอินพุตความถี่ 145 MHz แล้วได้สัญญาณไอเอฟ 10.7 MHz แต่ความถี่ของโลคัลออสซิลเลเตอร์สามารถปรับให้เพิ่มขึ้นหรือลดลงได้อีกโดยใช้ VR1 เป็นตัวปรับความถี่ โดยการปรับแรงดันที่จ่ายให้ภาคกำเนิดความถี่ควบคุมแรงดัน (Voltage Control Oscillator) ภายในตัวไอซี เมื่อทำการมิกซ์ครั้งที่ 1 จะได้เป็นความถี่ 10.7 MHz ออกมาที่ขา 20 แล้วผ่านตัวกรองความถี่โดยใช้เซรามิกฟิลเตอร์ CFU1 ขนาด 10.7 MHz ป้อนกลับเข้าไปในไอซีทางขา 18 และ 19 เพื่อมิกซ์ครั้งที่ 2

วงจรโลคัลออสซิลเลเตอร์ชุดที่ 2 ใช้คริสตอลความถี่ 10.245 MHz เป็นตัวกำเนิดความถี่เข้าที่ขา 3 และขา 4 เพื่อมิกซ์กับความถี่ 10.7 MHz เหลือเป็นความถี่ 455 kHz ออกมาที่ขา 5 ผ่านเซรามิกฟิลเตอร์ 455 kHz กลับมาที่ขา 7 เพื่อป้อนให้ภาคลิมิตเตอร์และภาคดีเท็กเตอร์ต่อไป

ตัวต้านทานปรับค่า VR2 ต่ออยู่ที่ขา 10 อันเป็นจุดตรวจสอบระดับสัญญาณทำหน้าที่เป็นตัวปรับสแควลซ์ คือ ให้ตัดเอาที่พหุภาคตรวจไม่พบคลื่นพาหะ โดยจะมีภาคตรวจจับคลื่นพาหะจากขา 10 ไปขา 11 ภายในไอซี ซึ่งจะให้เอาท์พุทไปควบคุมภาคขยายเสียงต่อไป

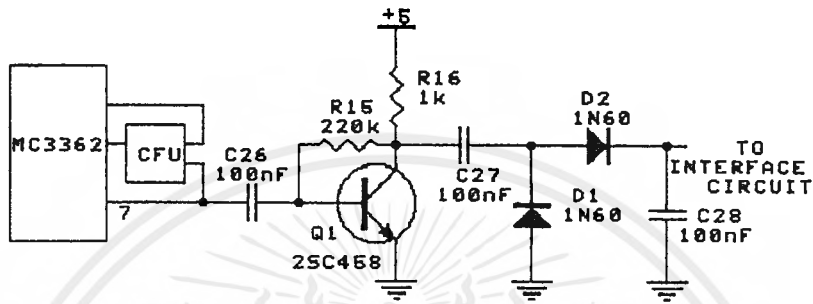
การดีเท็กต์ระบบเอฟเอ็มของ MC 3362 เป็นแบบควอดราเจอร์ดีเท็กเตอร์ มีขดลวด L4 เป็นคิสคริมมิเนเตอร์ ความถี่ 455 kHz ซึ่งใช้หม้อแปลง IF ของวิทยุเอเอ็มธรรมดาที่มีแกนปรับสัด้า เอาท์พุทที่เป็นสัญญาณความถี่เสียงที่ได้ออกมาที่ขา 13 ผ่านวงจรกรองความถี่ต่ำ อันประกอบด้วย R13 , R14 , C10 และ C11

สัญญาณความถี่เสียงจากวงจรกรองความถี่ถูกส่งต่อไปให้ IC3 เบอร์ LM386N ทำการขยายกำลังเพื่อขับออกลำโพง ตัวต้านทานปรับค่า VR3 เป็นตัวปรับระดับความดังของสัญญาณเสียง ส่วนที่ขา 1 ของ IC3 จะต่ออยู่กับทรานซิสเตอร์ Q2 ซึ่งจะถูควบคุมจากวงจรตรวจจับคลื่นพาหะอีกทีหนึ่ง ทำหน้าที่เป็นวงจรสแควลซ์ โดยจะควบคุมให้ IC3 ทำงานเฉพาะเมื่อมีการตรวจจับคลื่นพาหะได้เท่านั้น (ขา 1 ของ LM386N ต่อลงกราวด์ภาคขยายจะไม่ทำงาน) เพื่อเป็นการตัดเสียงซ่าเวลาที่ไม่มีรับสัญญาณใด ๆ

เอกสารนี้เป็นเอกสารที่สงวนไว้สำหรับการใช้งานเพื่อการศึกษาเท่านั้น ไม่อนุญาตให้นำไปใช้ประโยชน์ด้านการค้าไม่ว่ากรณีใดๆ ทั้งสิ้น อีกทั้งห้ามมิให้ดัดแปลงเนื้อหาและต้องอ้างอิงถึงเจ้าของเอกสารทุกครั้งที่มีการนำไปใช้

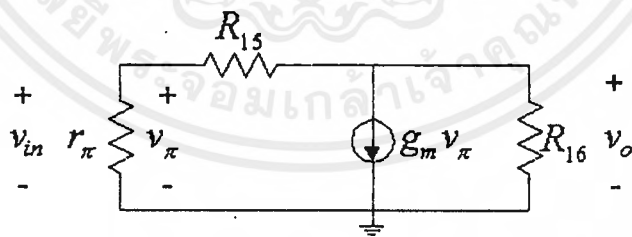
3.2 วงจรแปลงความแรงของสัญญาณไอเอฟให้เป็นระดับแรงดันไฟตรง

ในโครงงานนี้จะอาศัยวัดความแรงของสัญญาณไอเอฟความถี่ 455 kHz ที่ผ่านเซรามิกฟิลเตอร์มาแล้ว ก่อนเข้าที่ขา 7 ของไอซี MC 3362 นั้นเอง ดังรูปที่ 3.5



รูปที่ 3.5 วงจรแปลงความแรงของสัญญาณไอเอฟให้เป็นระดับแรงดันไฟตรง

จากรูปที่ 3.5 สัญญาณไอเอฟ 455 kHz จะนำมาขยาย โดยใช้วงจรขยายแบบป้อนกลับจากคอลเลกเตอร์ วงจรเสมือนเมื่อวิเคราะห์แบบไฟสถับแสดงดังรูปที่ 3.6



รูปที่ 3.6 วงจรเสมือนของวงจรรูปที่ 3.5 เมื่อวิเคราะห์แบบไฟสถับ

ใช้การวิเคราะห์วงจรคล้ายกับวงจรฟรอนท์เอนด์ จะได้

$$I_{BQ} = \frac{V_{CC} - V_{BE}}{R_{15} + (\beta + 1)R_{16}} = \frac{5 - 0.7}{220k + (215 + 1)1k} \approx 0.01mA \quad (3.10)$$

เอกสารนี้เป็นเอกสารที่สงวนไว้สำหรับการใช้งานเพื่อการศึกษาเท่านั้น ไม่อนุญาตให้นำไปใช้ประโยชน์ด้านการค้า ไม่ว่าจะกรณีใดๆ ทั้งสิ้น อีกทั้งห้ามมิให้ตัดแปลงเนื้อหาและต้องอ้างอิงถึงเจ้าของเอกสารทุกครั้งที่มีการนำไปใช้

จากสมการที่ (3.5)

$$g_m = \frac{I_{cQ}}{V_r} = \frac{\beta I_{BQ}}{V_r} = \frac{215 \times 0.01mA}{26mV} = 0.0827$$

$$\frac{v_o - v_m}{R_{L5}} + g_m v_x + \frac{v_o}{R_{L6}} = 0$$

โดยที่ $v_m = v_x$

$$\therefore A_v = \frac{v_o}{v_m} = \frac{(1 - g_m R_{L5}) R_{L6}}{R_{L5} + R_{L6}} \quad (3.11)$$

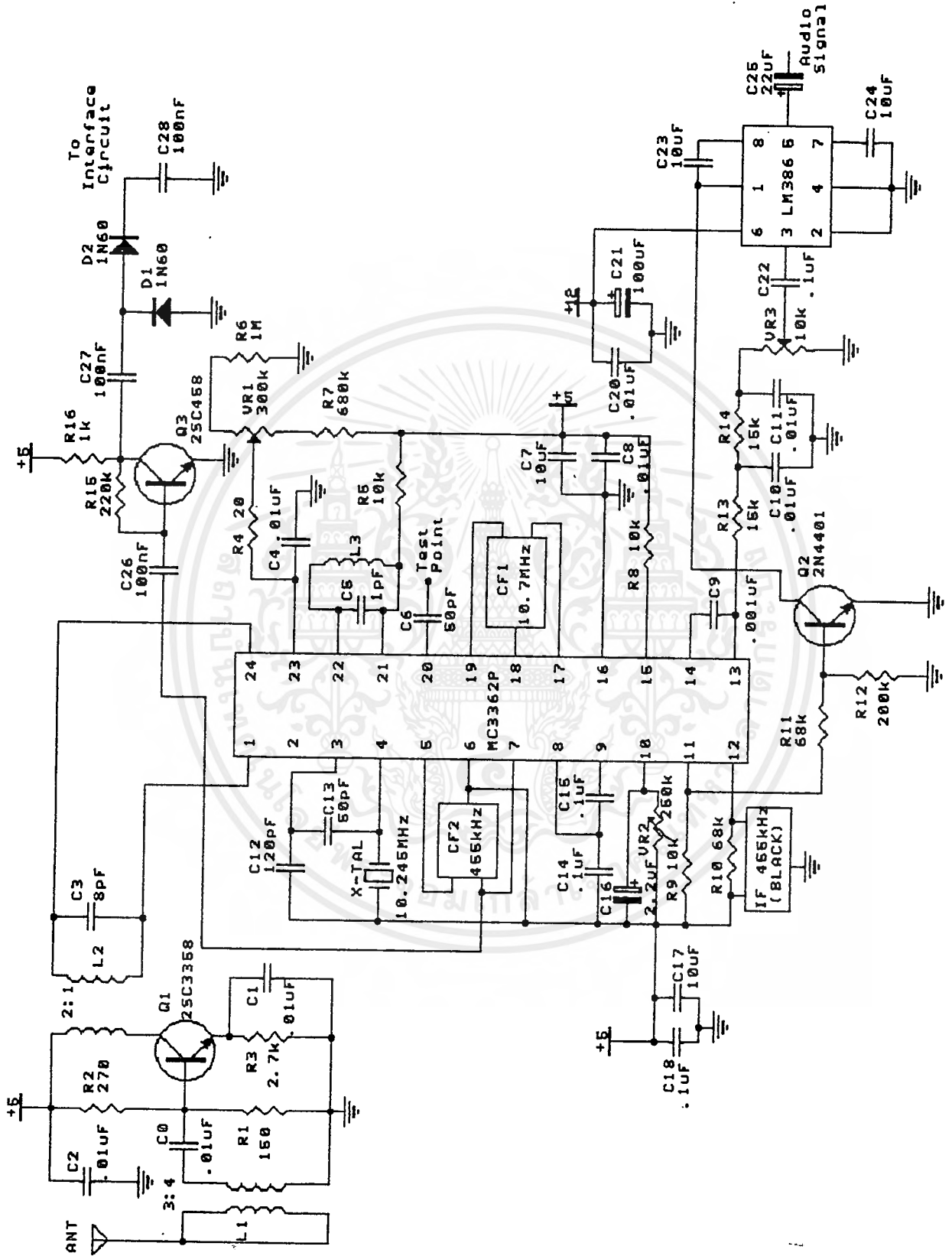
แทนค่าแล้วจะได้

$$A_v = \frac{(1 - 0.0827 \times 220k)1k}{220k + 1k} = -82.3$$

จากนั้นจะถูกเรคตีฟายโดยไดโอด D1 และ D2 คือเมื่อไซเคิลบวกเข้ามาสัญญาณจะผ่านไดโอด D2 ไปได้ และจะถูก C28 ขารจเอาไว้ เมื่อไซเคิลลบเข้ามาสัญญาณจะถูกช้อตลงกราวด์โดยไดโอด D1 ซึ่งช่วงนี้ C28 จะค่อย ๆ ดิสชาร์จออกมาทำให้ได้เป็นไฟตรง เพื่อส่งไปแปลงเป็นข้อมูลดิจิตอลโดยวงจรแปลงอนาล็อก เป็นดิจิตอลที่ส่วนอินเตอร์เฟสต่อไป วงจรที่สมบูรณ์ของเครื่องรับแสดงดังรูปที่ 3.7

3.3 สายอากาศยาก็แบบ ZL สเปนเซียล

สายอากาศที่ใช้ในโครงการนี้เป็นสายอากาศยาก็แบบ ZL สเปนเซียล ลักษณะจะประกอบด้วยสายอากาศแบบโฟลด์เดดไดโพล (Folded Dipole) สองตัวที่มีความยาวไม่เท่ากัน ตัวหนึ่งยาว $\lambda/2$ อีกตัวหนึ่งสั้นกว่าเล็กน้อย วางห่างกันประมาณ $\lambda/8$ และป้อนสัญญาณให้ไดโพลทั้งสองตัวมีเฟสต่างกัน 135 องศา การที่สายอากาศโฟลด์เดดไดโพลมีความยาวไม่เท่ากัน และถูกป้อนสัญญาณโดยตรงทั้งคู่ ทำให้ไดโพลตัวยาวทำหน้าที่เป็นทั้งตัวขับ (Driven Element) และตัวสะท้อน (Reflector) ส่วนตัวที่สั้นกว่าก็ทำหน้าที่เป็นทั้งตัวขับ และตัวชี้ทิศทาง (Director) ลักษณะการจัดเช่นนี้ทำให้ได้การแพร่กระจายคลื่นที่มีอัตราขยายสูงสุดพุ่งไปทางด้านไดโพลตัวที่สั้นกว่า สายอากาศแบบ ZL สเปนเซียลจะให้อัตราขยายสูงกว่าสายอากาศยาก็ธรรมดาที่ใช้ตัวขับและตัวสะท้อนมาก การใช้โครงสร้างเป็นโฟลด์เดดไดโพลช่วยให้แถบความถี่ใช้งานกว้าง และไม่ค่อยเปลี่ยนแปลงคุณสมบัติ (เช่น SWR อัตราขยาย ความถี่กลาง) ไปมากนักเมื่ออยู่ใกล้วัตถุอื่น เช่น กำแพงหรือวัตถุที่เป็นโลหะ นอกจากนี้ยังช่วยให้อิมพีแดนซ์ที่จุดต่อสายมีค่าสูงประมาณ 70 โอห์ม จึงสามารถต่อเข้ากับสายนำสัญญาณ 50 โอห์มหรือ 75 โอห์มได้โดยตรงโดยที่ค่า SWR ไม่สูงนัก ดังแสดงในรูปที่ 2.9 เราสามารถเพิ่มอัตราขยายของสายอากาศแบบ ZL สเปนเซียลให้สูงขึ้นได้โดยเพิ่มอิลีเมนต์ที่ทำหน้าที่เป็นตัวชี้ทิศทางเข้าไปทางด้านหน้า แต่ไม่ต้องเพิ่มอิลีเมนต์ที่ทำหน้าที่เป็นตัวสะท้อนเข้าไปอีก เพราะโฟลด์เดดไดโพลตัวที่ยาวกว่าทำหน้าที่นี้อยู่แล้ว แบบสร้างของสายอากาศที่สร้างขึ้นเพื่อใช้ในโครงการนี้เป็นดังรูปที่ 3.8



รูปที่ 3.7 วงจรที่สมบูรณ์ของเครื่องรับ

เอกสารนี้เป็นเอกสารที่สงวนไว้สำหรับการใช้งานเพื่อการศึกษาเท่านั้น ไม่อนุญาตให้นำไปใช้ประโยชน์ด้านการค้า ไม่ว่าจะกรณีใดๆ ทั้งสิ้น อีกทั้งห้ามมิให้ดัดแปลงเนื้อหาและต้องอ้างอิงถึงเจ้าของเอกสารทุกครั้งที่มีการนำไปใช้

3.4.1 วงจรถอดรหัสแอดเดรส มีส่วนประกอบ 3 ส่วนคือ

1) ไอซี 74LS138 (3 To 8 Line Decoder) จะใช้สัญญาณ A0 - A2 จากสลิตของ IBM PC ต่อเข้ากับขาเลือก (select) A , B และ C ตามลำดับ เมื่อขา อินาเปิดทั้งหมดแอดคัพ (E1 ต่อกราวด์เป็น \cdot LOW \cdot , E3 ต่อไฟเลี้ยงเป็น \cdot HIGH \cdot และ E2 ได้มาจากเอาต์พุตของไอซี 74LS688 เป็น \cdot LOW \cdot) จะสามารถถอดรหัสแอดเดรสที่ต่างกันได้ 8 เลขหมาย ทำให้เลือกอุปกรณ์ภายนอกที่จะติดต่อได้ตามต้องการ 8 อุปกรณ์ ในที่นี้เรามีอุปกรณ์ภายนอกที่ต้องการติดต่ออยู่ 3 อุปกรณ์ จึงกำหนดเอาต์พุตของวงจรให้กับอุปกรณ์ต่างๆดังนี้

- Y0 ติดต่อกับ วงจรแปลงสัญญาณ A / D ที่รับสัญญาณจากเครื่องรับวิทยุทางซ้าย (0200H)
- Y1 ติดต่อกับ วงจรแปลงสัญญาณ A / D ที่รับสัญญาณจากเครื่องรับวิทยุทางขวา (0201H)
- Y2 ติดต่อกับ วงจรควบคุมมอเตอร์กระแสตรง (0202H)

2) ดิพสวิทช์ (SW - DIP8) จะใช้สำหรับตั้งค่าแอดเดรสเริ่มต้นที่จะใช้อ้างอิงถึงอุปกรณ์ภายนอกแต่ละตัว โดยที่สถานะของดิพสวิทช์แต่ละบิต จะถูกนำไปเปรียบเทียบกับสัญญาณ A3 - A9 ที่ไอซี 74LS688 ซึ่งเป็นสัญญาณที่ใช้ในการอ้างถึงอุปกรณ์ภายนอกตามที่ IBM PC กำหนดที่เหลืออีก 7 บิต (เนื่องจาก A0 - A2 ถูกใช้เป็นอินพุตของไอซี 74LS138 ไปแล้ว) ดังนั้นบิตที่ 8 ของดิพสวิทช์จะตั้งให้เป็น \cdot ON \cdot ไว้ก่อน และเนื่องจาก IBM PC กำหนดแอดเดรสสำหรับอ้างอิงถึงอุปกรณ์ภายนอกอยู่ระหว่างแอดเดรส 0200H ถึง 03FFH นั้น ซึ่งเท่ากับใช้ A0 (LSB) - A9 (MSB) เป็นตัวกำหนด (10 0000 0000 ถึง 11 1111 1111) นั่นคือ A9 จะต้องเป็น \cdot 1 \cdot เสมอ ดังนั้นเราต้องให้ขา 7 ของดิพสวิทช์ \cdot ON \cdot ด้วย ส่วนขา 1 - 6 ของดิพสวิทช์ถ้าให้เป็น \cdot OFF \cdot ทั้งหมด ก็จะได้แอดเดรสอ้างอิงที่เริ่มต้นด้วย 0200H ตามต้องการ (10 0000 0000) แต่ถ้าเราต้องการให้แอดเดรสเริ่มต้นเป็น 0300H ก็เพียงแค่ทำให้บิต 6 ของดิพสวิทช์เป็น \cdot 1 \cdot เท่านั้น (11 0000 0000)

3) ไอซี 74LS688 (8 Bit Equal To Comparator With OC) เป็นวงจรที่ทำหน้าที่เปรียบเทียบสัญญาณดิจิทัล 8 บิต แบบบิตต่อบิต ระหว่างสัญญาณที่ขา Q0 - Q7 (ได้มาจากค่าที่กำหนดไว้ที่ดิพสวิทช์) กับสัญญาณที่เข้ามาที่ขา P0 - P7 (P0 - P6 มาจาก A3 - A9 ส่วน P7 ได้มาจากเอาต์พุตของ NAND GATE ระหว่างสัญญาณ IOR และ IOW) ถ้าขา 1 (IORD) มีสถานะเป็น \cdot LOW \cdot และ ผลที่ได้จากการเปรียบเทียบปรากฏว่าเท่ากันจะได้เอาต์พุตของวงจรเป็น \cdot LOW \cdot ออกมาที่ขา 19 ซึ่งสัญญาณนี้จะไปกระตุ้นขาอินาเปิดของ ไอซี 74LS138 และไอซี 74LS245 ให้แอดคัพด้วย

3.4.2 วงจรแปลงสัญญาณอนาล็อกเป็นสัญญาณดิจิทัล

ประกอบด้วยไอซี ADC0804 2 ตัวโดยที่ตัวหนึ่งจะรับสัญญาณไฟฟ้ากระแสตรงจากวงจรเครื่องรับวิทยุทางซ้ายอีกตัวหนึ่งก็จะรับสัญญาณไฟฟ้ากระแสตรงจากวงจรเครื่องรับวิทยุทางขวา (วงจรเครื่องรับวิทยุ , วงจรควบคุมมอเตอร์กระแสตรงที่ใช้ในการหมุนของสายอากาศและสายอากาศ จะมีอย่างละ 2 ชุด)

การกระตุ้นให้วงจรมีเริ่มทำการแปลงสัญญาณ ทำได้โดยการให้สัญญาณที่ขา CS และ WR แอดคัพที่มีสถานะเป็น \cdot LOW \cdot โดยต่อขา CS ลงกราวด์ ส่วนสัญญาณที่จะมากระตุ้นขา WR นั้นได้มาจากเอาต์พุตของไมโครคัลแดสซึ่งเป็นตัวนับของคาของ การหมุนสายอากาศ เมื่อสายอากาศหมุนไปทุกๆ 1 องศา จะมีพัลส์มากระตุ้นขา WR (อาจจะเป็นทางซ้ายหรือทางขวา) ให้แอดคัพที่มีสถานะเป็น \cdot LOW \cdot เวลาที่ใช้ในการแปลงสัญญาณ (conversion time) ของไอซี ADC0804 นี้จะมีค่าประมาณ 100 ไมโครวินาที นั่นคือ เมื่อเวลาตั้งแต่เริ่มแปลงสัญญาณผ่านไป 100 ไมโครวินาที จะมีสัญญาณสถานะ \cdot LOW \cdot ออกมาที่ขา INTR ส่งออกไปให้ไม่ว่ากรณีใดๆ ทั้งสิ้น อีกทั้งห้ามมิให้ตัดแปลงเนื้อหาและต้องอ้างอิงถึงเจ้าของเอกสารทุกครั้งที่มีการนำไปใช้

เครื่องคอมพิวเตอร์รับรู้ว่าสิ้นสุดการแปลงข้อมูลแล้ว (End Of Conversion : EOC) เพื่อที่ว่าเครื่องคอมพิวเตอร์จะได้ไปทำโปรแกรมสำหรับอ่านข้อมูลที่แปลงได้ต่อไป

การอ่านข้อมูลจากไอซี ADC0804 ออกมายังบัลต์ข้อมูล ทำได้โดยการทำให้สัญญาณที่ขา CS และ RD มีสถานะเป็น ' LOW ' ซึ่งขา CS จะต่อกับกราวด์อยู่แล้ว ส่วนสัญญาณที่จะมากระตุ้นขา RD นั้นได้มาจากเอาต์พุตของไอซี 74LS138 เพื่อเป็นการเลือกว่าจะติดต่อกับวงจรแปลงสัญญาณตัวใด ถ้า Y0 มีสถานะเป็น ' LOW ' วงจรแปลงสัญญาณทางซ้ายก็จะแอกทีฟ และ ถ้า Y1 มีสถานะเป็น ' LOW ' วงจรแปลงสัญญาณทางขวาก็จะแอกทีฟ ซึ่งทั้งสองวงจรมีจะไม่แอกทีฟพร้อมกัน สัญญาณที่ได้จากการแปลงแล้วนั้นจะถูกอ่านจากขา DB0 - DB7 ออกมาบนบัลต์ข้อมูล ซึ่งการอ่านข้อมูลนี้จะทำเมื่อขา INTR มีสถานะเป็น ' LOW ' แล้ว

3.4.3 วงจรควบคุมมอเตอร์กระแสตรง (DC motor)

วงจรมีไอซี 74LS374 (Octal D Type Flip-Flop 3 State) ซึ่งต่อขา 1 (output enable) กับกราวด์เพื่อให้ แอกทีฟที่สถานะ ' LOW ' เมื่อมีอินพุตที่เป็นคำสั่งจากเครื่องคอมพิวเตอร์บนบัลต์ข้อมูลมาเข้าทางขา D0 - D3 จะได้เอาต์พุตออกไปควบคุมมอเตอร์ทางขา Q0 - Q3 ก็ต่อเมื่อมีสัญญาณสถานะ ' HIGH ' มากระตุ้นที่ขา CLK (ใช้ ไอซี 74LS00 เป็น Inverter แปลงสัญญาณสถานะ ' LOW ' จากไอซี 74LS138 ให้มีสถานะเป็น ' HIGH ') ในช่วงขอบขาขึ้นของสัญญาณคล็อก เมื่อสัญญาณอินพุตที่เข้าขา D เป็น ' HIGH ' จะได้เอาต์พุตที่ออกจากขา Q เป็น ' HIGH ' ด้วย ในทางตรงกันข้าม ถ้าอินพุตที่เข้าขา D เป็น ' LOW ' เอาต์พุตที่ออกจากขา Q ก็จะเป็น ' LOW ' ด้วย เอาต์พุตที่มีสถานะเป็น ' HIGH ' จะควบคุมการทำงานของมอเตอร์ได้ดังนี้

- Q0 ควบคุมให้ มอเตอร์ทางซ้ายหมุนตามเข็มนาฬิกา (Forward)
- Q1 ควบคุมให้ มอเตอร์ทางซ้ายหมุนทวนเข็มนาฬิกา (Backward)
- Q2 ควบคุมให้ มอเตอร์ทางขวาหมุนตามเข็มนาฬิกา (Forward)
- Q3 ควบคุมให้ มอเตอร์ทางขวาหมุนทวนเข็มนาฬิกา (Backward)

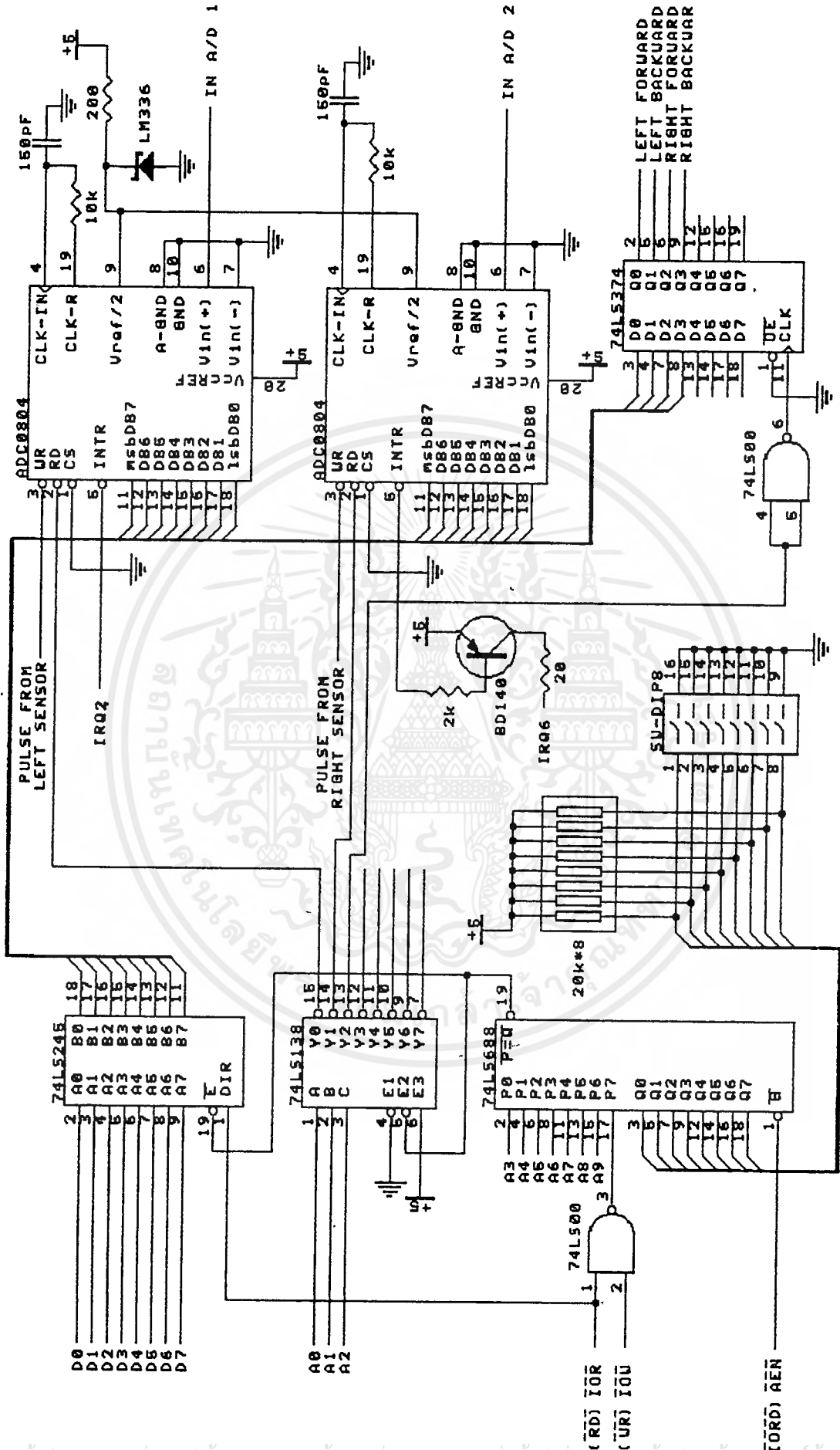
3.4.4 บัฟเฟอร์สองทิศทาง

วงจรมีไอซี 74LS245 (Octal 3 State Bus Transceiver) ขา B0 - B7 ต่อกับบัลต์ข้อมูลที่ติดต่อกับอุปกรณ์ภายนอก ส่วนขา A0 - A7 ต่อกับด้านเครื่องคอมพิวเตอร์ การกำหนดทิศทางการถ่ายโอนข้อมูลสามารถทำได้ด้วยสัญญาณลอคิกที่ขา DIR คือ ถ้ามีลอคิกเป็น ' 0 ' จะเป็นการอ่านข้อมูลจากบัลต์ข้อมูลเข้าสู่เครื่องคอมพิวเตอร์ ถ้ามีลอคิกเป็น ' 1 ' จะเป็นการส่งคำสั่งจากเครื่องคอมพิวเตอร์ไป ติดต่อกับอุปกรณ์ภายนอกต่างๆ ซึ่งการถ่ายโอนข้อมูลจะเกิดขึ้นได้ก็ต่อเมื่อขาอีนาเบิลแอกทีฟเท่านั้น (ได้รับสัญญาณสถานะ ' LOW ' จากไอซี 74LS688) ส่วนการที่จะติดต่อกับอุปกรณ์ภายนอกตัวใดนั้นก็ขึ้นอยู่กับว่าวงจรถอดรหัสจะได้แอดเดรสของอุปกรณ์ตัวใดออกมา วงจรอินเทอร์เฟสที่สมบูรณ์แสดงดังรูปที่ 3.10

3.5 วงจรขับมอเตอร์สำหรับหมุนสายอากาศ

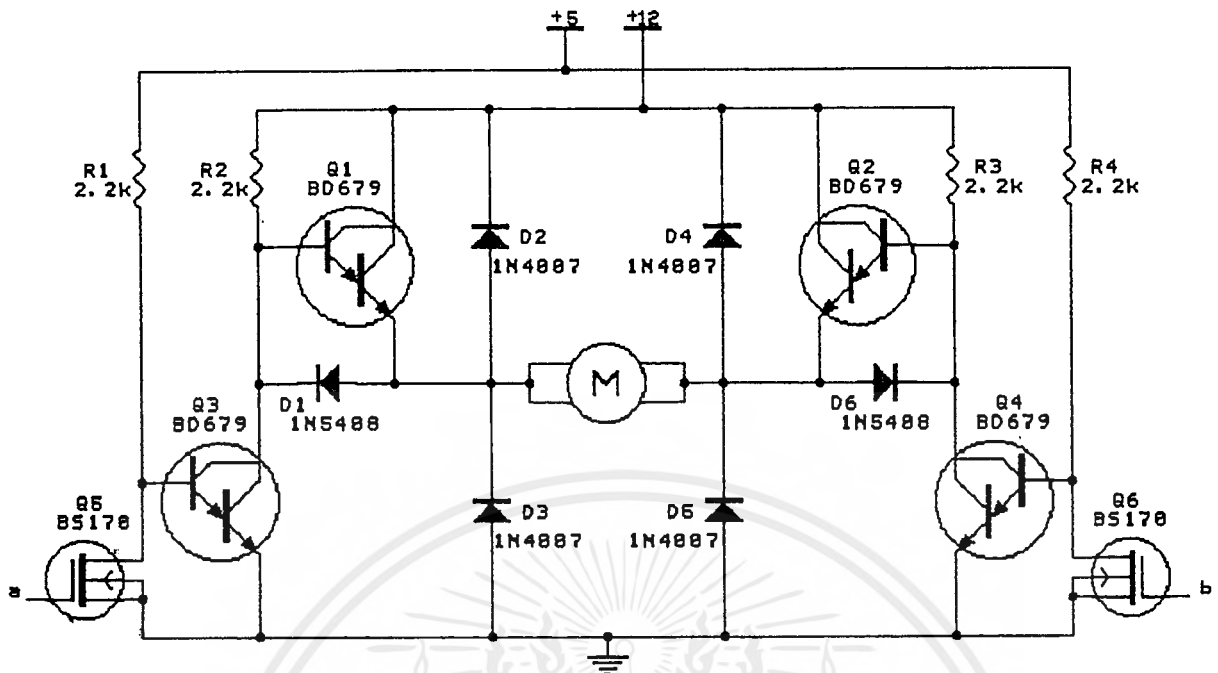
วงจรมอเตอร์แบบ H-bridge สำหรับขับมอเตอร์หนึ่งตัวจะประกอบด้วยทรานซิสเตอร์กำลังเบอร์ BD679 ทั้งหมด 4 ตัวต่อกันในลักษณะบริดจ์ และมีมอเตอร์เฟดเบอร์ BS170 จำนวน 2 ตัวต่ออยู่กับวงจรบริดจ์ดังรูปที่ 3.11 เพื่อเป็นตัวเลือกทิศทางการหมุนของมอเตอร์ นอกจากนี้ยังมีไดโอดเบอร์ 1N4007 จำนวน 4 ตัว และไดโอดเบอร์ 1N5408 อีก 2 ตัวต่ออยู่ในวงจรบริดจ์ด้วยเพื่อป้องกันการไหลของกระแสในทิศทางที่ไม่เหมาะสม

เอกสารนี้เป็นเอกสารที่สงวนไว้สำหรับการใช้งานเพื่อการศึกษาเท่านั้น ไม่อนุญาตให้นำไปใช้ประโยชน์ด้านการค้าไม่ว่ากรณีใดๆ ทั้งสิ้น อีกทั้งห้ามมิให้คัดแปลงเนื้อหาและต้องอ้างอิงถึงเจ้าของเอกสารทุกครั้งที่มีการนำไปใช้



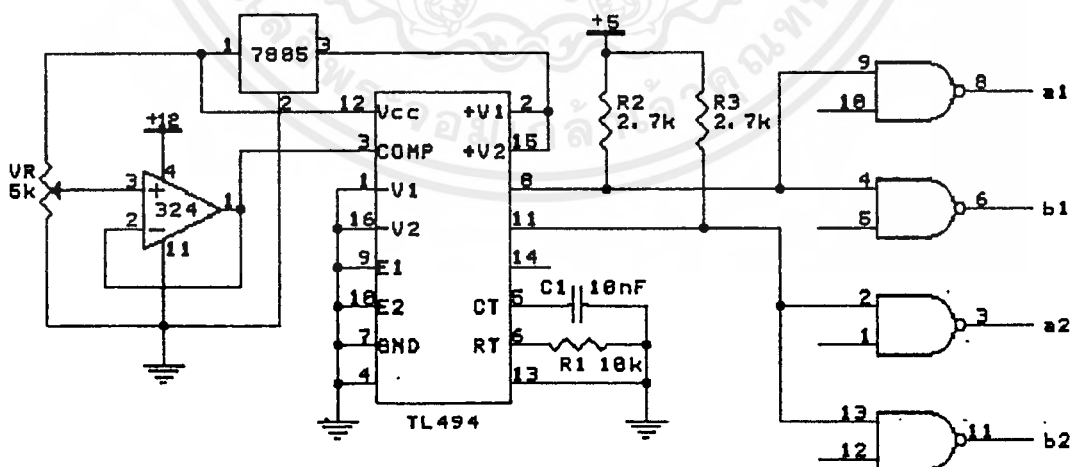
รูปที่ 3.10 วงจรอินเทอร์เฟซที่สมบูรณ์

เอกสารนี้เป็นเอกสารที่สงวนไว้สำหรับการใช้งานเพื่อการศึกษาเท่านั้น ไม่อนุญาตให้นำไปใช้ประโยชน์ด้านการค้า ไม่ว่าจะกรณีใดๆ ทั้งสิ้น อีกทั้งห้ามมิให้ดัดแปลงเนื้อหาและต้องอ้างอิงถึงเจ้าของเอกสารทุกครั้งที่มีการนำไปใช้



รูปที่ 3.11 วงจรขับมอเตอร์แบบ H-bridge

ส่วนวงจรสร้างพัลส์วิดท์เพื่อจ่ายกระแสให้กับวงจรขับนั้นจะใช้ไอซีเบอร์ TL494 ซึ่งเป็นไอซีกำเนิดสัญญาณพัลส์วิดท์ ขา 3 ของไอซีนี้จะรับระดับแรงดันเข้ามาแปลงเป็นความกว้างของพัลส์ โดยมีตัวต้านทานปรับค่าได้ต่ออยู่ระหว่างแรงดัน 12 โวลต์กับกราวด์สำหรับปรับค่าแรงดันที่จะป้อนให้ขา 3 ของไอซีเพื่อใช้สำหรับปรับความกว้างของพัลส์วิดท์นั่นเอง ระหว่างตัวต้านทานปรับค่าได้กับขา 3 ของไอซี TL494 จะมีออปแอมป์ที่ต่อเป็นบัฟเฟอร์คั่นอยู่ ดังรูปที่ 3.12



รูปที่ 3.12 วงจรสร้างพัลส์วิดท์และส่วนรับสัญญาณควบคุมจากคอมพิวเตอร์

ไอซี TL494 จะให้พัลส์วิดท์ออกมาที่ขา 8 และ ขา 11 ซึ่งที่ขาทั้งสองของไอซีนี้จะต่อความต้านทานเพิ่มกระแส (Pull up resistor) ไว้ด้วย โดยสัญญาณพัลส์วิดท์ที่ขา 8 จะแยกต่อเข้ากับขา 9 และขา 4 ของไอซีเบอร์ 74LS00 ส่วนสัญญาณพัลส์วิดท์ที่ขา 11 จะแยกต่อเข้ากับขา 2 และขา 13 ของไอซีเบอร์ 74LS00 ซึ่งเป็นไมวารกกรมใดๆ ทั้งสิ้น อีกทั้งห้ามมิให้ตัดแปลงเนื้อหาและต้องอ้างอิงถึงเจ้าของเอกสารทุกครั้งที่มีการนำไปใช้

อินพุทขาหนึ่งของแอนด์เกตแต่ละตัวนั่นเอง ส่วนขา 1, 5, 10 และ 12 ของ 74LS00 ซึ่งเป็นขาอินพุทขาที่เหลือของแอนด์เกตแต่ละตัวจะต่ออยู่กับส่วนควบคุมมอเตอร์ของวงจรอินเวอร์เตอร์เฟส ที่ขา 6 และขา 8 ของ 74LS00 ซึ่งเป็นเอาต์พุทของแอนด์เกตสองตัวแรกจะต่อเข้ากับขาเกตของมอเตอร์เฟสสองแต่ละตัวของวงจรขับเคลื่อนมอเตอร์ซึ่งจ่ายในทำนองเดียวกันขา 3 และขา 11 ซึ่งเป็นเอาต์พุทของแอนด์เกตอีกสองตัวจะต่อเข้ากับขาเกตของมอเตอร์เฟสแต่ละตัวของวงจรขับเคลื่อนมอเตอร์ซึ่งจ่าย

3.6 ส่วนตรวจนับมุมและส่งสัญญาณอินเวอร์รีฟท์

เมื่อสายอากาศแต่ละข้างหมุนไปทุก ๆ หนึ่งองศาจะต้องมีการส่งสัญญาณมาให้เครื่องคอมพิวเตอร์รู้เพื่อทำการนับองศาการหมุนและทำการรับข้อมูลความแรงที่แปลงเป็นดิจิตอลได้ ซึ่งในโครงการนี้เราใช้ชุดจานหมุนตัดแสงทำหน้าที่ในการส่งสัญญาณเมื่อสายอากาศหมุนไปได้ทุก ๆ หนึ่งองศา ชุดจานหมุนตัดแสงนี้ประกอบด้วยจานตัดแสงกับตัวเซนเซอร์แสง ตัวจานตัดแสงจะใช้แผ่นพลาสติกใสตัดเป็นวงกลม ที่ขอบจานจะขีดด้วยแถบทึบแสงในแนวรัศมีตลอดรอบวงจำนวน 72 แถบ จานตัดแสงนี้จะติดอยู่บนชุดเฟืองทด 5 เท่าที่ต่ออยู่กับแกนหมุนของสายอากาศ เมื่อสายอากาศหมุนไป 1 รอบจะทำให้จานตัดแสงหมุนไป 5 รอบซึ่งทำให้ขีดทึบแสงบนจานตัดแสงตัดผ่านตัวเซนเซอร์แสงไปทั้งหมด 360 ครั้งพอดี ส่วนตัวเซนเซอร์แสงที่ใช้นั้นจะมีรูปร่างเป็นเกือกม้า ข้างหนึ่งของเกือกม้าจะมีตัวส่งแสงอินฟราเรด และอีกข้างจะมีตัวรับแสงอินฟราเรดวางหันหน้าเข้าหากัน ถ้าไม่มีตัวส่งแสงมาขวางระหว่างขาสองข้างของเกือกม้ามันก็จะให้สัญญาณเอาต์พุทออกมาเป็น 5 โวลท์ แต่ถ้ามีตัวส่งแสงมาขวางระหว่างกลางของเกือกม้าก็จะให้สัญญาณเอาต์พุทออกมาเป็น 0 โวลท์ ดังนั้นเมื่อสายอากาศแต่ละข้างหมุนไปครบ 1 รอบ จะทำให้ขีดทึบแสงหมุนตัดตัวเซนเซอร์แสงครบ 360 ครั้งพอดี ก็จะทำให้เกิดสัญญาณพัลส์ 0 สลับกับ 5 โวลท์ 360 ลูกพอดี ซึ่งพัลส์แต่ละลูกก็จะบอกให้ทราบถึงการหมุนไปของสายอากาศในแต่ละองศาตนเอง ลักษณะของชุดจานหมุนตัดแสงที่สร้างขึ้นจริงเป็นดังรูปที่ 3.13



รูปที่ 3.13 ชุดจานหมุนตัดแสง

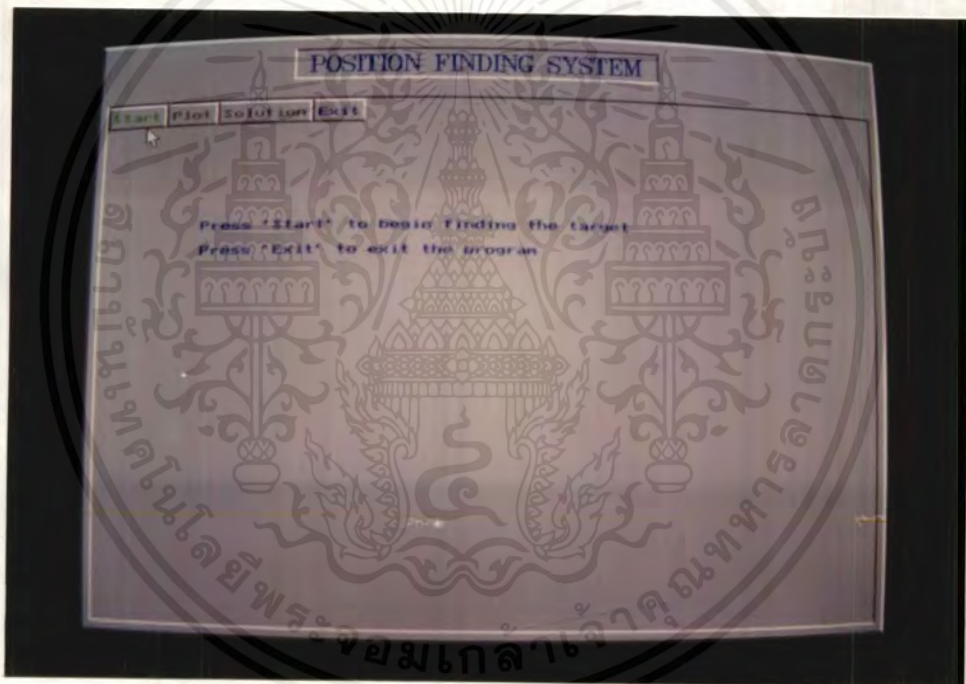
เอกสารนี้เป็นเอกสารที่สงวนไว้สำหรับภายในห้องปฏิบัติการเท่านั้น ไม่อนุญาตให้นำไปใช้ประโยชน์ด้านการค้าไม่ว่ากรณีใดๆ ทั้งสิ้น อีกทั้งห้ามมิให้ดัดแปลงเนื้อหาและต้องอ้างอิงถึงเจ้าของเอกสารทุกครั้งที่มีการนำไปใช้

บทที่ 4

ซอฟต์แวร์ของระบบค้นหาตำแหน่งด้วยคลื่นวิทยุ

เนื่องจากเราใช้เครื่องคอมพิวเตอร์ในการควบคุมการทำงานของฮาร์ดแวร์ต่าง ๆ ของระบบ ดังนั้นโปรแกรมสำหรับการควบคุมการทำงานจึงสามารถใช้ภาษาชั้นสูงซึ่งง่ายต่อการเข้าใจได้ เราเลือกใช้ภาษาซีในการเขียนโปรแกรมสำหรับระบบนี้ เนื่องจากภาษานี้มีฟังก์ชันพิเศษมากมายให้เราสามารถใช้งานและเข้าถึงฮาร์ดแวร์ส่วนต่าง ๆ ของเครื่องคอมพิวเตอร์ (เช่น พอร์ทรับส่งข้อมูลในส่วนเพิ่มขยายและฮาร์ดแวร์อินเทอร์รัพท์) ได้สะดวกกว่าภาษาอื่น ๆ ในระดับเดียวกัน

ลักษณะของโปรแกรมที่เขียนขึ้นจะทำงานในโหมดภาพ (Graphic Mode) โดยมีหน้าจอสำหรับติดต่อกับผู้ใช้ (User Screen) ดังรูปที่ 4.1



รูปที่ 4.1 หน้าจอสำหรับติดต่อกับผู้ใช้

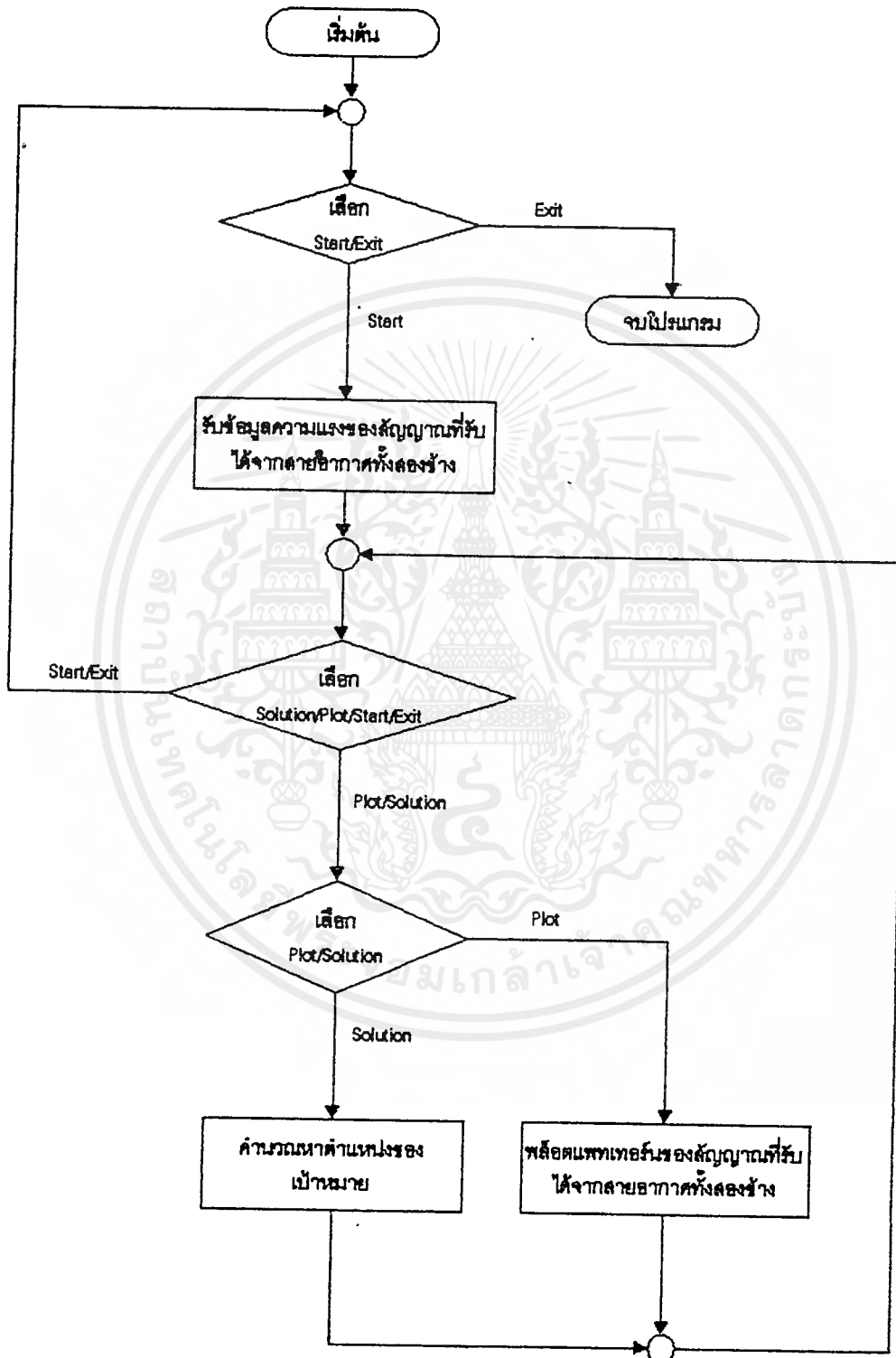
และเพื่อความสะดวกในการใช้งานของผู้ใช้ จึงกำหนดให้ใช้เมาส์ในการเลือกเมนูการทำงานต่าง ๆ ของระบบ

- Start หมายถึง เริ่มสั่งให้สายอากาศทั้งสองข้างกวาดรับสัญญาณจากเป้าหมาย และนำข้อมูลความแรงของสัญญาณที่รับได้มาเก็บไว้ในไฟล์
- Plot หมายถึงให้นำข้อมูลความแรงที่ได้จากสายอากาศแต่ละข้างมาวาดบนกราฟวงกลม (Polar Graph) เพื่อดูรูปคลื่นที่รับเข้ามาในทิศทางต่าง ๆ
- Solution หมายถึงให้นำข้อมูลความแรงที่ได้จากสายอากาศแต่ละข้างมาทำการคำนวณเพื่อหาตำแหน่งของเป้าหมายโดยจะแสดงผลหรือออกมาเป็นระยะห่างของเป้าหมายกับสายอากาศแต่ละข้างและมุมไม่ว่ากรณีใด ทั้งสิ้น อีกทั้งยังมีให้ตัดแปลงเนื้อหาและต้องอ้างอิงถึงเจ้าของเอกสารทุกครั้งที่มีการนำไปใช้

ที่สายอากาศซึ่งไปยังเป้าหมายในทิศทางเริ่มนำพิก

- Exit หมายถึง เลิกใช้งานและออกจากโปรแกรม

อัลกอริทึมโดยรวมของโปรแกรมจะสามารถแสดงได้ดังแผนภูมิการไหล (Flow Chart) ในรูปที่ 4.2



รูปที่ 4.2 แผนภูมิการไหลของโปรแกรมหลัก

เอกสารนี้เป็นเอกสารที่สงวนไว้สำหรับการใช้งานเพื่อการศึกษาเท่านั้น ไม่อนุญาตให้นำไปใช้ประโยชน์ด้านการค้า ไม่ว่าจะกรณีใดๆ ทั้งสิ้น อีกทั้งห้ามมิให้ตัดแปลงเนื้อหาและต้องอ้างอิงถึงเจ้าของเอกสารทุกครั้งที่มีการนำไปใช้

จากแผนภูมิการไหลรูปที่ 4.2 เมื่อเริ่มต้นการทำงานจะสามารถเลือกเมนูได้เพียง Start หรือ Exit เท่านั้น เมื่อเสร็จจากกระบวนการนี้แล้วก็จะสามารถเลือกเมนูได้ทุกเมนูบนหน้าจอ ถ้าเลือก Start หรือ Exit โปรแกรมก็จะวนกลับไปทำงานตามที่ได้กล่าวมาอีก ถ้าเลือกเมนู Plot โปรแกรมจะไปทำกระบวนการวาดรูปสัญญาณที่รับได้จากสายอากาศทั้งสองข้าง หรือถ้าเลือกเมนู Solution โปรแกรมจะไปทำกระบวนการคำนวณหาตำแหน่งเป้าหมาย เมื่อเสร็จจากกระบวนการ Plot หรือ Solution แล้ว โปรแกรมก็จะวนกลับไปรอการเลือกเมนูทั้งหมดอยู่จนกว่าจะมีการเลือกเมนู Exit ก็จะเลิกการทำงานต่าง ๆ และออกจากโปรแกรม จะเห็นได้ว่าโปรแกรมจะมีกระบวนการหลัก ๆ อยู่ 3 กระบวนการได้แก่

1. กระบวนการรับข้อมูลความแรงของสัญญาณที่รับได้จากสายอากาศทั้งสองข้าง
2. กระบวนการคำนวณหาและแสดงตำแหน่งของเป้าหมาย
3. กระบวนการวาดรูปสัญญาณที่รับได้จากสายอากาศทั้งสองข้าง

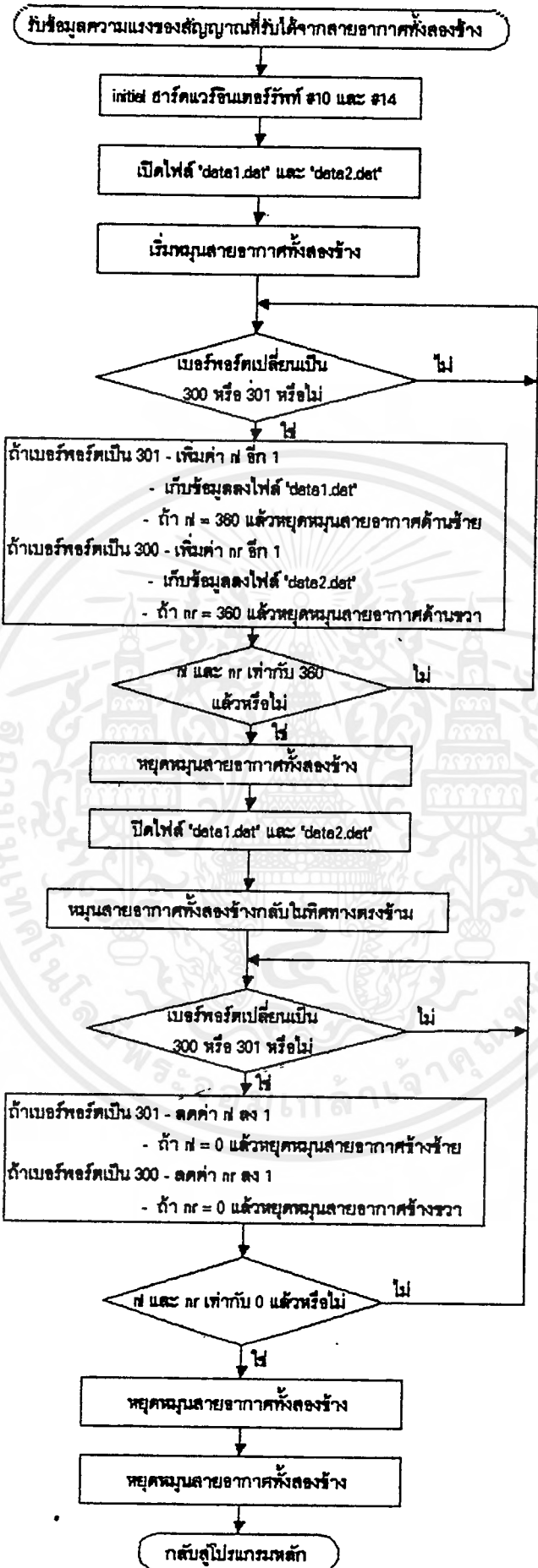
4.1 กระบวนการรับข้อมูลความแรงของสัญญาณที่รับได้จากสายอากาศทั้งสองข้าง

รายละเอียดของกระบวนการนี้สามารถแสดงได้ด้วยแผนภูมิการไหลดังรูปที่ 4.3 จากแผนภูมิการไหลของกระบวนการรับข้อมูลความแรงของสัญญาณที่รับได้จากสายอากาศทั้งสองข้างขั้นแรกจะทำการจัดเตรียมกำหนดเวกเตอร์สำหรับฮาร์ดแวร์อินเทอร์เฟซหมายเลข 10 และหมายเลข 14 ก่อน โดยที่ฮาร์ดแวร์อินเทอร์เฟซหมายเลข 10 จะสัมพันธ์กับสัญญาณอินเทอร์เฟซที่เข้ามาในช่องเสียบนำสัญญาณ IRQ2 และหมายเลข 14 จะสัมพันธ์กับสัญญาณอินเทอร์เฟซที่เข้ามาในช่องเสียบนำสัญญาณ IRQ6 จากนั้นจะเปิดไฟล์ "data1.dat" สำหรับเก็บข้อมูลความแรงของสัญญาณที่รับได้จากสายอากาศด้านซ้ายและเปิดไฟล์ "data2.dat" สำหรับเก็บข้อมูลความแรงของสัญญาณที่รับได้จากสายอากาศด้านขวา แล้วจึงเริ่มหมุนสายอากาศทั้งสองข้างพร้อม ๆ กันในทิศทางเข็มนาฬิกาเพื่อกวาดหาตำแหน่งของเครื่องส่งวิทยุ เมื่อสายอากาศแต่ละข้างหมุนไปทุก ๆ 1 องศาจะมีสัญญาณอินเทอร์เฟซที่ถูกส่งมาจากวงจรแปลงอนาล็อกเป็นดิจิตอล ทำให้โปรแกรมบริการอินเทอร์เฟซที่สัมพันธ์กับสายอากาศแต่ละข้างทำการอ่านข้อมูลจากพอร์ทของวงจรแปลงอนาล็อกเป็นดิจิตอลที่สัมพันธ์กันเข้ามาและส่งค่าข้อมูลที่อ่านได้กับหมายเลขพอร์ทของวงจรแปลงอนาล็อกเป็นดิจิตอลนั้นกลับมา แผนภูมิการไหลของโปรแกรมบริการอินเทอร์เฟซเป็นดังรูปที่ 4.4 เมื่อโปรแกรมของกระบวนการนี้ตรวจพบที่มีการส่งหมายเลขพอร์ทของวงจรแปลงอนาล็อกเป็นดิจิตอลชุดใดชุดหนึ่งซึ่งได้แก่ พอร์ทหมายเลข 300 และ 301 กลับมาจากโปรแกรมบริการอินเทอร์เฟซแล้วก็จะทำขั้นตอนดังต่อไปนี้

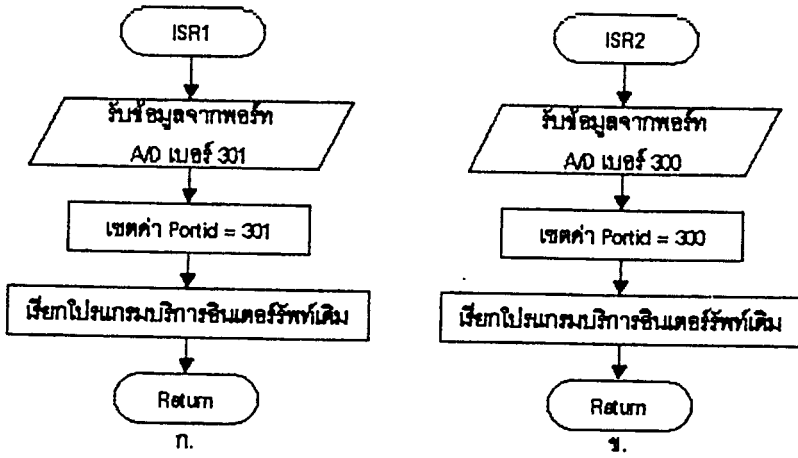
- เพิ่มค่าการนับมุมกวาดของสายอากาศข้างนั้น ๆ
- นำค่าข้อมูลที่ส่งกลับมาจากโปรแกรมบริการอินเทอร์เฟซซึ่งคือค่าข้อมูลความแรงของสัญญาณ ณ มุม นั้น ๆ มาเก็บลงในไฟล์ที่สัมพันธ์กัน
- ถ้าค่าการนับมุมกวาดของสายอากาศขณะนั้นเป็น 360 องศาแล้ว ก็หยุดหมุนสายอากาศข้างนั้น

โปรแกรมจะวนทำกระบวนการเช่นนี้เรื่อยไปจนกระทั่งค่าการนับมุมกวาดของสายอากาศทั้งสองข้างเป็น 360 องศา สายอากาศทั้งสองข้างก็จะหยุดหมุน จากนั้นทำการปิดไฟล์ที่เก็บข้อมูลทั้งหมดแล้วทำการหมุนสายอากาศทั้งสองข้างกลับมายังตำแหน่งเริ่มต้น โดยใช้การอินเทอร์เฟซในการนับมุมกวาดคอยหลังจากกลับมาที่ตำแหน่ง 0 องศาในทำนองเดียวกับการรับข้อมูล เมื่อสายอากาศทั้งสองข้างหมุนกลับมายังตำแหน่ง 0 องศาแล้วก็หยุดหมุน จากนั้นก็ทำการคืนค่าเวกเตอร์อินเทอร์เฟซของฮาร์ดแวร์ให้กับระบบเดิม

ไม่ว่ากรณีใดๆ ทั้งสิ้น อีกทั้งห้ามมิให้ตัดแปลงเนื้อหาและต้องอ้างอิงถึงเจ้าของเอกสารทุกครั้งที่มีการนำไปใช้



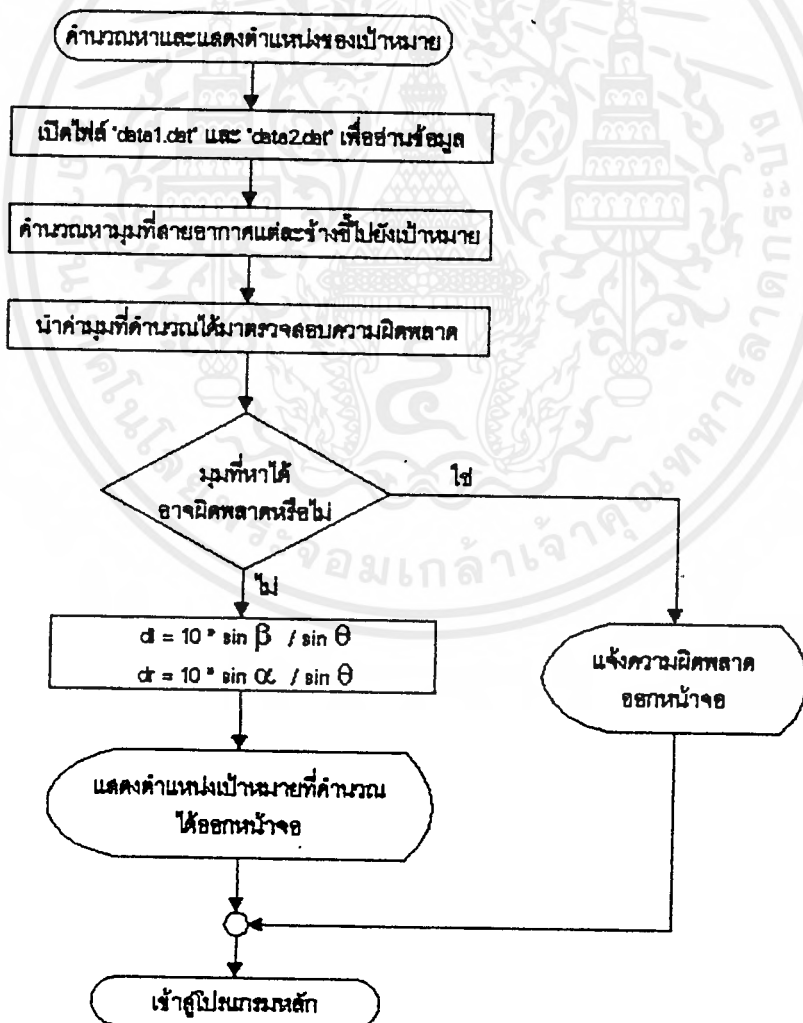
รูปที่ 4.3 แผนภูมิการไหลของกระบวนการรับข้อมูลความแรงของสัญญาณที่รับได้จากสายอากาศทั้งสองข้าง
ไม่ว่ากรณีใดๆ ทั้งสิ้น อีกทั้งห้ามมิให้ตัดแปลงเนื้อหาและต้องอ้างอิงถึงเจ้าของเอกสารทุกครั้งที่มีการนำไปใช้



รูปที่ 4.4 ก. แผนภูมิการไหลของโปรแกรมบริการการอินเตอร์รัพต์ของสายอากาศข้างซ้าย
 ข. แผนภูมิการไหลของโปรแกรมบริการการอินเตอร์รัพต์ของสายอากาศข้างขวา

4.2 กระบวนการคำนวณหาและแสดงตำแหน่งของเป้าหมาย

รายละเอียดของกระบวนการนี้สามารถแสดงได้ด้วยแผนภูมิการไหลดังรูปที่ 4.5



รูปที่ 4.5 แผนภูมิการไหลของกระบวนการคำนวณหาและแสดงตำแหน่งของเป้าหมาย

เอกสารนี้เป็นเอกสารที่สงวนไว้สำหรับการใช้งานเพื่อการศึกษาเท่านั้น ไม่อนุญาตให้นำไปใช้ประโยชน์ด้านการค้า ไม่ว่าจะกรณีใดๆ ทั้งสิ้น อีกทั้งห้ามมิให้ตัดแปลงเนื้อหาและต้องอ้างอิงถึงเจ้าของเอกสารทุกครั้งที่มีการนำไปใช้

จากแผนภูมิการไหลของกระบวนการนี้จะเริ่มต้นด้วยการเปิดไฟที่เก็บข้อมูลความแรงของสัญญาณที่ได้รับจากสายอากาศทั้งสองข้างเพื่ออ่าน จากนั้นจะทำกระบวนการย่อยในการคำนวณหามุมที่สายอากาศแต่ละข้างชี้ไปยังเป้าหมาย ซึ่งมีหลักการคร่าว ๆ คือการเปรียบเทียบหามุมที่มีข้อมูลความแรงมากที่สุดนั่นเอง แต่เนื่องจากเราเก็บความแรงของสัญญาณที่ได้รับจากเป้าหมายทุกๆ องศาโดยแปลงเป็นข้อมูลดิจิทัล ซึ่งวงจรแปลงอนาลอกเป็นดิจิทัลที่ใช้สามารถแปลงระดับสัญญาณที่เข้ามามากที่สุด 5 โวลต์ ให้เป็น 256 ระดับ เท่ากับว่าแต่ละระดับจะมีความแตกต่างกัน 19.6 มิลลิโวลต์ และเนื่องจากบีมของสายอากาศกว้าง ระดับสัญญาณที่ได้บริเวณใกล้ ๆ จุดสูงสุดของบีมหลักอาจแตกต่างกันน้อยกว่า 19.6 มิลลิโวลต์. ซึ่งเมื่อแปลงเป็นข้อมูลดิจิทัลแล้วจะทำให้ได้ค่าเท่ากันหมด ดังนั้นอัลกอริทึมในการหามุมที่สายอากาศแต่ละข้างชี้ไปยังเป้าหมาย เราจะหามุมแรกและมุมสุดท้ายที่มีค่าข้อมูลความแรงมากที่สุด (คิดว่ามีค่ามากที่สุดหลายค่าเป็นช่วง ๆ) แล้วหาค่ามุมกึ่งกลางระหว่างมุมทั้งสองนั้นเป็นค่ามุมที่สายอากาศชี้ไปยังเป้าหมาย ดังแผนภูมิการไหลในรูปที่ 4.6 จากแผนภูมิการไหลรูปที่ 4.6 เป็นกระบวนการย่อยในการหามุมที่สายอากาศแต่ละข้างชี้ไปยังเป้าหมาย ช่วงแรกนั้นจะเป็นการอ่านข้อมูลที่เก็บไว้ในไฟล์ออกมาที่ละองศาจนครบ 360 องศาเพื่อนำมาเปรียบเทียบกันและหาค่ามุมแรกที่มีค่าข้อมูลสูงสุด ช่วงหลังจะกลับไปอ่านข้อมูลตั้งแต่ต้นไฟล์ใหม่ทีละองศาจนครบ 360 องศา เพื่อหามุมที่สองซึ่งเป็นมุมสุดท้ายที่มีค่าข้อมูลเท่ากับค่าข้อมูลสูงสุด เมื่อหาได้แล้วจึงปิดไฟข้อมูล และนำค่ามุมทั้งสองมาหาค่าเฉลี่ยมุมกึ่งกลางและส่งค่ามุมกึ่งกลางนี้ซึ่งเป็นค่ามุมที่สายอากาศข้างนั้น ๆ ชี้ไปยังเป้าหมายกลับมา

หลังจากเสร็จสิ้นกระบวนการย่อยในการหามุมที่สายอากาศทั้งสองข้างชี้ไปยังเป้าหมายแล้ว ก็จะไปทำกระบวนการย่อยในการนำค่ามุมที่สายอากาศทั้งสองข้างชี้ไปยังเป้าหมายนั้นมาตรวจสอบความผิดพลาดเนื่องจากหลักการในการหาตำแหน่งเป้าหมายนี้จะใช้วิธีจำลองเป็นรูปสามเหลี่ยมขึ้นมาโดยการลากเส้นจากสายอากาศทั้งสองข้างในทิศทางที่ชี้ไปยังเป้าหมายมาตัดกันจึงได้ตำแหน่งของเป้าหมาย ดังนั้นถ้าเป้าหมายอยู่ในแนวเส้นวิกฤต (Critical Line) คือแนวเส้นตรงระหว่างสายอากาศทั้งสองนั้น จะไม่สามารถหาจุดตัดหรือไม่สามารถหาตำแหน่งเป้าหมายได้นั่นเอง นอกจากนี้ความผิดพลาดที่อาจเกิดขึ้นได้อีกคือ กรณีที่ค่ามุมที่สายอากาศทั้งสองข้างชี้ไปยังเป้าหมายซึ่งได้จากการคำนวณนั้นมีแนวขนานกันหรือเบนออกจากกันเล็กน้อยซึ่งก็ไม่สามารถหาจุดตัดได้และไม่สามารถหาตำแหน่งเป้าหมายได้เช่นกัน กระบวนการตรวจสอบความผิดพลาดในการค้นหาตำแหน่งเป้าหมายตามที่กล่าวมาสามารถแสดงได้ด้วยแผนภูมิการไหลดังรูปที่ 4.7

หลังจากผ่านกระบวนการย่อยในการตรวจสอบความผิดพลาดแล้ว ถ้าค่ามุมที่สายอากาศทั้งสองข้างชี้ไปยังเป้าหมายไม่ผิดพลาดแล้ว ก็จะนำมาคำนวณตามกฎของไซน์เพื่อหาระยะของเป้าหมายกับสายอากาศทั้งสองข้างดังนี้

$$dl = 10 * \sin\beta / \sin\theta \quad \dots(4.1)$$

$$dr = 10 * \sin\alpha / \sin\theta \quad \dots(4.2)$$

เมื่อ dl คือระยะห่างระหว่างเป้าหมายกับสายอากาศด้านซ้าย

dr คือระยะห่างระหว่างเป้าหมายกับสายอากาศด้านขวา

10 คือระยะห่างระหว่างสายอากาศทั้งสองข้างซึ่งเท่ากับ 10 เมตร

α, β, θ คือค่ามุมที่แสดงในรูปที่ 2.2

เอกสารนี้เป็นเอกสารที่สงวนไว้สำหรับการใช้งานเพื่อการศึกษาเท่านั้น ไม่อนุญาตให้นำไปใช้ประโยชน์ด้านการค้าไม่ว่ากรณีใดๆ ทั้งสิ้น อีกทั้งห้ามมิให้ตัดแปลงเนื้อหาและต้องอ้างอิงถึงเจ้าของเอกสารทุกครั้งที่มีการนำไปใช้

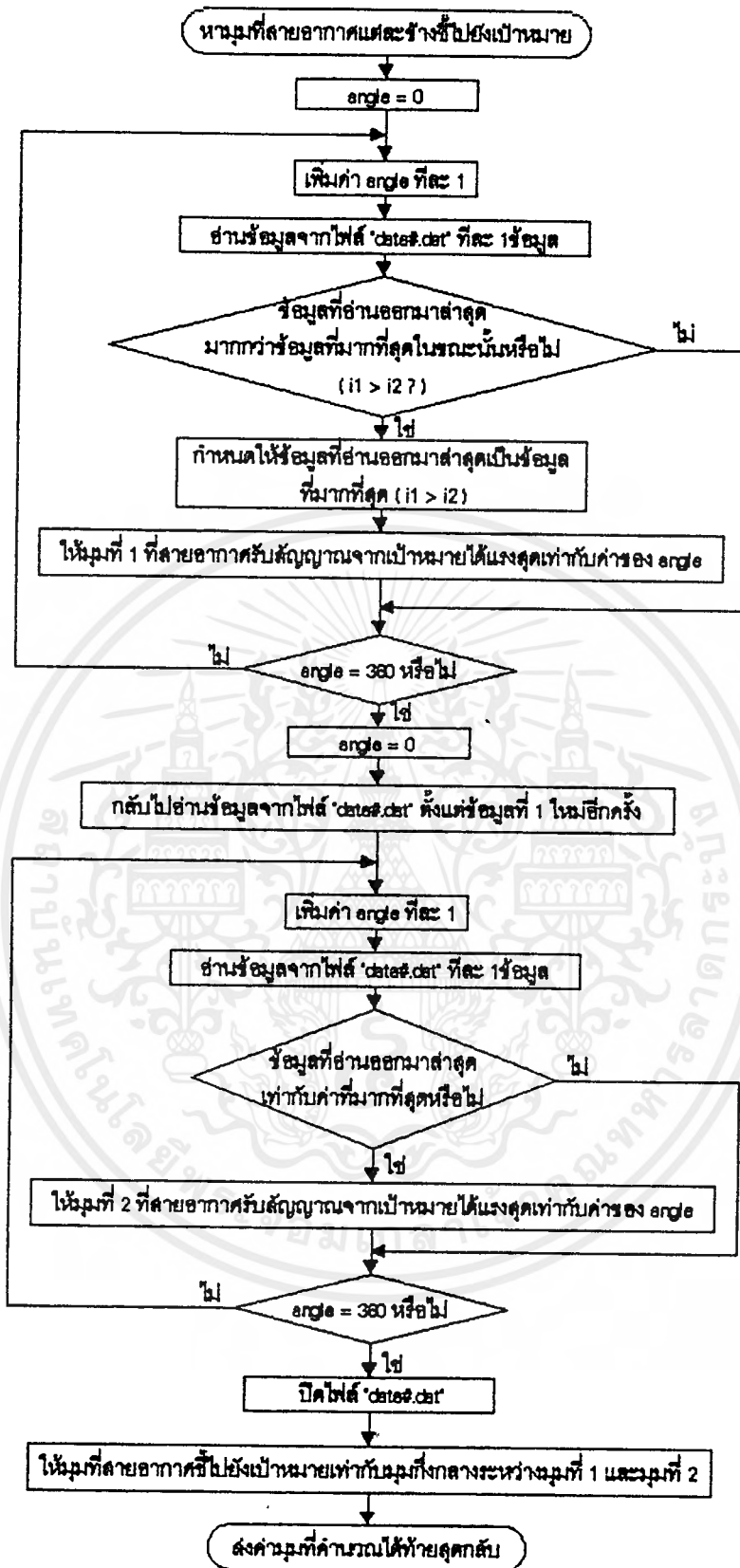
จากนั้นก็แสดงตำแหน่งเป้าหมายของหน้าจอโดยบอกเป็นระยะห่างของเป้าหมายถึงสายอากาศทั้งสองข้างที่คำนวณได้และมุมที่สายอากาศชี้ไปยังเป้าหมายในทิศทางทวนเข็มนาฬิกาด้วยอย่างในรูปที่ 4.8 ก. แต่ถ้ามีความผิดพลาดหลังจากกระบวนการย่อในการตรวจสอบความผิดพลาดแล้วจะแจ้งความผิดพลาดออกหน้าจอแสดงผลเช่นกันดังรูปที่ 4.8 ข.

4.3 กระบวนการวาดรูปสัญญาณที่รับได้จากสายอากาศทั้งสองข้าง

รายละเอียดของกระบวนการนี้สามารถแสดงได้ด้วยแผนภูมิการไหลดังรูปที่ 4.9 ส่วนสำคัญของกระบวนการนี้คือกระบวนการย่อในการวาดรูปสัญญาณซึ่งสามารถแสดงได้ดังแผนภูมิการไหลในรูปที่ 4.10

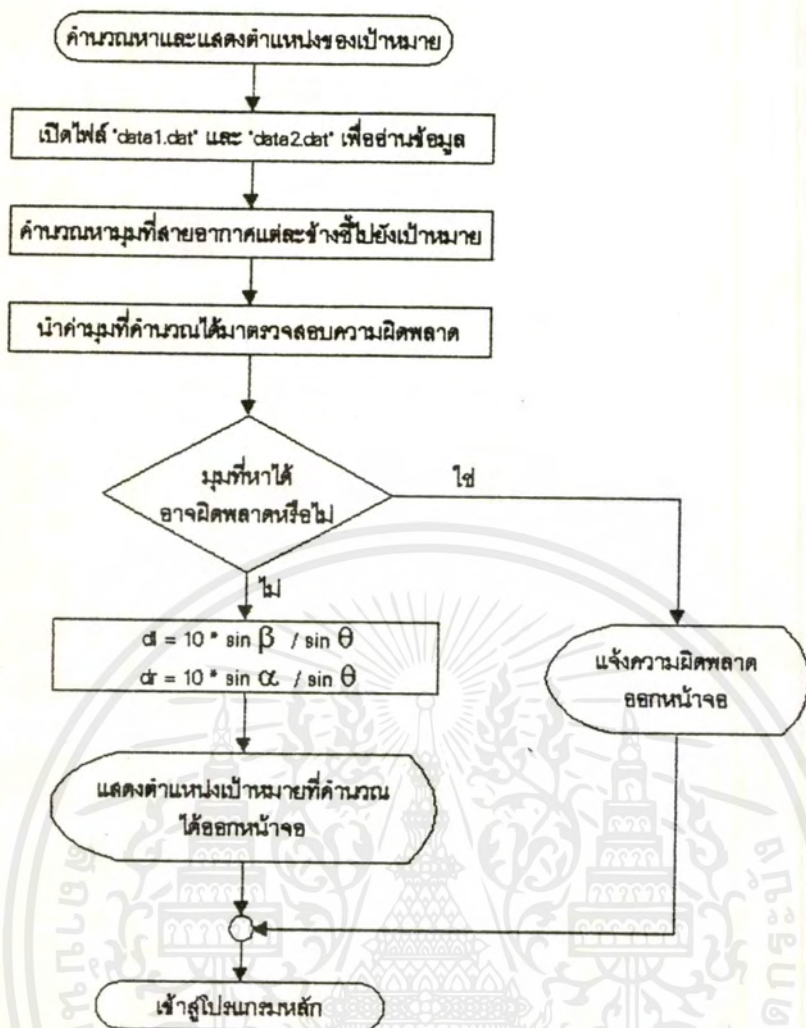
จากแผนภูมิการไหลของกระบวนการย่อในการวาดรูปสัญญาณ เริ่มต้นจะอ่านข้อมูลความแรงที่เก็บไว้ออกมาที่ละองศา มาแปลงเป็นค่าเดซิเบล จากนั้นก็แปลงค่าเดซิเบลนั้นให้เป็นจุดพิกัดบนโพลาร์กราฟ และลากเส้นตรงเชื่อมต่อกันระหว่างจุดของมุมองศาที่อยู่ติดกันจนครบ 360 องศา ลากเส้นตรงต่อกับจุดแรกด้วยก็จะได้รูปสัญญาณบนโพลาร์กราฟของสายอากาศแต่ละข้างตามทิศทางที่รับได้ แล้วปิดไฟล์ข้อมูลก็เป็นอันเสร็จสิ้นกระบวนการย่อนี้ ตัวอย่างหน้าจอแสดงผลของกระบวนการวาดรูปสัญญาณที่รับได้โดยสายอากาศทั้งสองข้างเป็นดังรูปที่ 4.11



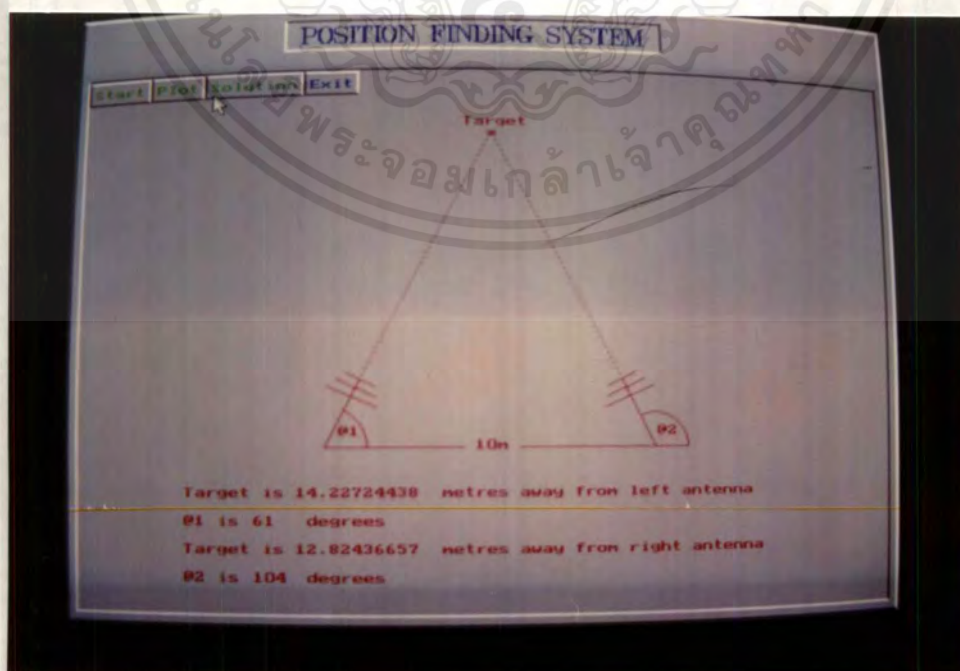


รูปที่ 4.6 แผนภูมิการไหลของกระบวนการย่อยในการหามุมที่สายอากาศแต่ละข้างซึ่งไปยังเป้าหมาย

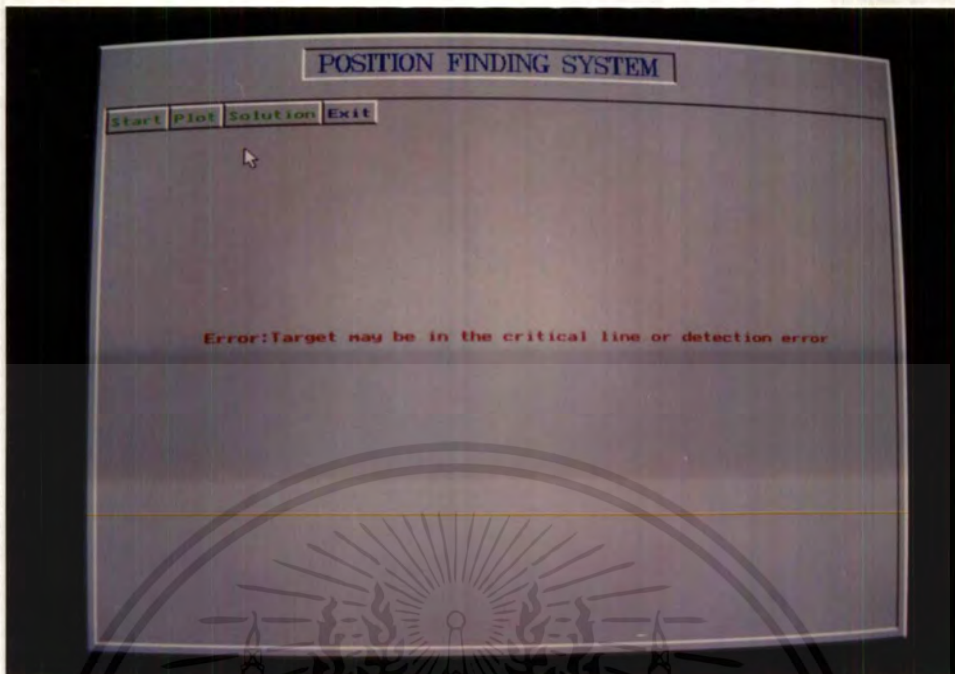
เอกสารนี้เป็นเอกสารที่สงวนไว้สำหรับการใช้งานเพื่อการศึกษาเท่านั้น ไม่อนุญาตให้นำไปใช้ประโยชน์ด้านการค้า ไม่ว่าจะกรณีใดๆ ทั้งสิ้น อีกทั้งห้ามมิให้ตัดแปลงเนื้อหาและต้องอ้างอิงถึงเจ้าของเอกสารทุกครั้งที่มีการนำไปใช้



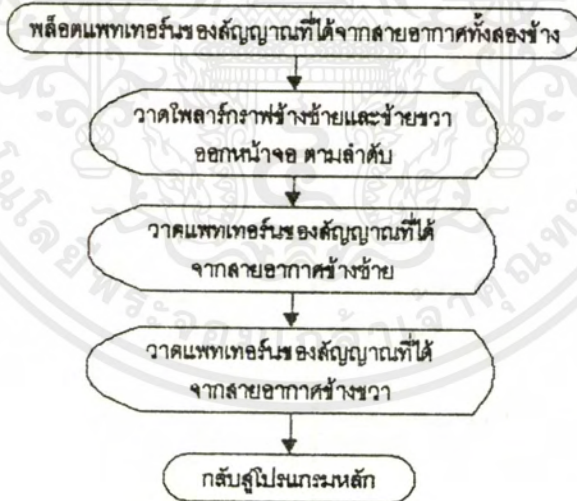
รูปที่ 4.7 แผนภูมิการไหลของกระบวนการข้อย่อยในการนำค่ามุมที่คำนวณได้มาตรวจสอบความผิดพลาด



รูปที่ 4.8 ก. หน้าจอแสดงระยะห่างของเป้าหมายและมุมที่สายอากาศชี้ไปยังเป้าหมายในทิศทวนเข็มนาฬิกา เอกสารนี้เป็นเอกสารที่สงวนไว้สำหรับการใช้งานเพื่อการศึกษาเท่านั้น ไม่อนุญาตให้นำไปใช้ประโยชน์ด้านการค้า ไม่ว่าจะกรณีใดๆ ทั้งสิ้น อีกทั้งห้ามมิให้ดัดแปลงเนื้อหาและต้องอ้างอิงถึงเจ้าของเอกสารทุกครั้งที่มีการนำไปใช้

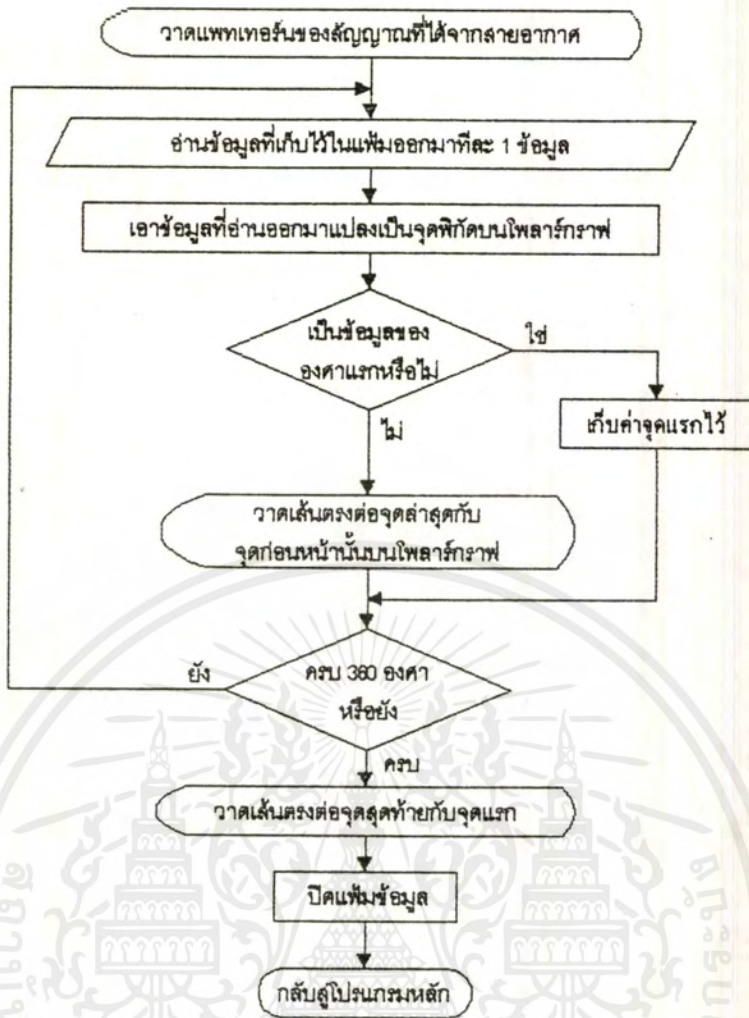


รูปที่ 4.8 ข. หน้าจอแสดงความผิดพลาด

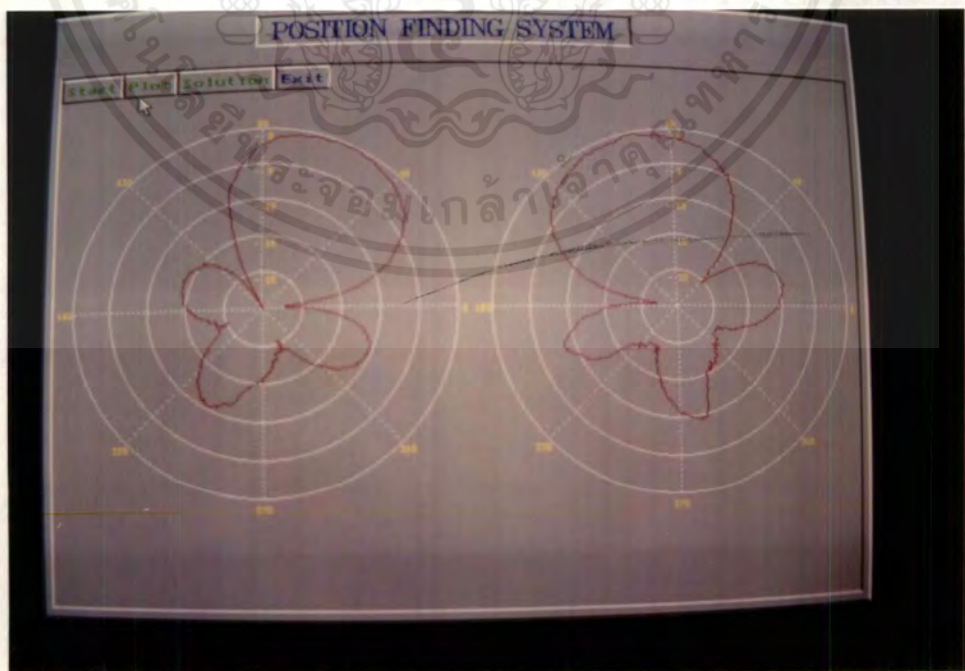


รูปที่ 4.9 แผนภูมิการไหลของกระบวนการวัดรูปสัญญาณที่ได้รับจากสายอากาศทั้งสองข้าง

เอกสารนี้เป็นเอกสารที่สงวนไว้สำหรับการใช้งานเพื่อการศึกษาเท่านั้น ไม่อนุญาตให้นำไปใช้ประโยชน์ด้านการค้า
ไม่ว่ากรณีใดๆ ทั้งสิ้น อีกทั้งห้ามมิให้ตัดแปลงเนื้อหาและต้องอ้างอิงถึงเจ้าของเอกสารทุกครั้งที่มีการนำไปใช้



รูปที่ 4.10 แผนภูมิการไหลของกระบวนการย่อยในการวาดรูปสัญญาณ



รูปที่ 4.11 หน้าจอแสดงผลของกระบวนการวาดรูปสัญญาณที่รับได้โดยสายอากาศทั้งสองข้าง

เอกสารนี้เป็นเอกสารที่สงวนไว้สำหรับการใช้งานเพื่อการศึกษาเท่านั้น ไม่อนุญาตให้นำไปใช้ประโยชน์ด้านการค้า ไม่ว่าจะกรณีใดๆ ทั้งสิ้น อีกทั้งห้ามมิให้ตัดแปลงเนื้อหาและต้องอ้างอิงถึงเจ้าของเอกสารทุกครั้งที่มีการนำไปใช้

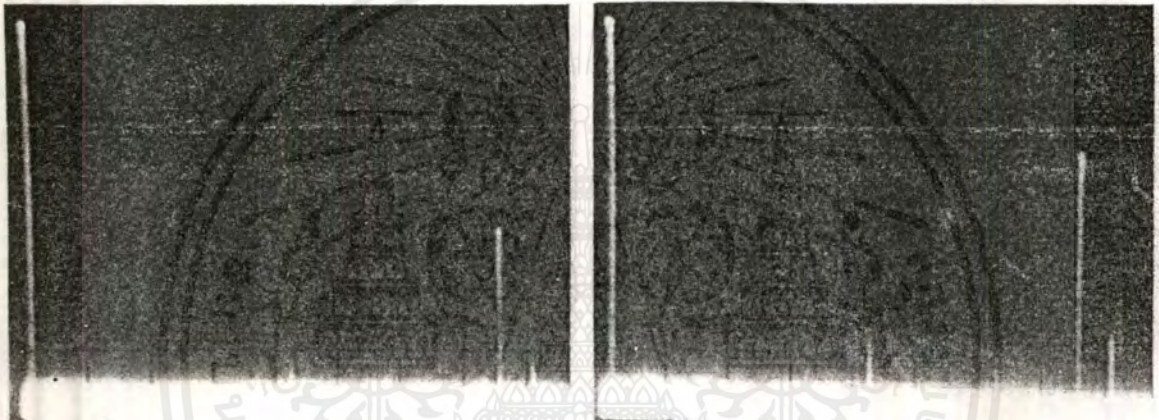
บทที่ 5

การทดลองและผลการทดลอง

5.1 วงจรภาครับและวงจรแปลงสัญญาณไอเอฟเป็นระดับไฟตรง

การทดสอบในส่วนวงจรภาครับมีระดับขั้นตอนดังนี้

1. ทดสอบภาคพรีแอมป์ โดยใช้เครื่องสังเคราะห์ความถี่ (Frequency Synthesizer) ป้อนสัญญาณเอฟเอ็มที่มีความถี่พาหะ 145 MHz มอดูเลทกับสัญญาณเบสแบนด์ 1kHz เข้าที่อินพุทของพรีแอมป์ แล้วใช้เครื่องวิเคราะห์สเปกตรัม (Spectrum Analyser) ดูสเปกตรัมที่เอาต์พุทของพรีแอมป์แต่ละชุดจะได้ผลดังรูปที่ 5.1 และรูปที่ 5.2

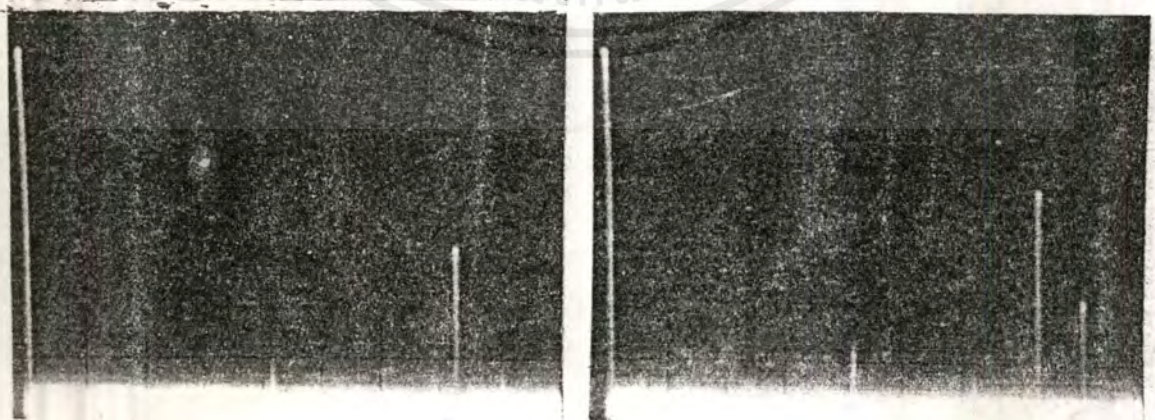


ก

ข

รูปที่ 5.1 ก. สเปกตรัมของสัญญาณเอฟเอ็มที่ป้อนเข้าที่อินพุทของพรีแอมป์ชุดที่ 1

ข. สเปกตรัมของสัญญาณเอฟเอ็มที่เอาต์พุทของพรีแอมป์ชุดที่ 1



ก

ข

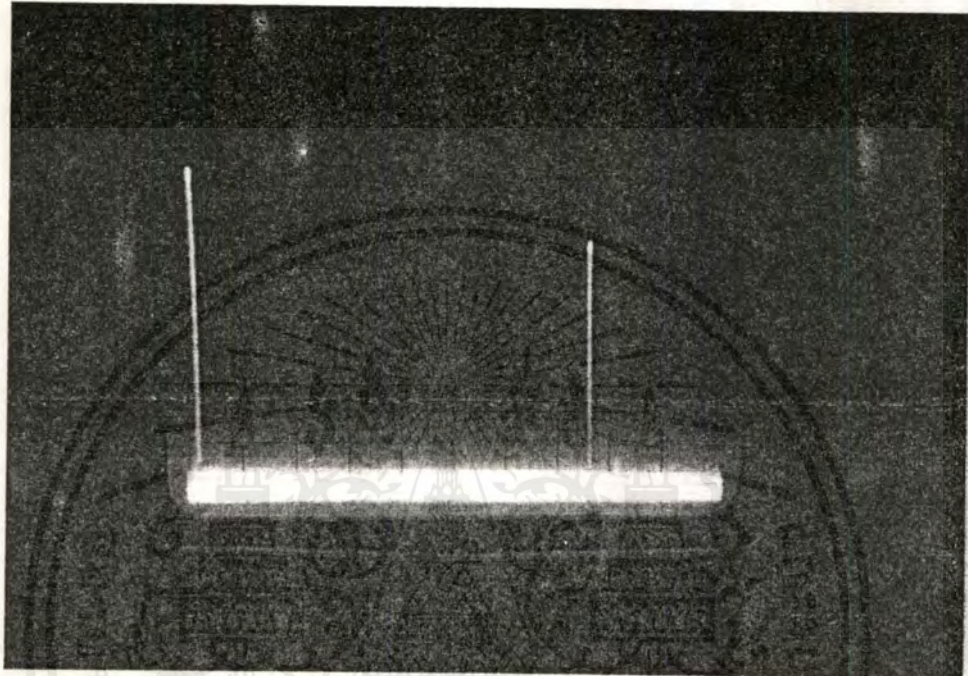
รูปที่ 5.2 ก. สเปกตรัมของสัญญาณเอฟเอ็มที่ป้อนเข้าที่อินพุทของพรีแอมป์ชุดที่ 2

ข. สเปกตรัมของสัญญาณเอฟเอ็มที่เอาต์พุทของพรีแอมป์ชุดที่ 2

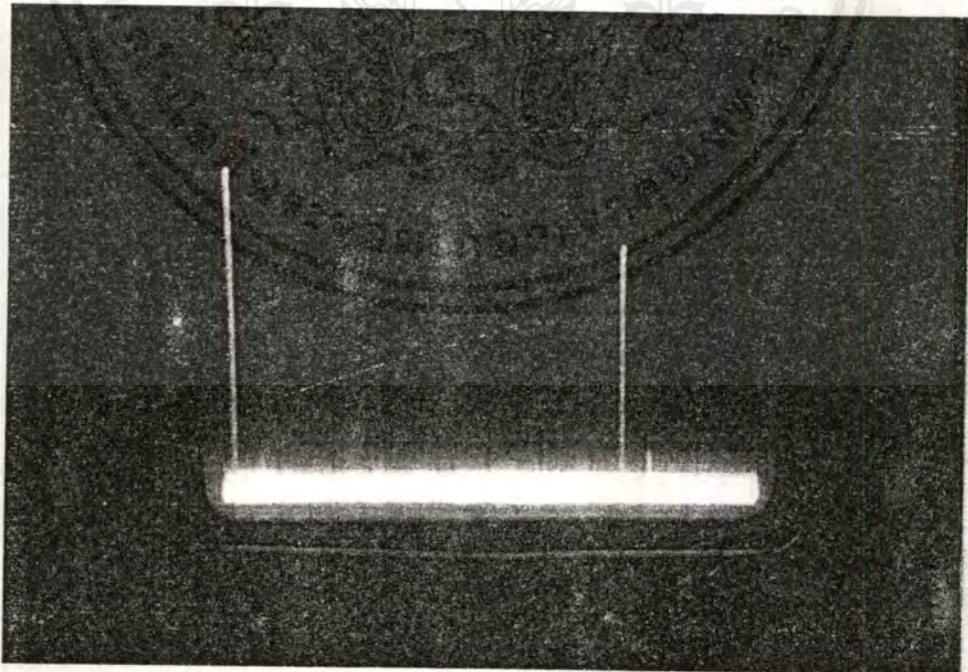
เอกสารนี้เป็นเอกสารสงวนลิขสิทธิ์ไว้สำหรับใช้เพื่อการศึกษาเท่านั้น ไม่อนุญาตให้นำไปเผยแพร่โดยไม่ได้รับอนุญาตจากศูนย์ด้านการค้า
ไม่ว่ากรณีใดๆ ทั้งสิ้น อีกทั้งห้ามทำซ้ำหรือดัดแปลงเนื้อหาและต้องอ้างอิงถึงแหล่งที่มาทุกครั้งที่มีการนำไปใช้

จากรูปที่ 5.1 และรูปที่ 5.2 วงจรฟรอนท์เอนด์ที่สร้างได้มีอัตราขยายประมาณ 12 dB เทียบกับค่าที่ได้จากการคำนวณต่างกันอยู่ 8 dB

2. ทำการวัดความถี่ของภาคโลคัลออสซิลเลเตอร์ภาคแรกโดยปรับ VR1 ให้ได้ค่าความถี่กลางประมาณ 155.7 MHz แล้วใช้เครื่องวิเคราะห์สเปกตรัมวัดที่ขา 20 ของไอซีเบอร์ MC3362 ของเครื่องรับแต่ละชุด จะได้ผลดังรูปที่ 5.3



ก)



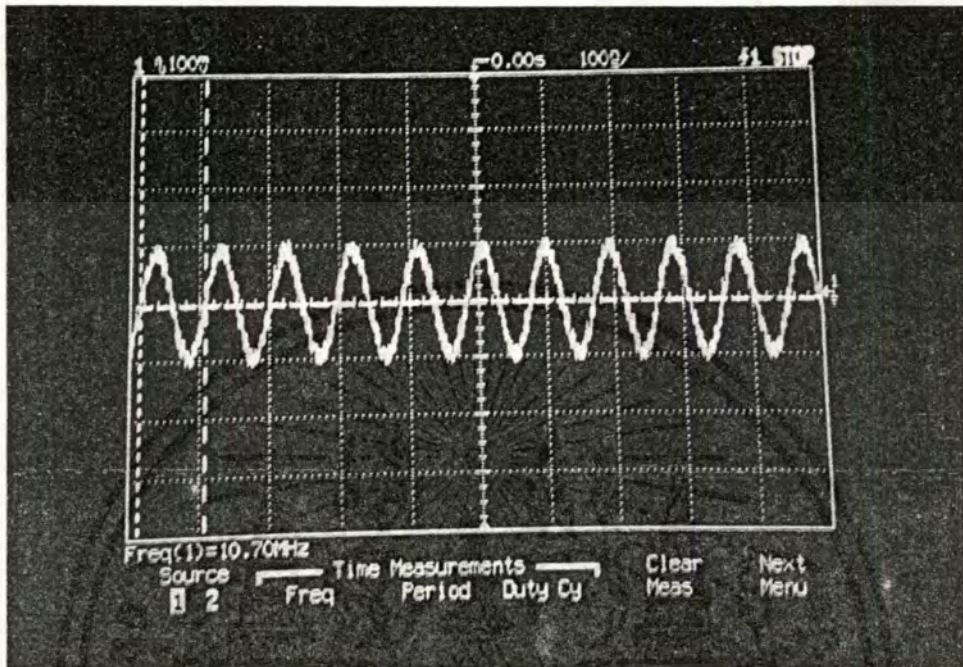
ข)

รูปที่ 5.3 ก. สเปกตรัมของภาคโลคัลออสซิลเลเตอร์ภาคแรกของเครื่องรับชุดที่ 1

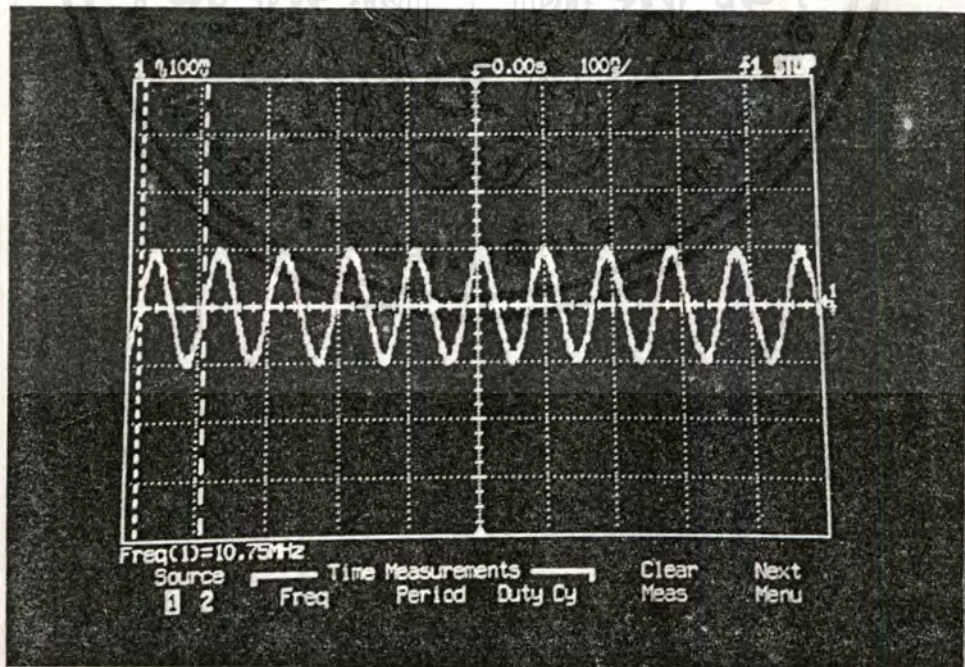
ข. สเปกตรัมของภาคโลคัลออสซิลเลเตอร์ภาคแรกของเครื่องรับชุดที่ 2

เอกสารนี้เป็นเอกสารที่สงวนไว้สำหรับการใช้งานเพื่อการศึกษาเท่านั้น เมื่อนำไปใช้ประโยชน์ด้านการค้า
*หมายเหตุ รูปผลการทดลองที่วัดด้วยเครื่องวิเคราะห์ความถี่ปรับสเกลไว้ที่ 20 MHz ต่อช่องในแบนวอนและ 10 dB ต่อช่องในแนวดิ่ง
ไม่ว่ากรณีใดๆ ทั้งสิ้น อีกทั้งห้ามมีเหตุดัดแปลงเนื้อหาและต้องอ้างอิงถึงเจ้าของเอกสารทุกครั้งที่มีการนำไปใช้

3. ทำการวัดเอาต์พุตของภาคมิกเซอร์ภาคแรก โดยใช้ออสซิลโลสโคปวัดที่ขา 17 ของไอซีเบอร์ MC3362 จะได้สัญญาณไอเอฟที่มีความถี่ประมาณ 10.7 MHz ดังรูปที่ 5.4



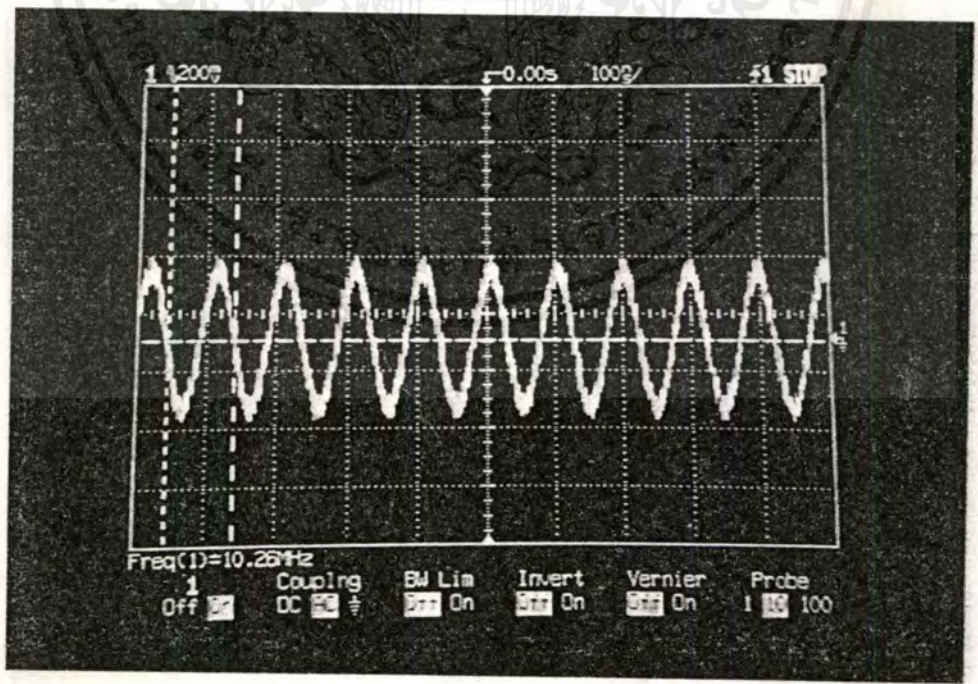
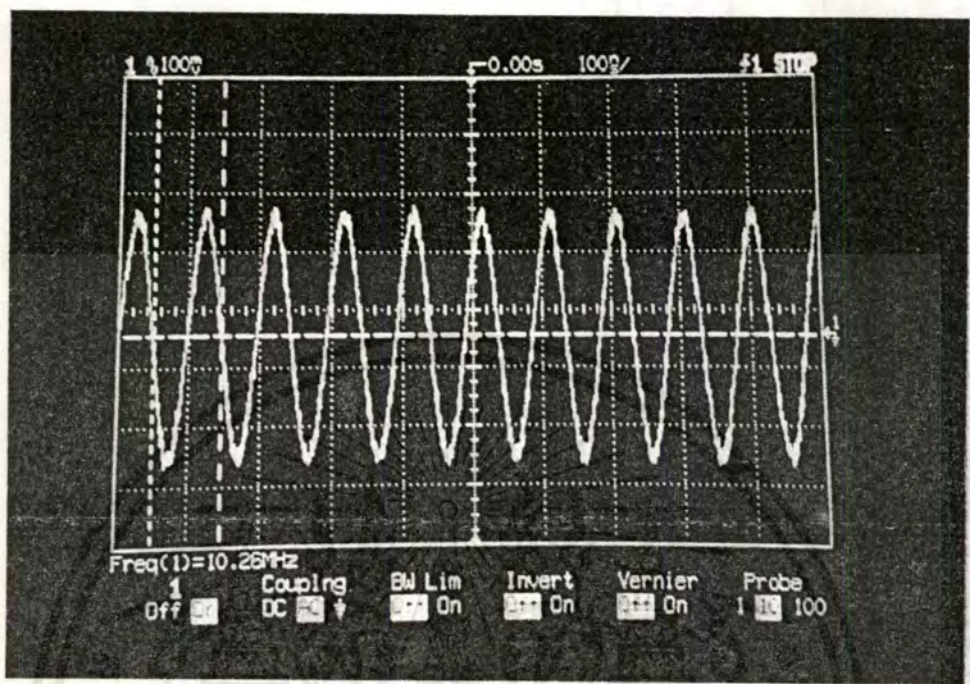
ก)



ข)

รูปที่ 5.4 ก. สัญญาณไอเอฟ 10.7 MHz ที่เป็นเอาต์พุตของมิกเซอร์ภาคแรกๆของเครื่องรับชุดที่ 1
 เอกสารนี้เป็นเอกสารสงวนลิขสิทธิ์ไว้เพื่อการใช้งานเท่านั้น ไม่อนุญาตให้นำไปใช้ในเชิงพาณิชย์ด้านการค้า
 ข. สัญญาณไอเอฟ 10.7 MHz ที่เป็นเอาต์พุตของมิกเซอร์ภาคแรกๆของเครื่องรับชุดที่ 2
 ไม่ว่าจะกรณีใดๆ ทั้งสิ้น อีกทั้งห้ามมิให้ตัดแปลงเนื้อหาและต้องอ้างอิงถึงเจ้าของเอกสารทุกครั้งที่มีการนำไปใช้

4. ทำการวัดความถี่ของภาคโลคัลออสซิลเลเตอร์ภาคที่สองโดยใช้ออสซิลโลสโคปวัดที่ขา 4 ของไอซีเบอร์ MC3362 จะได้สัญญาณดังรูปที่ 5.5

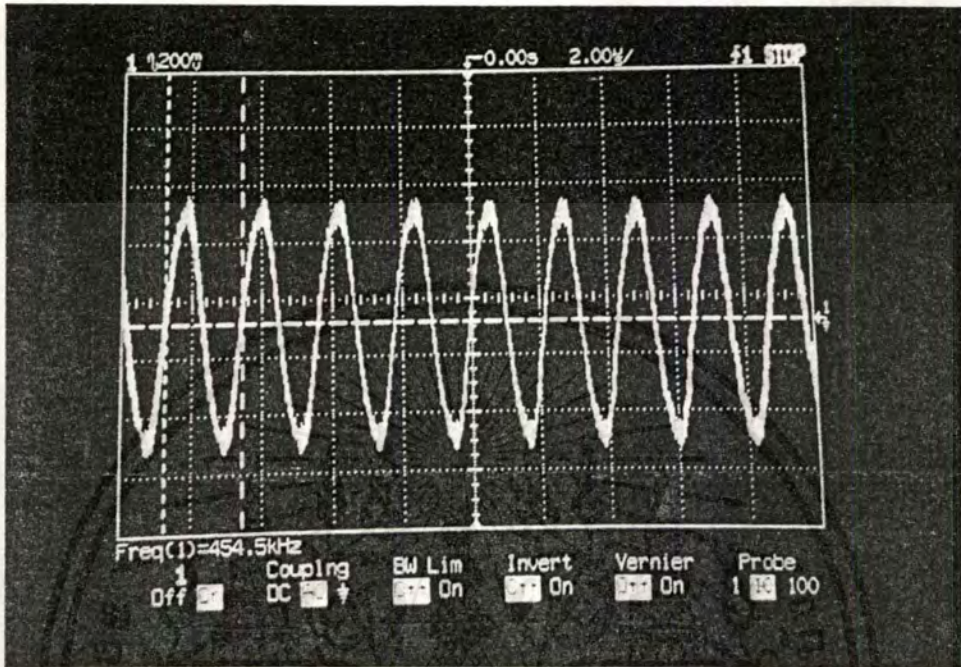


(ข)

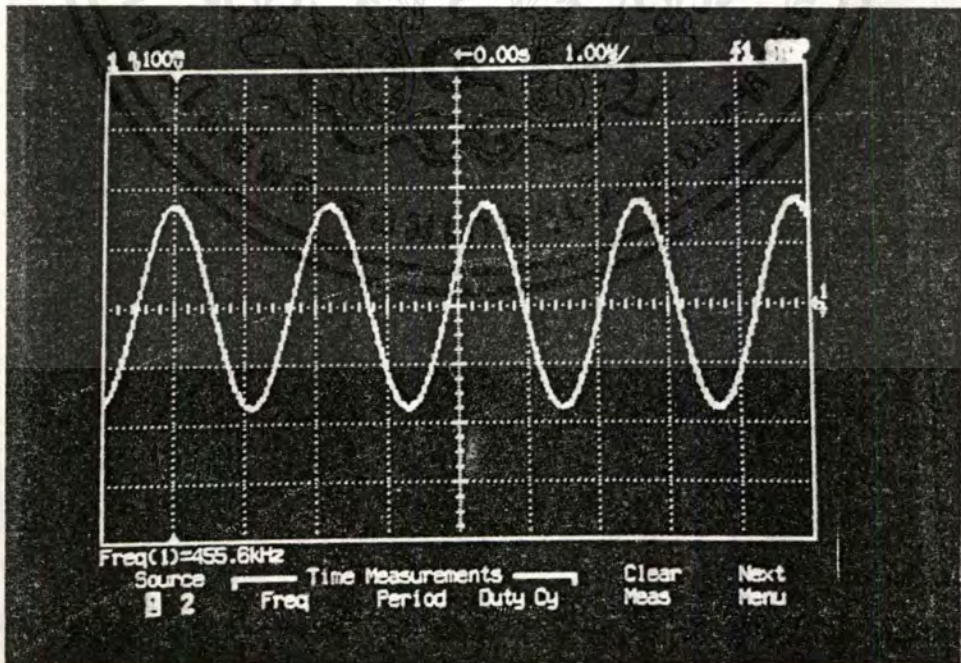
รูปที่ 5.5 ก. สัญญาณของภาคโลคัลออสซิลเลเตอร์ภาคที่สองของเครื่องรับชุดที่ 1

เอกสารนี้เป็นเอกสารที่สงวนลิขสิทธิ์ของสถาบันเทคโนโลยีพระจอมเกล้าเจ้าคุณทหารลาดกระบัง
ข. สัญญาณของภาคโลคัลออสซิลเลเตอร์ภาคที่สองของเครื่องรับชุดที่ 2 โยชน์ด้านการค้า
ไม่ว่ากรณีใดๆ ทั้งสิ้น อีกทั้งห้ามมิให้คัดแปลงเนื้อหาและต้องอ้างอิงถึงเจ้าของเอกสารทุกครั้งที่มีการนำไปใช้

5. ทำการวัดเอาต์พุตของภาคมิกเซอร์ภาคที่สอง โดยใช้ออสซิลโลสโคปวัดที่ขา 6 ของไอซีเบอร์ MC3362 จะได้สัญญาณไอเอฟที่มีความถี่ประมาณ 455 kHz ดังรูปที่ 5.6



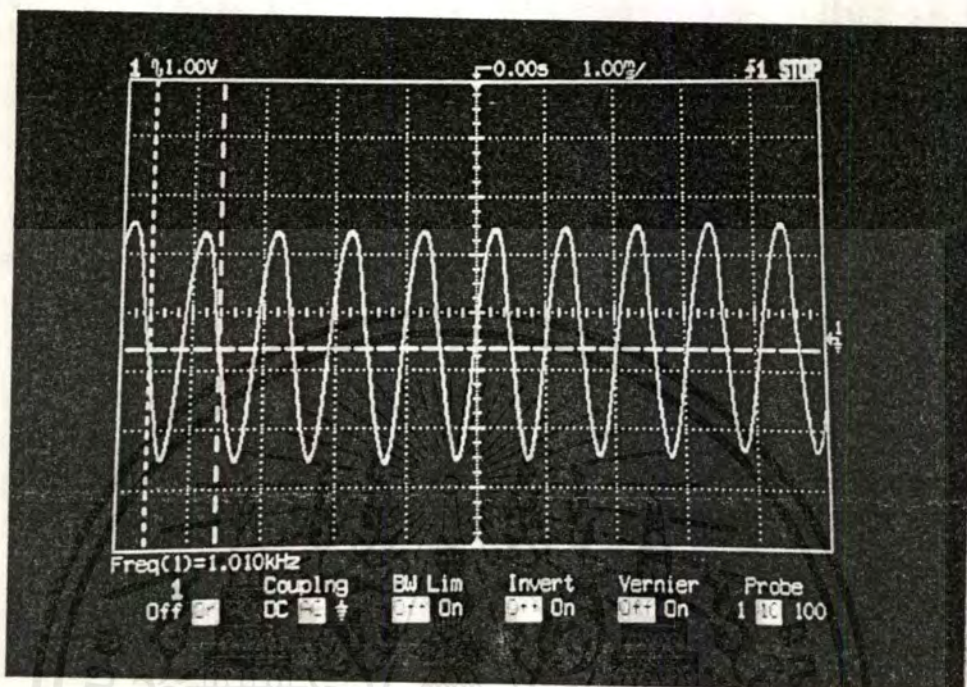
(ก)



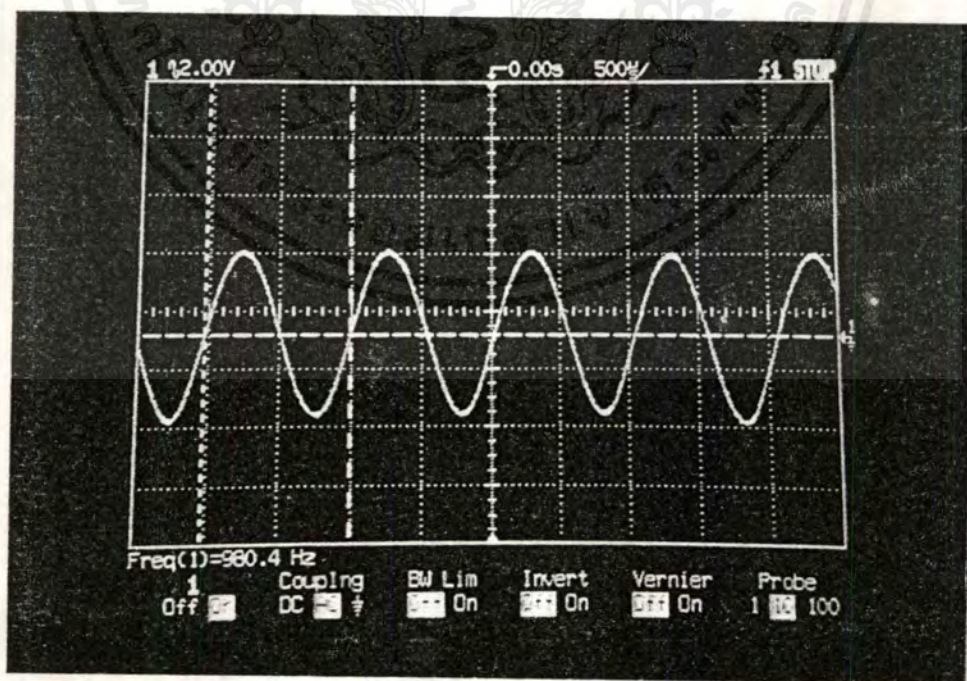
(ข)

รูปที่ 5.6 ก. สัญญาณไอเอฟ 455 kHz ที่เป็นเอาต์พุตของมิกเซอร์ภาคที่สองของเครื่องรับชุดที่ 1
 เอกสารนี้เป็นเอกสารที่สงวนไว้สำหรับการใช้งานเพื่อการศึกษาเท่านั้น ไม่อนุญาตให้นำไปใช้ประโยชน์ด้านการค้า
 ข. สัญญาณไอเอฟ 455 kHz ที่เป็นเอาต์พุตของมิกเซอร์ภาคที่สองของเครื่องรับชุดที่ 2
 ไม่ว่าจะกรณีใดๆ ทั้งสิ้น อีกทั้งห้ามมิให้ตัดแปลงเนื้อหาและต้องอ้างอิงถึงเจ้าของเอกสารทุกครั้งที่มีการนำไปใช้

6. ทำการวัดเอาต์พุตของภาคตีเทกสัญญาณเบสแบนด์โดยใช้ออสซิลโลสโคปวัดที่ขา 13 ของไอซีเบอร์ MC3362 จะได้สัญญาณเบสแบนด์ 1 kHz ดังรูปที่ 5.7



(ก)

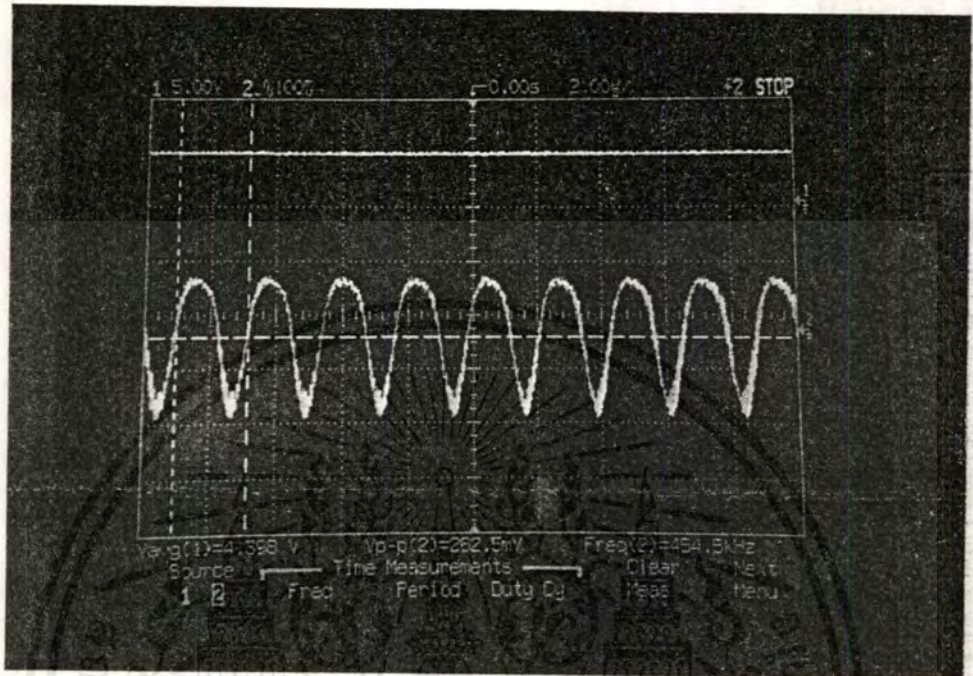


(ข)

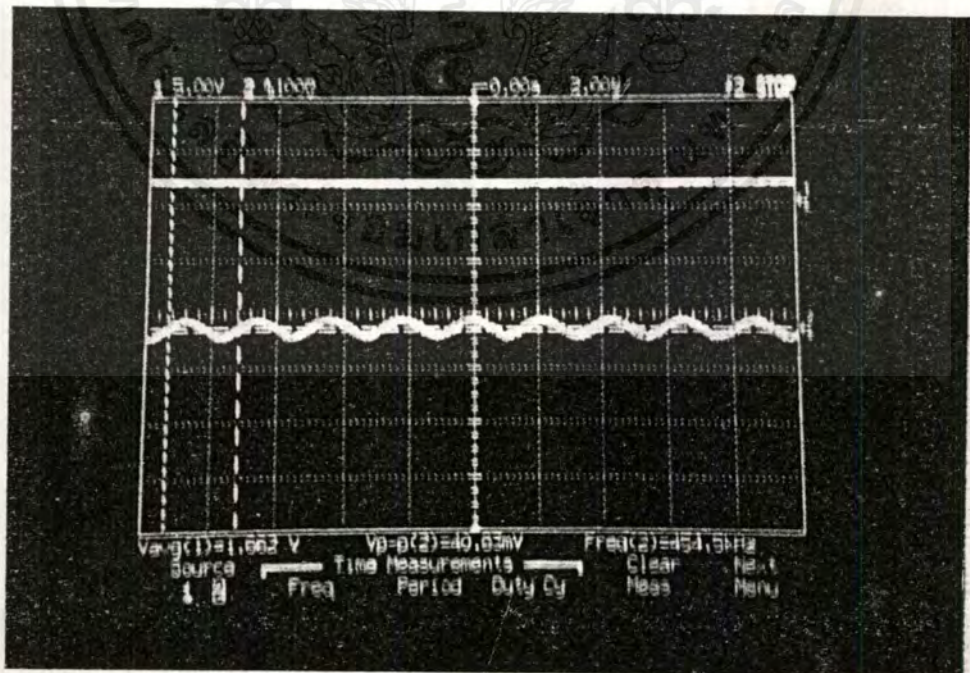
รูปที่ 5.7 ก. สัญญาณเบสแบนด์ที่เอาต์พุตของภาคตีเทกสัญญาณเสียงของเครื่องรับชุดที่ 1

เอกสารนี้เป็นเอกสารที่สงวนลิขสิทธิ์ของสถาบันเทคโนโลยีพระจอมเกล้าเจ้าคุณทหารลาดกระบัง ไม่สามารถนำเนื้อหาไปใช้ประโยชน์ด้านการค้าไม่ว่ากรณีใดๆ ทั้งสิ้น อีกทั้งห้ามมิให้ตัดแปลงเนื้อหาและต้องอ้างอิงถึงเจ้าของเอกสารทุกครั้งที่มีการนำไปใช้

ส่วนของการทดสอบวงจรแปลงสัญญาณไอเอฟเป็นระดับไฟตรงนั้นปรากฏว่าสามารถทำงานได้ตามต้องการคือถ้าปรับสัญญาณอินพุทของภาครับเข้าแรง ๆ ระดับไฟตรงก็จะมีระดับสูงและเมื่อปรับสัญญาณอินพุทของภาครับเข้ามาค่อย ๆ ระดับไฟตรงก็จะมีระดับต่ำ ๆ ดังรูปที่ 5.8



(ก)



(ข)

รูปที่ 5.8 แสดงผลการแปลงสัญญาณไอเอฟเป็นระดับไฟตรง

เอกสารนี้เป็นเอกสารที่สงวนไว้สำหรับนักศึกษาชั้นปีที่ ๑ ของมหาวิทยาลัยเทคโนโลยีพระจอมเกล้าธนบุรี ไม่อนุญาตให้นำไปใช้ประโยชน์ด้านการค้าไม่ว่ากรณีใดๆ ทั้งสิ้น อีกทั้งห้ามมิให้คัดลอกหรือเผยแพร่เอกสารนี้โดยไม่ได้รับอนุญาตจากเจ้าของเอกสารทุกครั้งที่มีการนำไปใช้

5.2 สายอากาศแบบ ZL สเปซียลที่สร้างขึ้น

เนื่องจากสายอากาศที่ใช้เป็นสายอากาศที่สร้างขึ้นเอง ดังนั้นจึงต้องมีการทดสอบรูปแบบการรับคลื่นของสายอากาศแต่ละชุด โดยการทดสอบแบบสนามไฟฟ้าระยะไกล (Far Field) จะได้รูปแบบการรับคลื่นของสายอากาศตัวที่ 1 และ 2 ดังแสดงในรูปที่ 5.9 และ 5.10 ตามลำดับ

นอกจากรูปแบบการรับคลื่นแล้ว ยังมีคุณสมบัติที่สำคัญของสายอากาศที่สำคัญอย่างหนึ่งคืออัตราส่วนคลื่นนิ่ง (SWR:Standing Wave Ratio) ซึ่งได้ทำการวัดค่า SWR ของสายอากาศทั้งสองตัวด้วยเครื่องเนทเวิร์คแอนาไลเซอร์ (Network Analyser) ซึ่งสายอากาศตัวที่ 1 ได้ค่า SWR 1 : 1.1412 ส่วนสายอากาศตัวที่ 2 ได้ค่า SWR 1 : 1.1059 ดังรูปที่ 5.11 และ 5.12 ตามลำดับ

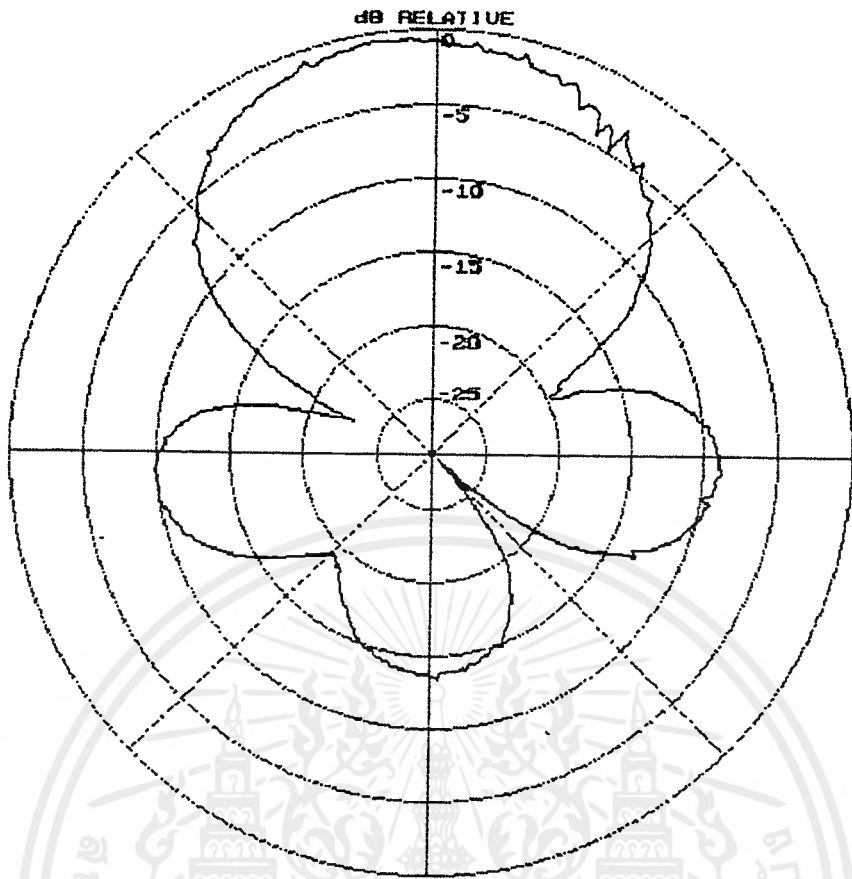
5.3 ทดสอบการทำงานของระบบที่สมบูรณ์

การทดสอบการทำงานของระบบค้นหาตำแหน่งด้วยคลื่นวิทยุที่สมบูรณ์ เริ่มต้นด้วยการจัดเตรียมต่ออุปกรณ์ต่าง ๆ ของระบบเข้ากันจนเรียบร้อยโดยสายอากาศทั้งสองชุดวางห่างกัน 10 เมตร จากนั้นใช้เครื่องกำเนิดสัญญาณที่มีความถี่ 145 MHz เป็นเป้าหมายส่งสัญญาณออกจากสายอากาศส่ง แล้วสั่งให้ระบบทำการหมุนสายอากาศรับของระบบทั้งสองข้างเพื่อค้นหาตำแหน่งของเป้าหมาย โดยทดลองเปลี่ยนตำแหน่งของเป้าหมายไปตามจุดต่างๆ เท่าที่จะทำได้ แล้วดูผลลัพธ์ตำแหน่งเป้าหมายที่หาได้ ณ จุดต่างๆ ซึ่งให้ผลดังนี้

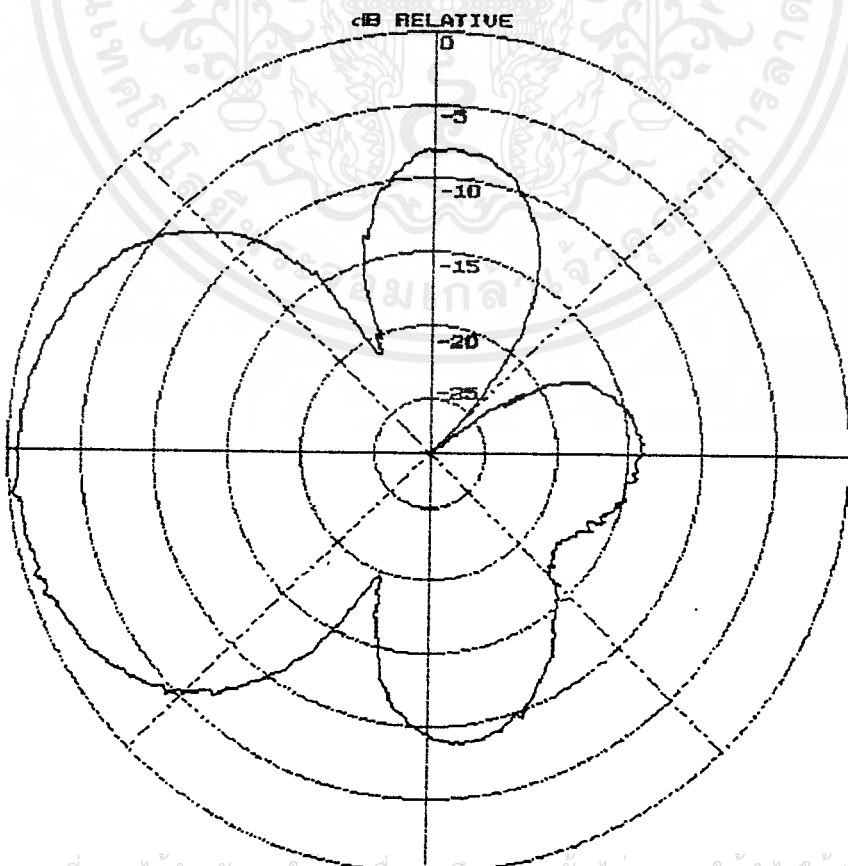
- ถ้าเป้าหมายอยู่ภายในรัศมี 10 เมตรผลลัพธ์ตำแหน่งเป้าหมายที่ได้จะมีความผิดพลาดค่อนข้างมาก

- ถ้าตำแหน่งเป้าหมายอยู่ในช่วงมุมกวาดประมาณ ± 20 องศาของสายอากาศที่อยู่ใกล้เป้าหมายผลลัพธ์ตำแหน่งเป้าหมายที่หาได้ก็มีความผิดพลาดมากเช่นกัน

- ถ้าเป้าหมายอยู่ในตำแหน่งอื่นนอกเหนือจากสองบริเวณข้างบน ผลลัพธ์ตำแหน่งเป้าหมายที่ได้จะมีค่าใกล้เคียงกับตำแหน่งจริงพอสมควร ในที่นี้ได้เก็บผลในกรณีที่เป้าหมายอยู่ห่างจากสายอากาศรับทั้งสองชุด 15 เมตร ซึ่งเป็นกรณีที่ให้ผลลัพธ์ตำแหน่งเป้าหมายได้ใกล้เคียงที่สุด รูปแบบของคลื่นที่รับได้จากเป้าหมายโดยสายอากาศทั้งสองชุดในกรณีนี้แสดงดังรูปที่ 5.13 และผลลัพธ์ในการคำนวณหาตำแหน่งของเป้าหมายแสดงได้ดังรูปที่ 5.14



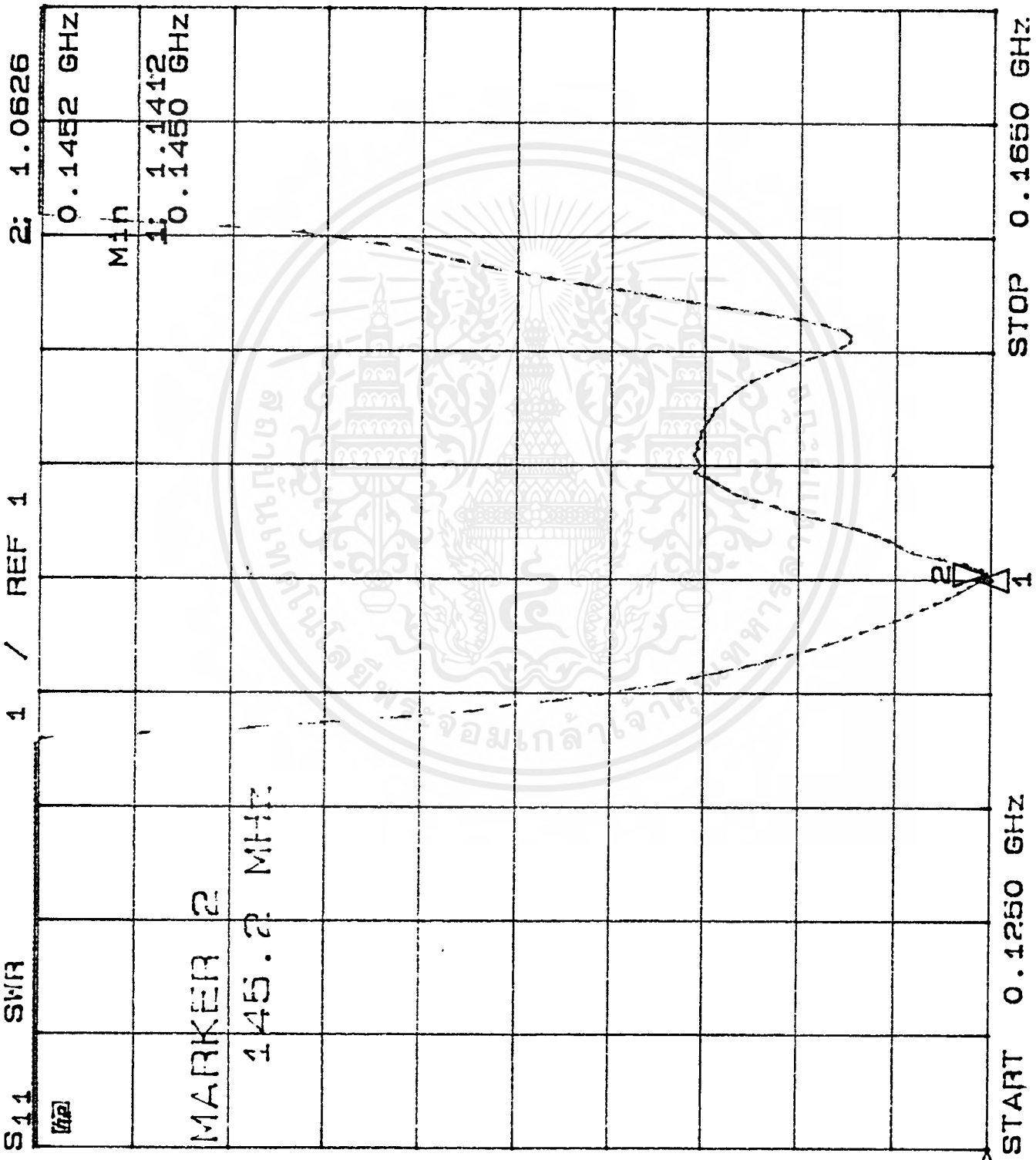
รูปที่ 5.9 รูปแบบการรับคลื่นของสายอากาศตัวที่ 1



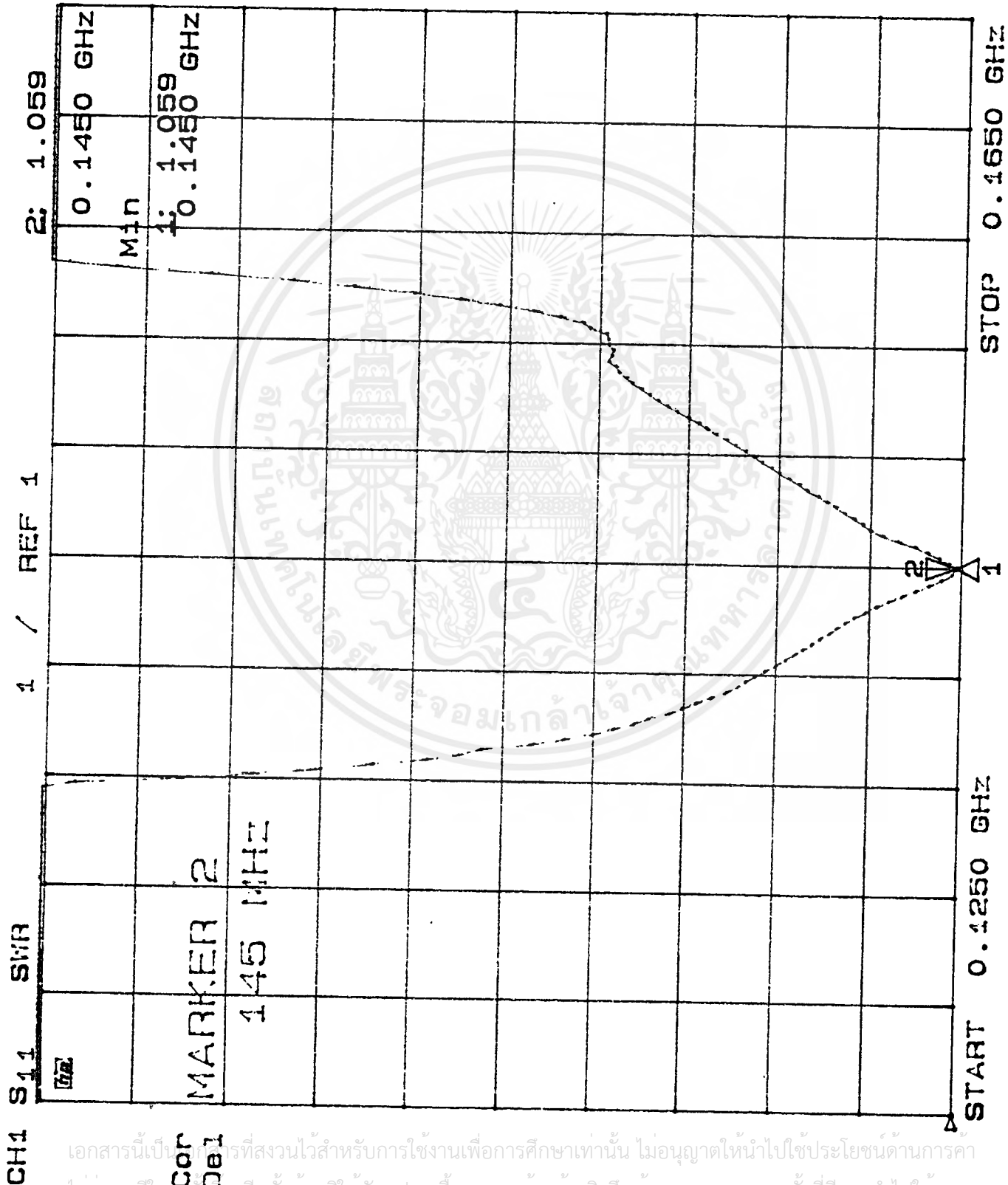
รูปที่ 5.10 รูปแบบการรับคลื่นของสายอากาศตัวที่ 2

เอกสารนี้เป็นเอกสารที่สงวนไว้สำหรับการใช้งานเพื่อการศึกษาเท่านั้น ไม่อนุญาตให้นำไปใช้ประโยชน์ด้านการค้า
ไม่ว่ากรณีใดๆ ทั้งสิ้น อีกทั้งห้ามมีเหตุดัดแปลงเนื้อหาและต้องอ้างอิงถึงชื่อของเอกสารทุกครั้งที่มีการนำไปใช้

รูปที่ 5.11
ค่า SWR ของสายอากาศ
ตัวที่ 1 ที่วัดได้



เอกสารนี้เป็นทรัพย์สินของมหาวิทยาลัยเทคโนโลยีพระจอมเกล้าธนบุรี ไม่อนุญาตให้นำไปใช้ประโยชน์ด้านการค้า
ไม่ว่ากรณีใดๆ อีกทั้งห้ามมิให้ตัดแปลงเนื้อหาและต้องอ้างอิงถึงเจ้าของเอกสารทุกครั้งที่มีการนำไปใช้

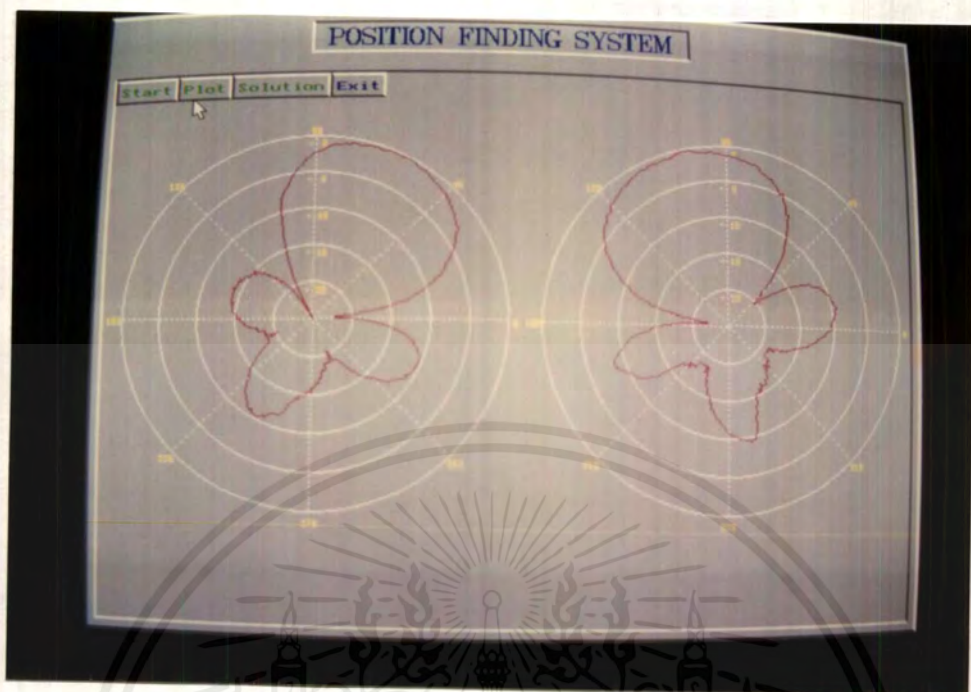


รูปที่ 5.12

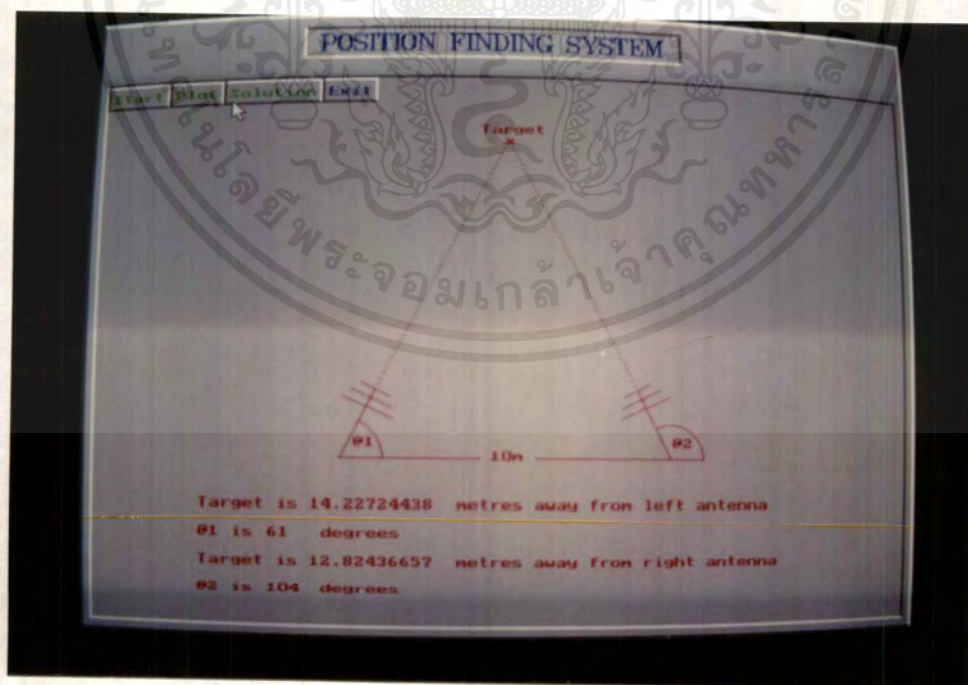
ค่า SWR ของสายอากาศ

ตัวที่ 2 ที่วัดได้

เอกสารนี้เป็นทรัพย์สินของมหาวิทยาลัยเทคโนโลยีพระจอมเกล้าธนบุรี ไม่อนุญาตให้นำไปใช้ประโยชน์ด้านการค้า
 ไม่ว่ากรณีใดๆทั้งสิ้น อีกทั้งห้ามมิให้ตัดแปลงเนื้อหาและต้องอ้างอิงถึงเจ้าของเอกสารทุกครั้งที่มีการนำไปใช้



รูปที่ 5.13 หน้าจอแสดงรูปแบบของคลื่นที่รับได้โดยสายอากาศทั้งสองข้างจากเป้าหมายในการทดลอง



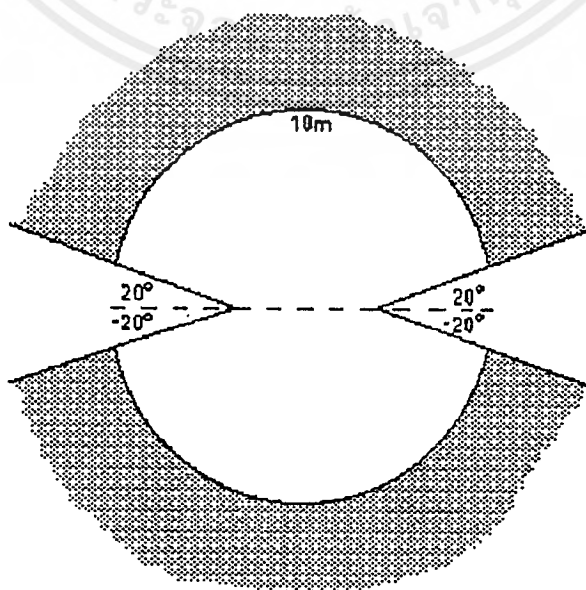
รูปที่ 5.14 หน้าจอแสดงตำแหน่งของเป้าหมายที่คำนวณได้จากการทดลอง

เอกสารนี้เป็นเอกสารที่สงวนไว้สำหรับการใช้งานเพื่อการศึกษาเท่านั้น ไม่อนุญาตให้นำไปใช้ประโยชน์ด้านการค้า ไม่ว่าจะกรณีใดๆ ทั้งสิ้น อีกทั้งห้ามมิให้ตัดแปลงเนื้อหาและต้องอ้างอิงถึงเจ้าของเอกสารทุกครั้งที่มีการนำไปใช้

บทที่ 6
บทสรุปและวิจารณ์

จากผลการทดสอบการทำงานของวงจรและอุปกรณ์แต่ละส่วน สรุปผลได้ดังนี้

1. วงจรขับมอเตอร์หมุนสายอากาศสามารถทำงานได้ตามต้องการอย่างมีประสิทธิภาพ
 2. วงจรอินเตอร์เฟสสามารถทำงานได้ตามต้องการอย่างมีประสิทธิภาพ และทำงานได้สอดคล้องกับซอฟต์แวร์ที่เขียนขึ้น
 3. วงจรเครื่องรับทั้งสองชุดทำงานได้ดีพอสมควร โดยเครื่องรับชุดที่ 1 และ 2 มีค่าความไวในการรับสัญญาณที่ -90 dBm และ -70 dBm ตามลำดับ
 4. วงจรฟรอนต์เอนด์ที่สร้างขึ้นนั้นให้ผลในการขยายสัญญาณต่ำกว่าที่คำนวณออกแบบไว้พอสมควร ทั้งนี้เพราะค่าพารามิเตอร์ที่ใช้ในการคำนวณใช้ค่าโดยทั่วไป (Typical) ซึ่งอาจไม่แม่นยำ เช่น อัตราขยายกระแสภายใน (β) ของทรานซิสเตอร์ นอกจากนี้ยังอาจมีผลเนื่องจากคาปาซิแตนซ์แฝงหรือค่าอินดักแตนซ์แฝง ซึ่งมักเกิดขึ้นในวงจรความถี่สูง ทำให้เกิดการลดทอนของวงจรขยายได้ แต่อย่างไรก็ตามก็สามารถขยายสัญญาณได้พอสมควร
 5. วงจรแปลงสัญญาณไอเอฟเป็นระดับไฟตรงสามารถทำงานได้ถูกต้อง แต่ความแรงของสัญญาณต้องไม่เกิน 262 mV_{pp} จึงจะได้ผลถูกต้อง
 6. สายอากาศสายากแบบ ZL สเปซเฟลทั้งสองชุด ให้อัตราส่วนคลื่นนิ่งค่อนข้างต่ำใช้ได้ แต่รูปแบบการรับคลื่นจากที่ทดสอบได้ยังไม่ค่อยดีนัก เพราะมีมวลหลักยังกว้างมาก แต่ก็พอใช้งานตามต้องการได้
- และจากผลที่ได้จากการทดลองทำการค้นหาตำแหน่งของเครื่องส่งเป้าหมาย ปรากฏว่าจะให้ผลใกล้เคียงเมื่อเป้าหมายอยู่นอกรัศมีประมาณ 10 เมตรขึ้นไปและต้องอยู่นอกวงมุกมุกวาดประมาณ ± 20 องศาของสายอากาศที่อยู่ใกล้เป้าหมาย ซึ่งแสดงได้ดังรูปที่ 6.1



เอกสารนี้เป็นเอกสารที่สงวนไว้สำหรับการใช้งานเพื่อการศึกษาเท่านั้น ไม่อนุญาตให้นำไปใช้ประโยชน์ด้านการค้าไม่ว่ากรณีใดๆ ทั้งสิ้น รูปที่ 6.1 แสดงบริเวณที่ระบบสามารถค้นหาตำแหน่งของเป้าหมายได้ ครั้งที่มีการนำไปใช้

จากรูปที่ 8.1 บริเวณที่แรงไอคือบริเวณที่ระบบค้นหาตำแหน่งที่สร้างขึ้นสามารถค้นหาตำแหน่งของเป้าหมายได้ใกล้เคียงที่สุด แต่ถ้าเป้าหมายอยู่นอกบริเวณนี้ผลที่ได้จะไม่ใกล้เคียงหรืออาจจะผิดพลาดไม่สามารถหาตำแหน่งได้เลย เหตุที่รัศมีในการทำงานมีข้อจำกัดสอดคล้องกับข้อสรุปที่กล่าวไว้ในข้อ 5. คือถ้าเครื่องส่งเป้าหมายอยู่ใกล้กว่านี้ สัญญาณไอเอฟทีได้จะแรงเกินไป ทำให้วงจรขยายก่อนแปลงเป็นไฟตรงเกิดการอิ่มตัว เมื่อแปลงเป็นไฟตรงจะไม่ได้ระดับที่ถูกต้อง ส่วนสาเหตุที่ช่วงมุมกวาดบางส่วนไม่สามารถหาเป้าหมายได้นั้นก็สอดคล้องกับข้อสรุปที่กล่าวไว้ในข้อ 6. คือมีมุมหลักของสายอากาศกว้างมาก เมื่อสายอากาศทั้งสองข้างชี้ไปเป็นมุมใกล้เคียงกัน ทิศที่รับสัญญาณได้แรงสุดของสายอากาศทั้งสองอาจไม่ชี้มาต่อกัน ทำให้ซอฟต์แวร์ไม่สามารถคำนวณได้

เนื่องจากโครงการนี้เป็นเพียงการทดลองสร้างเพื่อศึกษาแนวทางและความเป็นไปได้ของระบบค้นหาตำแหน่งด้วยคลื่นวิทยุ ซึ่งจากผลการทำงานของระบบที่สร้างขึ้นก็เป็นไปตามแนวทางที่น่าพอใจแต่อาจจะไม่ดีนัก ทั้งนี้เพราะอุปกรณ์ส่วนใหญ่จะสร้างขึ้นเองเพื่อประหยัดค่าใช้จ่าย ซึ่งประสิทธิภาพอาจด้อยไปบ้างถ้าจะนำไปพัฒนาให้ใช้งานได้จริง ควรจะเพิ่มประสิทธิภาพของสายอากาศและวงจรเครื่องรับ โดยอาจจะใช้ของที่มีขายตามท้องตลาดที่ได้มาตรฐาน ส่วนวงจรส่วนอื่น ๆ สามารถใช้ตามโครงการนี้ได้เลย เพราะมีประสิทธิภาพดีแล้ว

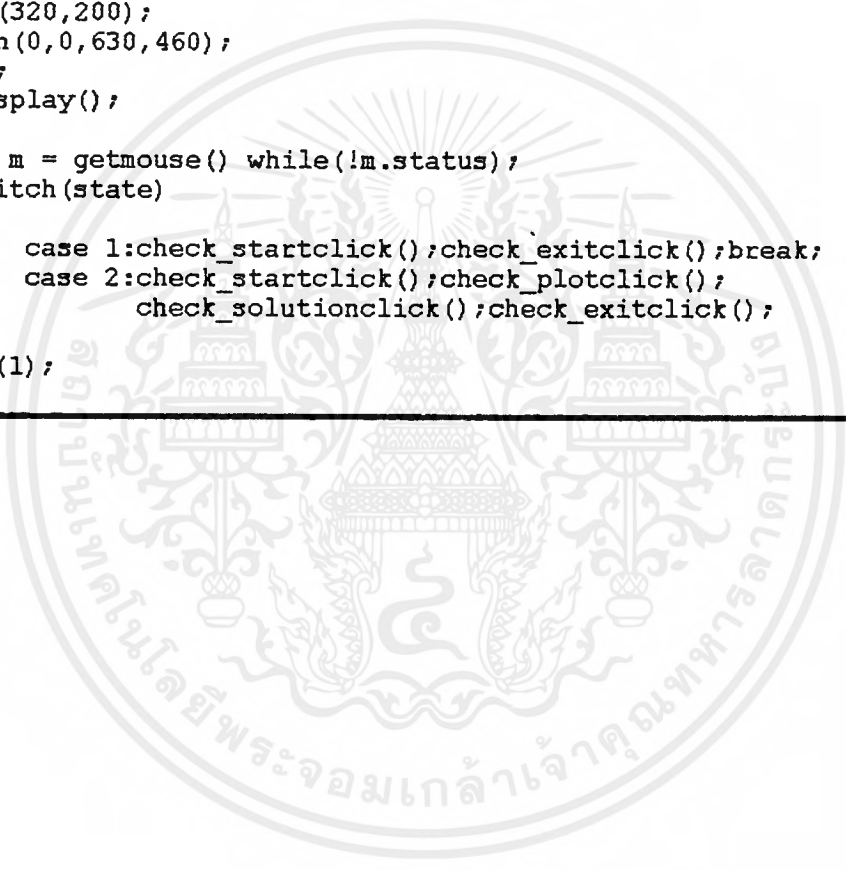
ในโครงการนี้ใช้สายอากาศสองชุดในการกวาดหมุนรับคลื่นจากเป้าหมาย จะมีข้อเสียคือเมื่อเป้าหมายอยู่ในแนวเดียวกันกับสายอากาศทั้งสองชุด จะไม่สามารถหาเป้าหมายได้ เพราะจะไม่มีจุดตัดตามหลักการในหัวข้อ 2.1 แนวทางที่น่าศึกษาและพัฒนาโครงการนี้ต่อไปคือทดลองเพิ่มสายอากาศเป็นสามชุดวางเป็นมุมฉาก แล้วจับคู่สายอากาศทีละสองชุดโดยใช้หลักการคำนวณเหมือนเดิม จะสามารถแก้ไขข้อเสียข้างต้นได้ และควรปรับปรุงให้ระบบสามารถปรับเลือนหาความถี่ของเป้าหมายได้ เพื่อให้สามารถใช้งานได้กว้างขึ้น นอกจากนี้ควรเพิ่มส่วนลดทอนความแรงของสัญญาณในกรณีที่เป้าหมายอยู่ใกล้เกินไปด้วย



เอกสารนี้เป็นเอกสารที่สงวนไว้สำหรับการใช้งานเพื่อการศึกษาเท่านั้น ไม่อนุญาตให้นำไปใช้ประโยชน์ด้านการค้า
ไม่ว่ากรณีใดๆ ทั้งสิ้น อีกทั้งห้ามมิให้ตัดแปลงเนื้อหาและต้องอ้างอิงถึงเจ้าของเอกสารทุกครั้งที่มีการนำไปใช้

โปรแกรมที่ 1 'userscreen.c' เป็นโปรแกรมหลักของระบบ(สอดคล้องกับแผนภูมิการไหลรูปที่ 4.1)

```
#include <conio.h>
#include <stdio.h>
#include <graphics.h>
#include <dos.h>
#include "click.c"
void main()
{
    int gdriver=DETECT,gmode;
    registerbgidriver(EGAVGA_driver);
    initgraph(&gdriver,&gmode,"");
    if(!mouse_installed())
    {
        closegraph();
        printf("Error resetting mouse\n");
        exit(1);
    }
    setmouse(320,200);
    setregion(0,0,630,460);
    screen();
    mouse_display();
    do{
        do m = getmouse() while(!m.status);
        switch(state)
        {
            case 1:check_startclick();check_exitclick();break;
            case 2:check_startclick();check_plotclick();
                check_solutionclick();check_exitclick();
        }
    }while(1);
}
```



โปรแกรมที่ 2 "click.c" เป็นโมดูลตรวจสอบการคลิก

```
#include<graphics.h>
#include "isr.c"
#include "plotpola.c"
#include "process.c"
#include "blk&bt.c"
#include "grapmous.c"
struct MOUSETYPE m;
int state=1;
void stop(void);
void click_plot(void);
void click_solution(void);
void check_startclick(void);
void check_plotclick(void);
void check_solutionclick(void);
void check_exitclick(void);
/*****/
void click_start(void)
{
    mouse_hide();
    button(25,67,"Start",5,8,8,15);
    button(74,67,"Plot",4,8,15,8);
    button(115,67,"Solution",8,8,15,8);
    button(188,67,"Exit",4,8,15,8);
    mouse_display();
    setcolor(7);
    bar(20,80,619,459);
    setcolor(4);
    outtextxy(200,180,"System is scanning for a target");
    outtextxy(140,220,"Plese wait or Press stop to cancle scanning
process");
    getdata();
    stop();
}
void stop(void)
{
    mouse_hide();
    button(25,67,"Start",5,2,15,8);
    button(74,67,"Plot",4,2,15,8);
    button(115,67,"Solution",8,2,15,8);
    button(188,67,"Exit",4,1,15,8);
    mouse_display();
    setcolor(7);
    bar(130,150,600,280);
    setcolor(4);
    outtextxy(100,160,"Press 'Start' to rescan again");
    outtextxy(100,180,"Press 'Plot' to see radiation pattern of the two
antennas");
    outtextxy(100,200,"Press 'Solution' to show solution of position
finding");
    state=2;
}
void click_plot(void)
{
    mouse_hide();
    button(74,67,"Plot",4,2,8,15);delay(50);
    button(74,67,"Plot",4,2,15,8);
    mouse_display();
    setcolor(7);
    bar(20,80,620,459);
    polargraph(175,250,140);
    polargraph(480,250,140);
    plot();
}
```

เอกสารนี้เป็นเอกสารที่สงวนไว้สำหรับการใช้งานเพื่อการศึกษาเท่านั้น ไม่อนุญาตให้นำไปใช้หรือเผยแพร่ซ้ำ

ไม่ว่ากรณีใดๆ ทั้งสิ้น อีกทั้งห้ามมิให้ตัดแปลงเนื้อหาและต้องอ้างอิงถึงเจ้าของเอกสารทุกครั้งที่มีการนำไปใช้

```

void click_solution(void)
{
    mouse_hide();
    button(115,67,"Solution",8,2,8,15);delay(50);
    button(115,67,"Solution",8,2,15,8);
    mouse_display();
    setcolor(7);
    bar(20,80,627,459);
    setcolor(4);
    solve();
}
void check_startclick(void)
{
    if((m.x>=22)&&(m.x<=66)&&(m.y>=62)&&(m.y<=77))
    {
        click_start();
    }
}
void check_plotclick(void)
{
    if((m.x>=71)&&(m.x<=107)&&(m.y>=62)&&(m.y<=77))
    {
        click_plot();
    }
}
void check_solutionclick(void)
{
    if((m.x>=112)&&(m.x<=180)&&(m.y>=62)&&(m.y<=77))
    {
        click_solution();
    }
}
void check_exitclick(void)
{
    if((m.x>=185)&&(m.x<=221)&&(m.y>=62)&&(m.y<=77))
    {
        mouse_hide();
        closegraph();
        exit(1);
    }
}

```

เอกสารนี้เป็นเอกสารที่สงวนไว้สำหรับการใช้งานเพื่อการศึกษาเท่านั้น ไม่อนุญาตให้นำไปใช้ประโยชน์ด้านการค้า
ไม่ว่ากรณีใดๆ ทั้งสิ้น อีกทั้งห้ามมิให้ดัดแปลงเนื้อหาและต้องอ้างอิงถึงเจ้าของเอกสารทุกครั้งที่มีการนำไปใช้

โปรแกรมที่ 3 "isr.c" เป็นโปรแกรมย่อยการรับข้อมูลความแรงจากสายอากาศทั้งสองข้าง

```
#include <stdio.h>
#include <conio.h>
#include <dos.h>
#define vect1 10
#define vect2 14
void getdata(void);
void interrupt isr1(void);
void interrupt isr2(void);
void interrupt (*oldint1)(void);
void interrupt (*oldint2)(void);
volatile int data,portid=0;
FILE *datafile1,*datafile2;
/*ฟังก์ชัน getdata สอดคล้องกับแผนภูมิการไหลที่ 4.3*/
void getdata(void)
{
    int nl=0,nr=0;
    oldint1 = getvect(vect1);
    oldint2 = getvect(vect2);
    setvect(vect1,isr1);
    setvect(vect2,isr2);
    datafile1 = fopen("data1.dat","wb");
    datafile2 = fopen("data2.dat","wb");
    outportb(0x302,0x03); /*start rotating antenna*/
    do{
        switch(portid)
        {
            case 301:nl++;
                fwrite(&data,sizeof(data),1,datafile1);
                if(nl==360)
                    outportb(0x302,0x02); /*stop antenna #1*/
                    portid=0;
                    break;
            case 300:nr++;
                fwrite(&data,sizeof(data),1,datafile2);
                if(nr==360)
                    outportb(0x302,0x01); /*stop antenna #2*/
                    portid=0;
        }
    }while((nl<=360) || (nr<=360));
    outportb(0x302,0x00);
    fclose(datafile1);
    fclose(datafile2);
    outportb(0x302,0x0C); /*return to the first position*/
    do{
        switch(portid)
        {
            case 301:nl--;
                if(nl==0)
                    outportb(0x302,0x04);
                    portid=0;
                    break;
            case 300:nr--;
                if(nr==0)
                    outportb(0x302,0x08);
                    portid=0;
        }
    }while((nl>=0) || (nr>=0));
    outportb(0x302,0x00);
    setvect(vect1,oldint1);
    setvect(vect2,oldint2);
}
```

เอกสารนี้เป็นเอกสารที่สงวนไว้สำหรับการใช้งานเพื่อการศึกษาเท่านั้น ไม่อนุญาตให้นำไปใช้ประโยชน์ด้านการค้า

ไม่ว่ากรณีใดๆ ทั้งสิ้น อีกทั้งห้ามมิให้ตัดแปลงเนื้อหาและต้องอ้างอิงถึงเจ้าของเอกสารทุกครั้งที่มีการนำไปใช้

```

/*อินเทอร์รัพท์ฟังก์ชัน isr1 และ isr2 สอดคล้องกับแผนภูมิการไหลที่ 4.4 ก, ข ตามลำดับ*/
void interrupt isr1(void)          /*interrupt service routine 1*/
{
    data = inportb(0x301);
    portid = 301;
    oldint1();
}
void interrupt isr2(void)          /*interrupt service routine 2*/
{
    data = inportb(0x300);
    portid = 300;
    oldint2();
}

```



เอกสารนี้เป็นเอกสารที่สงวนไว้สำหรับการใช้งานเพื่อการศึกษาเท่านั้น ไม่อนุญาตให้นำไปใช้ประโยชน์ด้านการค้า ไม่ว่ากรณีใดๆ ทั้งสิ้น อีกทั้งห้ามมิให้ดัดแปลงเนื้อหาและต้องอ้างอิงถึงเจ้าของเอกสารทุกครั้งที่มีการนำไปใช้

โปรแกรมที่ 4 "process.c" เป็นโปรแกรมย่อยของกระบวนการคำนวณหาและแสดงตำแหน่งของเป้าหมาย

```
#include<stdio.h>
#include<stdlib.h>
#include<math.h>
#include<graphics.h>
#include<conio.h>
#define pi 3.141592654
FILE *datafile1,*datafile2;
float compare(FILE *datafile);
int errorcheck(int rg,int lf);
void draw(void);
/*ฟังก์ชัน solve สอดคล้องกับแผนภูมิการไหลที่ 4.5*/
void solve(void)
{
    float lftang,rgtang,vertexang,dl,dr;
    char strdl[25],strdr[25],strlftang[3],strrtang[3];
    datafile1 = fopen("data1.dat","rb");
    datafile2 = fopen("data2.dat","rb");
    lftang = compare(datafile1);
    rgtang = compare(datafile2);
    vertexang = errorcheck(rgtang,lftang);
    if(vertexang==0)
        outtextxy(100,240,"Error:Target may be in the critical line or
detection error");
    else
    {
        if(rgtang<180)
            dl = 10*(sin(pi*(180-rgtang)/180)/sin(pi*vertexang/180));
        else
            dl = 10*(sin(pi*(rgtang-180)/180)/sin(pi*vertexang/180));
        if(lftang<180)
            dr = 10*(sin(pi*lftang/180)/sin(pi*vertexang/180));
        else
            dr = 10*(sin(pi*(360-lftang)/180)/sin(pi*vertexang/180));
        gcvt(dl,10,strdl);
        gcvt(dr,10,strdr);
        gcvt(lftang,3,strlftang);
        gcvt(rgtang,3,strrtang);
        draw();
        outtextxy(100,380,"Target is          metres away from left
antenna");
        outtextxy(180,380,strdl);
        outtextxy(100,420,"Target is          metres away from right
antenna");
        outtextxy(180,420,strdr);
        outtextxy(100,400,"@1 is          degrees");
        outtextxy(150,400,strlftang);
        outtextxy(100,440,"@2 is          degrees");
        outtextxy(150,440,strrtang);
    }
}
/*ฟังก์ชัน compare สอดคล้องกับแผนภูมิการไหลที่ 4.6*/
float compare(FILE *datafile)
{
    volatile int i1=0,i2,angle=0;
    float dirang=0,peakang1=0,peakang2=0;
    do{
        angle++;
        fread(&i2,sizeof(i2),1,datafile);
        if(i2>i1)
            i1 = i2;
```

เอกสารนี้เป็นเอกสารที่สงวนไว้สำหรับการใช้งานเพื่อการศึกษาเท่านั้น ไม่อนุญาตให้นำไปใช้ประโยชน์ด้านการค้า

ไม่ว่ากรณีใดๆ ทั้งสิ้น อีกทั้งห้ามมิให้ดัดแปลงเนื้อหาและต้องอ้างอิงถึงเจ้าของเอกสารทุกครั้งที่มีการนำไปใช้

```

        peakang1 = angle;
    }
    )while(angle!=360);
angle=0;
fseek(datafile,0L,SEEK_SET);
do(
    angle++;
    fread(&i2,sizeof(i2),1,datafile);
    if(i2==i1)
    {
        peakang2 = angle;
    }
    )while(angle!=360);
fclose(datafile);
dirang = (peakang1+peakang2)/2;
return dirang;
}
/*ฟังก์ชัน errorcheck สอดคล้องกับแผนภูมิการไหลที่ 4.7*/
int errorcheck(int rg,int lf)
{
    if((lf==180)|| (lf==360)|| (rg==180)|| (rg==360)|| (lf==rg))
        return 0;
    else
    {
        if(lf<180)
        {
            if((rg>lf)&&(rg<180)) return rg-lf;
            else return 0;
        }
        else
        {
            if((lf>rg)&&(rg>180)) return lf-rg;
            else return 0;
        }
    }
}
/*ฟังก์ชันวาดรูปแสดงตำแหน่งเป้าหมายเป็นลักษณะตามเหลี่ยม*/
void draw(void)
{
    int i;
    line(200,350,300,350);line(340,350,465,350);outtextxy(308,345,"10m");
    line(200,350,225,300);line(440,350,415,300);
    for(i=0;i<3;i++)
        line(215-7*i,295+5*i,235+i,305+8*i);
    for(i=0;i<3;i++)
        line(425+7*i,295+5*i,405-i,305+8*i);
    arc(200,350,0,64,30);
    arc(440,350,0,115,25);
    outtextxy(210,335,"@1
                                                @2");
    setlinestyle(DOTTED_LINE,1,1);
    line(225,300,320,110);line(415,300,320,110);
    outtextxy(300,98,"Target"); outtextxy(317,108,"*");
}

```

เอกสารนี้เป็นเอกสารที่สงวนไว้สำหรับการใช้งานเพื่อการศึกษาเท่านั้น ไม่อนุญาตให้นำไปใช้ประโยชน์ด้านการค้า
ไม่ว่ากรณีใดๆ ทั้งสิ้น อีกทั้งห้ามมิให้ดัดแปลงเนื้อหาและต้องอ้างอิงถึงเจ้าของเอกสารทุกครั้งที่มีการนำไปใช้

โปรแกรมที่ 5 "plotpola.c" เป็นโปรแกรมย่อยของกระบวนการวาดรูปสัญญาณที่ได้รับได้จากสายอากาศทั้งสองข้าง

```
#include <graphics.h>
#include <stdlib.h>
#include <stdio.h>
#include <conio.h>
#include <math.h>
#define pi 3.141592654
#define ratio 58.174803 /*ratio = 10*polargraph's radius/max strength in dBm*/
FILE *datafile1,*datafile2;
void polargraph(int xc,int yc,int rc);
void sigplot(int xc,int yc,FILE *datafile);
/*ฟังก์ชัน plot สอดคล้องกับแผนภูมิการไหลรูปที่ 4.9*/
void plot(void)
{
    polargraph(175,250,140);
    polargraph(480,250,140);
    datafile1 = fopen("data1.dat","rb");
    datafile2 = fopen("data2.dat","rb");
    sigplot(175,250,datafile1);
    sigplot(480,250,datafile2);
    fclose(datafile1);
    fclose(datafile2);
}
/*ฟังก์ชันวาดรูปโพลาร์กราฟ*/
void polargraph(int xc,int yc,int rc)
{
    int i;
    char str[3];
    setlinestyle(DOTTED_LINE,1,1);
    for(i=1;i<6;i++)
    {
        setcolor(15);
        circle(xc,yc,rc*i/5);
        setcolor(14);
        settextjustify(CENTER_TEXT,CENTER_TEXT);
        settextstyle(2,HORIZ_DIR,2);
        gcvt((5-i)*5,2,str); //dB
        outtextxy(xc+5,yc+5-rc*i/5,str); //dB
        outtextxy(xc-5,yc+5-rc*i/5,"-"); //dB
    }
    for(i=1;i<5;i++)
    {
        setcolor(15);
        line(xc+rc*cos(pi*i/4),yc-rc*sin(pi*i/4),
            xc-rc*cos(pi*i/4),yc+rc*sin(pi*i/4));
        setcolor(14);
        settextjustify(CENTER_TEXT,CENTER_TEXT);
        settextstyle(2,HORIZ_DIR,2);
        gcvt((i-1)*45,3,str); //upper angle
        outtextxy(xc+(rc+5)*cos(pi*(i-1)/4),yc-(rc+5)*sin(pi*(i-1)/4),str);
        gcvt(180+(i-1)*45,3,str); //lower angle
        outtextxy(xc-(rc+7)*cos(pi*(i-1)/4),yc+(rc+7)*sin(pi*(i-1)/4),str);
        settextjustify(LEFT_TEXT,TOP_TEXT);
        settextstyle(0,HORIZ_DIR,1);
    }
}
```

/*ฟังก์ชัน sigplot graph สอดคล้องกับแผนภูมิการไหลรูปที่ 4.10*/

```
void sigplot(int xc,int yc,FILE *datafile)
{
  int r,x,y,x1,y1,streng,ang=1;
  setcolor(4);
  setlinestyle(SOLID_LINE,1,1);
  while(!feof(datafile))
  {
    fread(&streng,sizeof(streng),1,datafile);
    r = ratio*log10(streng+1); /*add streng by 1 to avoid zero log
error*/
    x = xc+r*cos(pi*ang/180);
    y = yc-r*sin(pi*ang/180);
    if(ang==1)
    {
      x1=x; y1=y;
      moveto(x1,y1);
    }
    else
    {
      lineto(x,y);
    }
    ang++;
  }
  lineto(x1,y1);
  fclose(datafile);
}
```

เอกสารนี้เป็นเอกสารที่สงวนไว้สำหรับการใช้งานเพื่อการศึกษาเท่านั้น ไม่อนุญาตให้นำไปใช้ประโยชน์ด้านการค้า
ไม่ว่ากรณีใดๆ ทั้งสิ้น อีกทั้งห้ามมิให้ดัดแปลงเนื้อหาและต้องอ้างอิงถึงเจ้าของเอกสารทุกครั้งที่มีการนำไปใช้

โปรแกรมที่ 6 "blk&bt.c" เป็นโมดูลสำหรับการวาดกรอบหน้าจอและปุ่มสำหรับเลือกการทำงานต่างๆ

```
#include<graphics.h>
void block(int l,int t,int r,int b,int thick,int trclr,int blclr);
void button(int xt,int yt,char far *str,int txtlong,int txtclr,int
trclr,int blclr);
void screen(void);
/*****/
void border(int xs,int ys,int xd,int yd,int side,int thick,int clr)
{
    int n;
    setcolor(clr);
    for(n=1;n<thick;n++)
    {
        setlinestyle(SOLID_LINE,1,1);
        switch(side)
        {
            case 1:line(xs-n,ys-n,xd+n,yd-n);break;//top
            case 2:line(xs+n,ys-n,xd+n,yd+n);break;//right
            case 3:line(xs-n,ys-n,xd-n,yd+n);break;//left
            case 4:line(xs-n,ys+n,xd+n,yd+n);break;//bottom
        }
    }
}
void block(int l,int t,int r,int b,int thick,int trclr,int blclr)
{
    border(l,t,r,t,1,thick,trclr);
    border(r,t,r,b,2,thick,trclr);
    border(l,t,l,b,3,thick,blclr);
    border(l,b,r,b,4,thick,blclr);
}
void button(int xt,int yt,char far *str,int txtlong,int txtclr,int
trclr,int blclr)
{
    settextstyle(0,HORIZ_DIR,1);
    setcolor(txtclr);
    outtextxy(xt,yt,str);
    block(xt-3,yt-5,xt+txtlong*8+1,yt+10,3,trclr,blclr);
}
void screen(void)
{
    setfillstyle(SOLID_FILL,7);
    bar(20,60,629,469);
    block(20,60,629,469,3,8,15);
    block(18,58,631,471,6,7,7);
    bar(13,8,636,53);
    block(13,8,636,476,4,15,8);
    block(170,18,450,40,3,8,15);
    settextstyle(1,HORIZ_DIR,2);
    setcolor(1);
    outtextxy(180,16,"POSITION FINDING SYSTEM");
    button(25,67,"Start",5,2,15,8);
    button(74,67,"Plot",4,8,15,8);
    button(115,67,"Solution",8,8,15,8);
    button(188,67,"Exit",4,1,15,8);
    setcolor(1);
    outtextxy(100,160,"Press 'Start' to begin finding the target");
    outtextxy(100,180,"Press 'Exit' to exit the program");
}
```

เอกสารนี้เป็นเอกสารที่สงวนไว้สำหรับการใช้งานเพื่อการศึกษาเท่านั้น ไม่อนุญาตให้นำไปใช้ประโยชน์ด้านการค้า
ไม่ว่ากรณีใดๆ ทั้งสิ้น อีกทั้งห้ามมิให้ดัดแปลงเนื้อหาและต้องอ้างอิงถึงเจ้าของเอกสารทุกครั้งที่มีการนำไปใช้

โปรแกรมที่ 7 "graphmous.c" เป็นโปรแกรมจัดการเกี่ยวกับการเรียกใช้เมาส์

```
#include<dos.h>
#include<graphics.h>
struct MOUSETYPE{ int x;
                  int y;
                  int status;
                };
int mouse_installed(void);
void mouse_display(void);
void mouse_hide(void);
void setregion(int x1,int y1,int x2,int y2);
struct MOUSETYPE getmouse(void);
void setmouse(int x,int y);
```

```
int mouse_installed(void)
{
  _AX = 0;
  geninterrupt(0x33);
  if(_AX==0) return 0;
  else return 1;
}
```

```
void mouse_display(void)
{
  _AX = 0x01;
  geninterrupt(0x33);
}
```

```
void mouse_hide(void)
{
  _AX = 0x02;
  geninterrupt(0x33);
}
```

```
void setregion(int x1,int y1,int x2,int y2)
{
  _CX = x1;
  _DX = x2;
  _AX = 0x07;
  geninterrupt(0x33);
  _CX = y1;
  _DX = y2;
  _AX = 0x08;
  geninterrupt(0x33);
}
```

```
struct MOUSETYPE getmouse(void)
{
  struct MOUSETYPE m;
  _AX = 0x03;
  geninterrupt(0x33);
  m.status = _BX;
  m.x      = _CX;
  m.y      = _DX;
  return m;
}
```

```
void setmouse(int x,int y)
{
  _CX = x;
  _DX = y;
  _AX = 0x04;
  geninterrupt(0x33);
}
```

MOTOROLA
SEMICONDUCTOR
 TECHNICAL DATA

LOW-POWER NARROWBAND FM RECEIVER

... includes dual FM conversion with oscillators, mixers, quadrature discriminator, and meter drive/carrier detect circuitry. The MC3362 also has buffered first and second local oscillator outputs and a comparator circuit for FSK detection.

- Complete Dual Conversion Circuitry
- Low Voltage: $V_{CC} = 2.0$ to 6.0 Vdc
- Low Drain Current (3.6 mA (Typ) @ $V_{CC} = 3.0$ Vdc)
- Excellent Sensitivity: Input Voltage $0.6 \mu\text{V}_{\text{rms}}$ (Typ) for 12 dB SINAD
- Externally Adjustable Carrier Detect Function
- Low Number of External Parts Required
- Manufactured Using Motorola's MOSAIC® Process Technology
- MC13135 is Preferred for New Designs

MC3362

**LOW-POWER
 DUAL CONVERSION
 FM RECEIVER**

**SILICON MONOLITHIC
 INTEGRATED CIRCUIT**

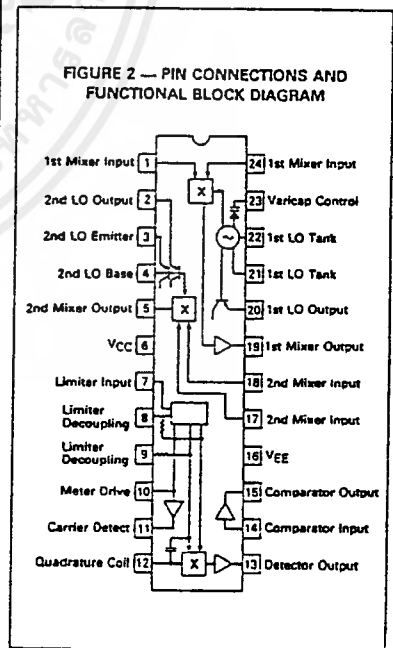
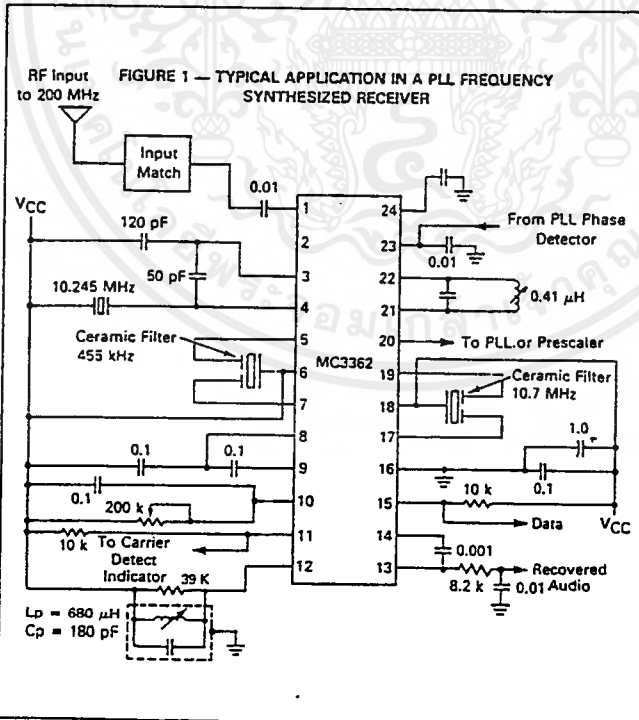


P SUFFIX
 PLASTIC PACKAGE
 CASE 724

DW SUFFIX
 PLASTIC PACKAGE
 CASE 751E
 (SO-24L)



8



เอกสารนี้เป็นเอกสารที่สงวนไว้สำหรับการใช้งานเพื่อการศึกษาเท่านั้น ไม่อนุญาตให้นำไปใช้ประโยชน์ด้านการค้า
 ไม่ว่ากรณีใดๆ ทั้งสิ้น อีกทั้งห้ามมิให้ดัดแปลงเนื้อหาและต้องอ้างอิงถึงเจ้าของเอกสารทุกครั้งที่มีการนำไปใช้

MC3362

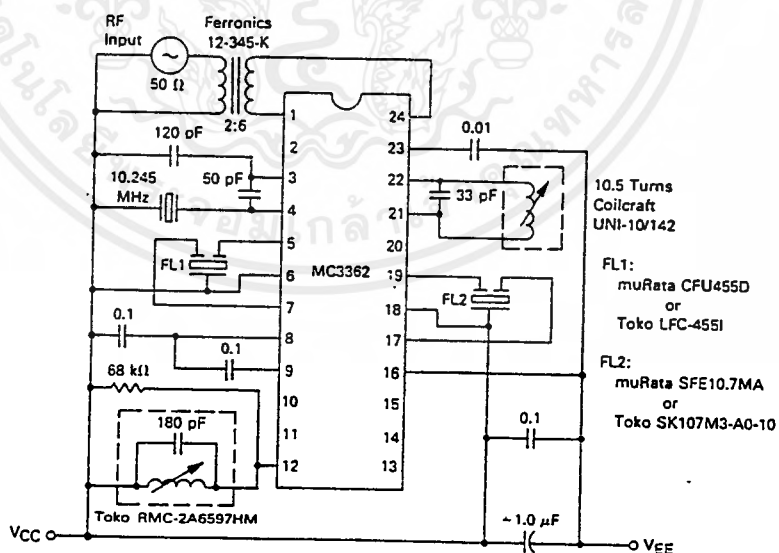
MAXIMUM RATINGS ($T_A = 25^\circ\text{C}$, unless otherwise noted)

Rating	Pin	Symbol	Value	Unit
Power Supply Voltage (See Diagram)	6	$V_{CC(max)}$	7.0	Vdc
Operating Supply Voltage Range (Recommended)	6	V_{CC}	2.0 to 6.0	Vdc
Input Voltage ($V_{CC} \geq 5.0$ Vdc)	1, 24	V_{1-24}	1.0	Vrms
Junction Temperature	—	T_J	150	$^\circ\text{C}$
Operating Ambient Temperature Range	—	T_A	-40 to +85	$^\circ\text{C}$
Storage Temperature Range	—	T_{stg}	-65 to +150	$^\circ\text{C}$

ELECTRICAL CHARACTERISTICS ($V_{CC} = 5.0$ Vdc, $f_o = 49.7$ MHz, Deviation = 3.0 kHz, $T_A = 25^\circ\text{C}$, Test Circuit of Figure 3 unless otherwise noted)

Characteristic	Pin	Min	Typ	Max	Units
Drain Current (Carrier Detect Low — See Figure 5)	6	—	4.5	7.0	mA
Input for -3.0 dB Limiting		—	0.7	2.0	μVrms
Input for 12 dB SINAD (See Figure 9)		—	0.6	—	μVrms
Series Equivalent Input Impedance		—	450-1350	—	Ω
Recovered Audio (RF signal level = 10 mV)	13	—	350	—	mVrms
Noise Output (RF signal level = 0 mV)	13	—	250	—	mVrms
Carrier Detect Threshold (below V_{CC})	10	—	0.64	—	Vdc
Meter Drive Slope	10	—	100	—	nA/dB
Input for 20 dB (S + N)/N (See Figure 7)		—	0.7	—	μVrms
First Mixer 3rd Order Intercept (Input)		—	-22	—	dBm
First Mixer Input Resistance (R_p)		—	690	—	Ω
First Mixer Input Capacitance (C_p)		—	7.2	—	pF
Conversion Voltage Gain, First Mixer		—	18	—	dB
Conversion Voltage Gain, Second Mixer		—	21	—	dB
Detector Output Resistance	13	—	1.4	—	k Ω

FIGURE 3 — TEST CIRCUIT



NOTE: See AN980 for Additional Design Information.

เอกสารนี้เป็นเอกสารที่สงวนไว้สำหรับการใช้งานเพื่อการศึกษาเท่านั้น ไม่อนุญาตให้นำไปใช้ประโยชน์ด้านการค้า
ไม่ว่ากรณีใดๆ ทั้งสิ้น อีกทั้งห้ามมิให้ดัดแปลงเนื้อหาและต้องอ้างอิงถึงเจ้าของเอกสารทุกครั้งที่มีการนำไปใช้

MC3362

FIGURE 4 — I₁₀ METER versus INPUT

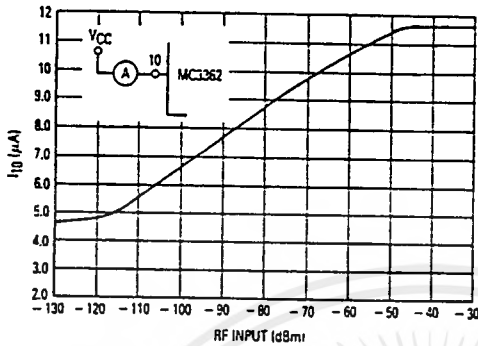


FIGURE 5 — DRAIN CURRENT, RECOVERED AUDIO versus SUPPLY

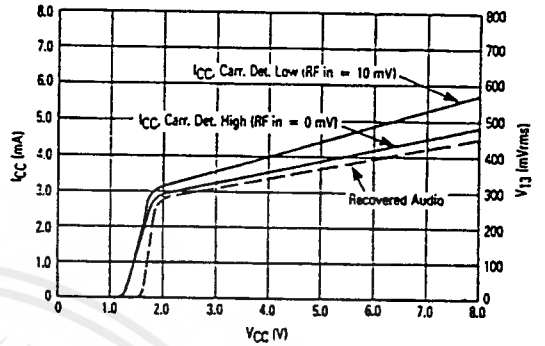


FIGURE 6 — SIGNAL LEVELS

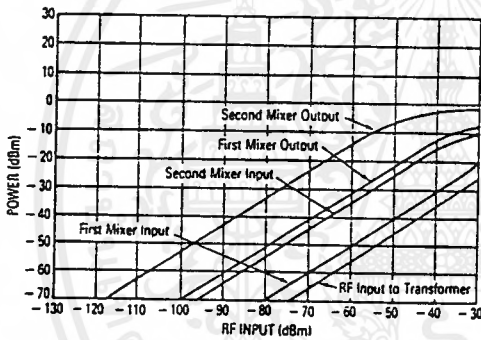


FIGURE 7 — S + N, N, AMR versus INPUT

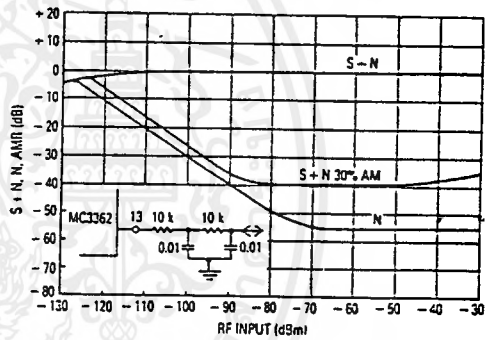


FIGURE 8 — 1ST MIXER 3RD ORDER INTERMODULATION

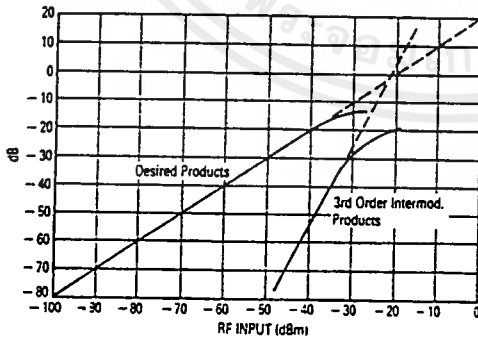
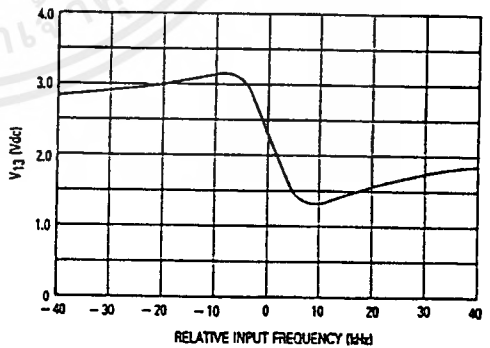


FIGURE 9 — DETECTOR OUTPUT versus FREQUENCY



เอกสารนี้เป็นเอกสารที่สงวนไว้สำหรับการใช้งานเพื่อการศึกษาเท่านั้น ไม่อนุญาตให้นำไปใช้ประโยชน์ด้านการค้า
ไม่ว่ากรณีใดๆ ทั้งสิ้น อีกทั้งห้ามมิให้คัดลอกเนื้อหาและต้องอ้างอิงถึงเจ้าของเอกสารทุกครั้งที่มีการนำไปใช้

MC3362

FIGURE 10 — PC BOARD TEST CIRCUIT
(LC Oscillator Configuration Used in PLL Synthesized Receiver)

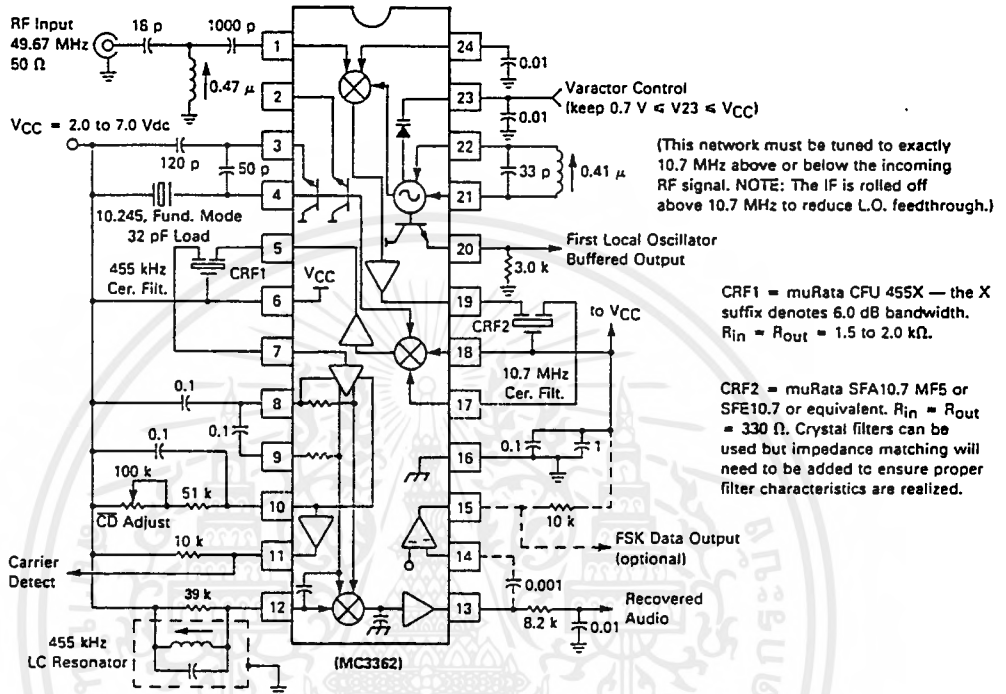
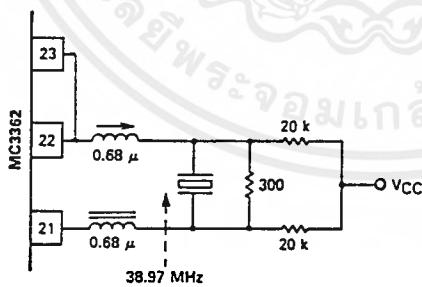


FIGURE 10A — CRYSTAL OSCILLATOR CONFIGURATION FOR SINGLE CHANNEL APPLICATION



Crystal used is series mode resonant (no load capacity specified), 3rd overtone. This method has not proven adequate for fundamental mode, 5th or 7th overtone crystals. The inductor and capacitor will need to be changed for other frequency crystals. See AN980 for further information.

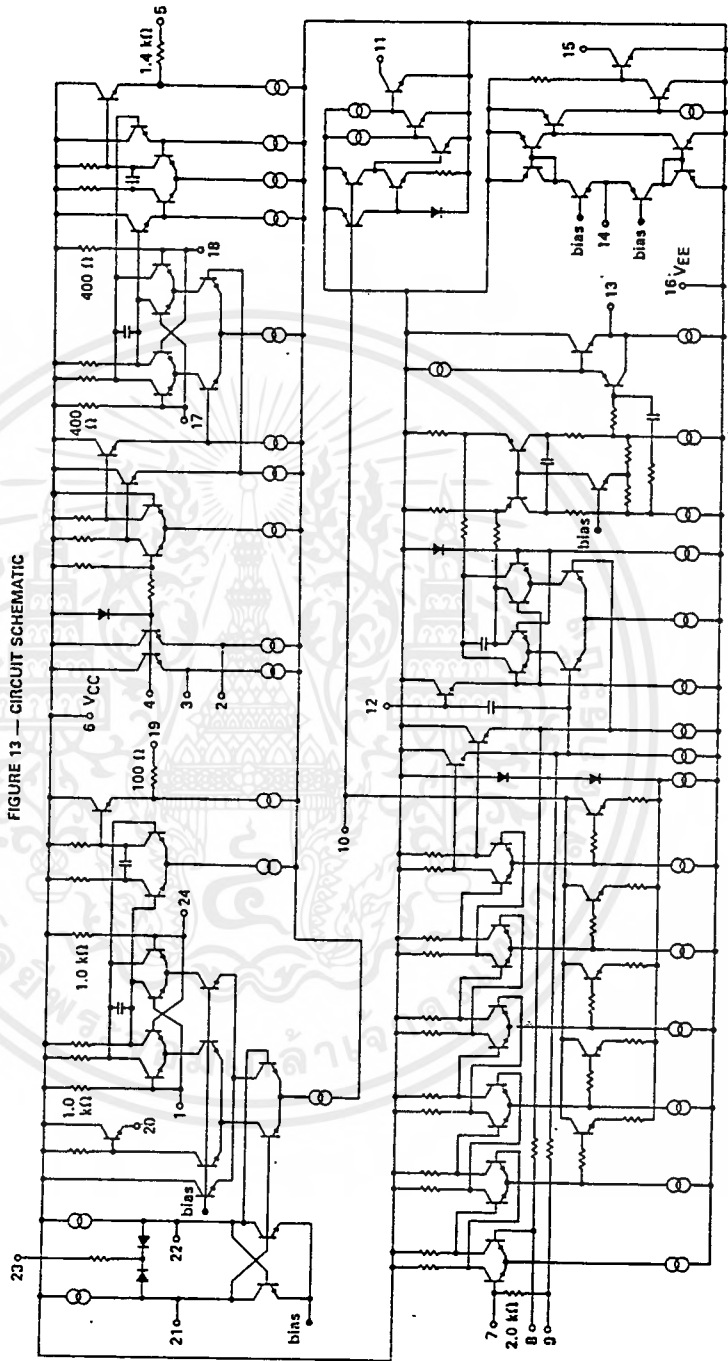


FIGURE 13 — CIRCUIT SCHEMATIC



เอกสารนี้เป็นเอกสารที่สงวนไว้สำหรับการใช้งานเพื่อการศึกษาเท่านั้น ไม่อนุญาตให้นำไปใช้ประโยชน์ด้านการค้า
ไม่ว่ากรณีใดๆ ทั้งสิ้น อีกทั้งห้ามมิให้ดัดแปลงเนื้อหาและต้องอ้างอิงถึงเจ้าของเอกสารทุกครั้งที่มีการนำไปใช้

ADC0801/ADC0802/ADC0803/ADC0804/ADC0805



ADC0801, ADC0802, ADC0803, ADC0804, ADC0805 8-Bit μ P Compatible A/D Converters

General Description

The ADC0801, ADC0802, ADC0803, ADC0804 and ADC0805 are CMOS 8-bit successive approximation A/D converters that use a differential potentiometric ladder—similar to the 256R μ P products. These converters are designed to allow operation with the NSC800 and INS8080A derivative control bus with TRI-STATE[®] output latches directly driving the data bus. These A/Ds appear like memory locations or I/O ports to the microprocessor and no interfacing logic is needed.

Differential analog voltage inputs allow increasing the common-mode rejection and offsetting the analog zero input voltage value. In addition, the voltage reference input can be adjusted to allow encoding any smaller analog voltage span to the full 8 bits of resolution.

Features

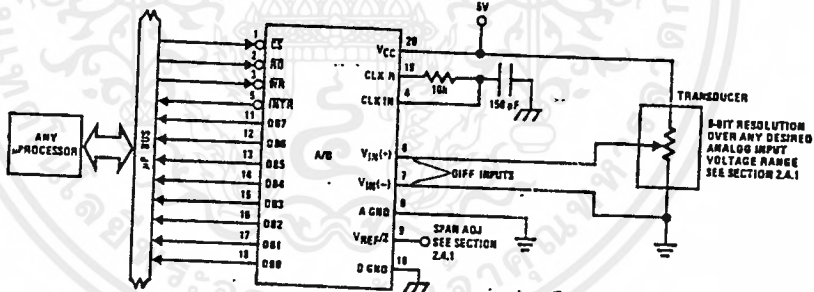
- Compatible with 8080 μ P derivatives—no interfacing logic needed - access time - 135 ns
- Easy interface to all microprocessors, or operates "stand alone"

- Differential analog voltage inputs
- Logic inputs and outputs meet both MOS and TTL voltage level specifications
- Works with 2.5V (LM336) voltage reference
- On-chip clock generator
- 0V to 5V analog input voltage range with single 5V supply
- No zero adjust required
- 0.3" standard width 20-pin DIP package
- 20-pin molded chip carrier or small outline package
- Operates ratiometrically or with 5 V_{DC}, 2.5 V_{DC}, or analog span adjusted voltage reference

Key Specifications

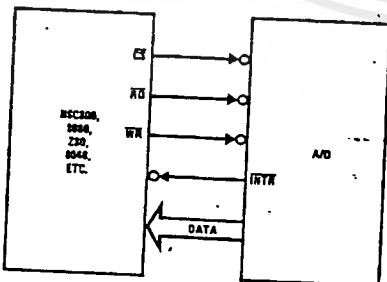
- Resolution: 8 bits
- Total error: $\pm 1/4$ LSB, $\pm 1/2$ LSB and ± 1 LSB
- Conversion time: 100 μ s

Typical Applications



TU/H/5671-1

8080 Interface



TU/H/5671-31

Error Specification (Includes Full-Scale, Zero Error, and Non-Linearity)

Part Number	Full-Scale Adjusted	V _{REF/2} = 2.500 V _{DC} (No Adjustments)	V _{REF/2} = No Connection (No Adjustments)
ADC0801	$\pm 1/4$ LSB		
ADC0802		$\pm 1/2$ LSB	
ADC0803	$\pm 1/2$ LSB		
ADC0804		± 1 LSB	
ADC0805			± 1 LSB

เอกสารนี้เป็นเอกสารที่สงวนไว้สำหรับการใช้งานเพื่อการศึกษาเท่านั้น ไม่อนุญาตให้นำไปใช้ประโยชน์ด้านการค้า ไม่ว่าจะกรณีใดๆ ทั้งสิ้น อีกทั้งห้ามมิให้ดัดแปลงเนื้อหาและต้องอ้างอิงถึงเจ้าของเอกสารทุกครั้งที่มีการนำไปใช้

Absolute Maximum Ratings (Notes 1 & 2)

If Military/Aerospace specified devices are required, contact the National Semiconductor Sales Office/Distributors for availability and specifications.

Supply Voltage (V _{CC}) (Note 3)	6.5V
Voltage	
Logic Control Inputs	-0.3V to +18V
At Other Input and Outputs	-0.3V to (V _{CC} +0.3V)
Lead Temp. (Soldering, 10 seconds)	
Dual-In-Line Package (plastic)	260°C
Dual-In-Line Package (ceramic)	300°C
Surface Mount Package	
Vapor Phase (60 seconds)	215°C
Infrared (15 seconds)	220°C

Storage Temperature Range: -65°C to +150°C

Package Dissipation at T_A = 25°C: 875 mW

ESD Susceptibility (Note 10): 800V

Operating Ratings (Notes 1 & 2)

Temperature Range	T _{MIN} ≤ T _A ≤ T _{MAX}
ADC0801/02LJ	-55°C ≤ T _A ≤ +125°C
ADC0801/02/03/04LCJ	-40°C ≤ T _A ≤ +85°C
ADC0801/02/03/05LCN	-40°C ≤ T _A ≤ +85°C
ADC0804LCN	0°C ≤ T _A ≤ +70°C
ADC0802/03/04LCV	0°C ≤ T _A ≤ +70°C
ADC0802/03/04LCWM	0°C ≤ T _A ≤ +70°C
Range of V _{CC}	4.5 V _{DC} to 6.3 V _{DC}

Electrical Characteristics

The following specifications apply for V_{CC} = 5 V_{DC}, T_{MIN} ≤ T_A ≤ T_{MAX} and f_{CLK} = 640 kHz unless otherwise specified.

Parameter	Conditions	Min	Typ	Max	Units
ADC0801: Total Adjusted Error (Note 8)	With Full-Scale Adj. (See Section 2.5.2)			±1/4	LSB
ADC0802: Total Unadjusted Error (Note 8)	V _{REF} /2 = 2.500 V _{DC}			±1/2	LSB
ADC0803: Total Adjusted Error (Note 8)	With Full-Scale Adj. (See Section 2.5.2)			±1/2	LSB
ADC0804: Total Unadjusted Error (Note 8)	V _{REF} /2 = 2.500 V _{DC}			±1	LSB
ADC0805: Total Unadjusted Error (Note 8)	V _{REF} /2-No Connection			±1	LSB
V _{REF} /2 Input Resistance (Pin 9)	ADC0801/02/03/05 ADC0804 (Note 9)	2.5 0.75	8.0 1.1		kΩ kΩ
Analog Input Voltage Range	(Note 4) V(+) or V(-)	Gnd-0.05		V _{CC} +0.05	V _{DC}
DC Common-Mode Error	Over Analog Input Voltage Range		±1/16	±1/8	LSB
Power Supply Sensitivity	V _{CC} = 5 V _{DC} ±10% Over Allowed V _{IN} (+) and V _{IN} (-) Voltage Range (Note 4)		±1/16	±1/8	LSB

AC Electrical Characteristics

The following specifications apply for V_{CC} = 5 V_{DC} and T_A = 25°C unless otherwise specified.

Symbol	Parameter	Conditions	Min	Typ	Max	Units
T _C	Conversion Time	f _{CLK} = 640 kHz (Note 6)	103		114	μs
T _C	Conversion Time	(Note 5, 6)	66		73	1/f _{CLK}
f _{CLK}	Clock Frequency Clock Duty Cycle	V _{CC} = 5V, (Note 5) (Note 5)	100 40	640	1460 60	kHz %
CR	Conversion Rate in Free-Running Mode	INTR tied to WR with CS = 0 V _{DC} , f _{CLK} = 640 kHz	8770		9708	conv/s
t _{W(RL)}	Width of WR Input (Start Pulse Width)	CS = 0 V _{DC} (Note 7)	100			ns
t _{ACC}	Access Time (Delay from Falling Edge of RD to Output Data Valid)	C _L = 100 pF		135	200	ns
t _{H, t_{OH}}	TRI-STATE Control (Delay from Rising Edge of RD to Hi-Z State)	C _L = 10 pF, R _L = 10k (See TRI-STATE Test Circuits)		125	200	ns
t _{W, t_{RI}}	Delay from Falling Edge of WR or RD to Reset of INTR			300	450	ns
C _{IN}	Input Capacitance of Logic Control Inputs			5	7.5	pF
C _{OUT}	TRI-STATE Output Capacitance (Data Buffers)			5	7.5	pF

CONTROL INPUTS (Note: CLK IN (Pin 4) is the input of a Schmitt trigger circuit and is therefore specified separately)

V _{IN} (1)	Logical "1" Input Voltage (Except Pin 4 CLK IN)	V _{CC} = 5.25 V _{DC}	2.0		15	V _{DC}
---------------------	---	--	-----	--	----	-----------------

ADC0801/ADC0802/ADC0803/ADC0804/ADC0805

AC Electrical Characteristics (Continued)

The following specifications apply for $V_{CC} = 5V_{DC}$ and $T_{MIN} \leq T_A \leq T_{MAX}$, unless otherwise specified.

Symbol	Parameter	Conditions	Min	Typ	Max	Units
CONTROL INPUTS (Note: CLK IN (Pin 4) is the input of a Schmitt trigger circuit and is therefore specified separately)						
$V_{IN(0)}$	Logical "0" Input Voltage (Except Pin 4 CLK IN)	$V_{CC} = 4.75 V_{DC}$			0.8	V_{DC}
$I_{IN(1)}$	Logical "1" Input Current (All Inputs)	$V_{IN} = 5 V_{DC}$		0.005	1	μA_{DC}
$I_{IN(0)}$	Logical "0" Input Current (All Inputs)	$V_{IN} = 0 V_{DC}$	-1	-0.005		μA_{DC}
CLOCK IN AND CLOCK R						
V_{T+}	CLK IN (Pin 4) Positive Going Threshold Voltage		2.7	3.1	3.5	V_{DC}
V_{T-}	CLK IN (Pin 4) Negative Going Threshold Voltage		1.5	1.8	2.1	V_{DC}
V_H	CLK IN (Pin 4) Hysteresis ($V_{T+} - V_{T-}$)		0.6	1.3	2.0	V_{DC}
$V_{OUT(0)}$	Logical "0" CLK R Output Voltage	$I_O = 360 \mu A$ $V_{CC} = 4.75 V_{DC}$			0.4	V_{DC}
$V_{OUT(1)}$	Logical "1" CLK R Output Voltage	$I_O = -360 \mu A$ $V_{CC} = 4.75 V_{DC}$	2.4			V_{DC}
DATA OUTPUTS AND INTR						
$V_{OUT(0)}$	Logical "0" Output Voltage Data Outputs INTR Output	$I_{OUT} = 1.6 mA, V_{CC} = 4.75 V_{DC}$ $I_{OUT} = 1.0 mA, V_{CC} = 4.75 V_{DC}$			0.4 0.4	V_{DC} V_{DC}
$V_{OUT(1)}$	Logical "1" Output Voltage	$I_O = -360 \mu A, V_{CC} = 4.75 V_{DC}$	2.4			V_{DC}
$V_{OUT(1)}$	Logical "1" Output Voltage	$I_O = -10 \mu A, V_{CC} = 4.75 V_{DC}$	4.5			V_{DC}
I_{OUT}	TRI-STATE Disabled Output Leakage (All Data Buffers)	$V_{OUT} = 0 V_{DC}$ $V_{OUT} = 5 V_{DC}$	-3			μA_{DC} μA_{DC}
I_{SOURCE}		V_{OUT} Short to Gnd, $T_A = 25^\circ C$	4.5	6		mA_{DC}
I_{SINK}		V_{OUT} Short to V_{CC} , $T_A = 25^\circ C$	9.0	16		mA_{DC}
POWER SUPPLY						
I_{CC}	Supply Current (Includes Ladder Current)	$f_{CLK} = 640 kHz$, $V_{REF/2} = NC, T_A = 25^\circ C$ and $\overline{CS} = 5V$			1.1 1.9	mA mA

Note 1: Absolute Maximum Ratings indicate limits beyond which damage to the device may occur. DC and AC electrical specifications do not apply when operating the device beyond its specified operating conditions.

Note 2: All voltages are measured with respect to Gnd, unless otherwise specified. The separate A Gnd point should always be wired to the D Gnd.

Note 3: A zener diode exists, internally, from V_{CC} to Gnd and has a typical breakdown voltage of 7 V_{DC} .

Note 4: For $V_{IN(-)} \geq V_{IN(+)}$ the digital output code will be 0000 0000. Two on-chip diodes are tied to each analog input (see block diagram) which will forward conduct for analog input voltages one diode drop below ground or one diode drop greater than the V_{CC} supply. Be careful, during testing at low V_{CC} levels (4.5V), as high level analog inputs (5V) can cause this input diode to conduct—especially at elevated temperatures, and cause errors for analog inputs near full-scale. The spec allows 50 mV forward bias of either diode. This means that as long as the analog V_{IN} does not exceed the supply voltage by more than 50 mV, the output code will be correct. To achieve an absolute 0 V_{DC} to 5 V_{DC} input voltage range will therefore require a minimum supply voltage of 4.950 V_{DC} over temperature variations, initial tolerance and loading.

Note 5: Accuracy is guaranteed at $f_{CLK} = 640 kHz$. At higher clock frequencies accuracy can degrade. For lower clock frequencies, the duty cycle limits can be extended so long as the minimum clock high time interval or minimum clock low time interval is no less than 275 ns.

Note 6: With an asynchronous start pulse, up to 8 clock periods may be required before the internal clock phases are proper to start the conversion process. The start request is internally latched, see Figure 2 and section 2.0.

Note 7: The \overline{CS} input is assumed to bracket the \overline{WR} strobe input and therefore timing is dependent on the \overline{WR} pulse width. An arbitrarily wide pulse width will hold the converter in a reset mode and the start of conversion is initiated by the low to high transition of the \overline{WR} pulse (see timing diagrams).

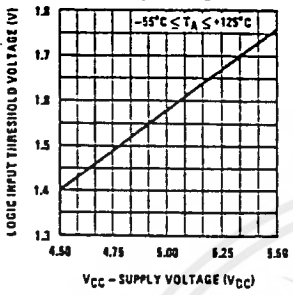
Note 8: None of these A/Ds requires a zero adjust (see section 2.5.1). To obtain zero code at other analog input voltages see section 2.5 and Figure 5.

Note 9: The $V_{REF/2}$ pin is the center point of a two resistor divider connected from V_{CC} to ground. Each resistor is 2.2k, except for the ADC0804LCJ where each resistor is 16k. Total ladder input resistance is the sum of the two equal resistors.

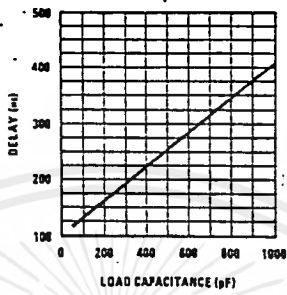
Note 10: Human body model, 100 pF discharged through a 1.5 k Ω resistor.

Typical Performance Characteristics

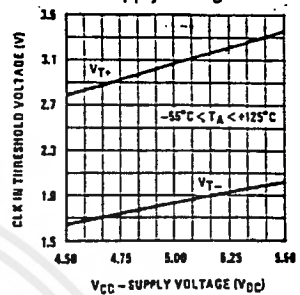
Logic Input Threshold Voltage vs. Supply Voltage



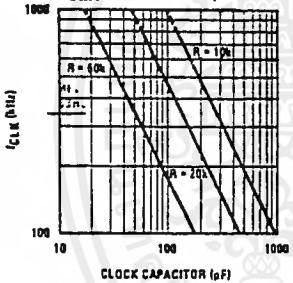
Delay From Falling Edge of RD to Output Data Valid vs. Load Capacitance



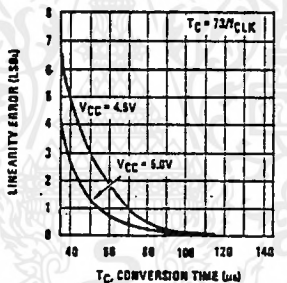
CLK IN Schmitt Trip Levels vs. Supply Voltage



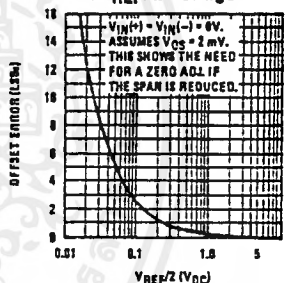
fCLK vs. Clock Capacitor



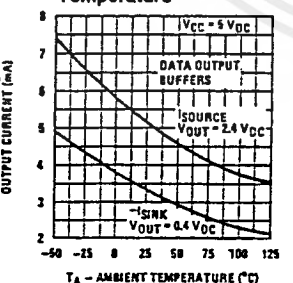
Full-Scale Error vs Conversion Time



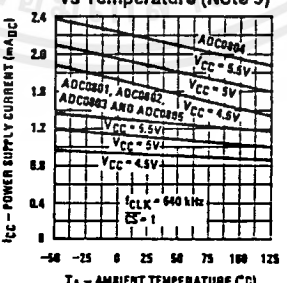
Effect of Unadjusted Offset Error vs. VREF/2 Voltage



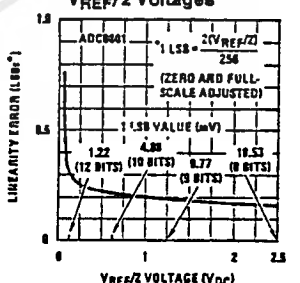
Output Current vs Temperature



Power Supply Current vs Temperature (Note 9)



Linearity Error at Low VREF/2 Voltages



TU/H/5671-2

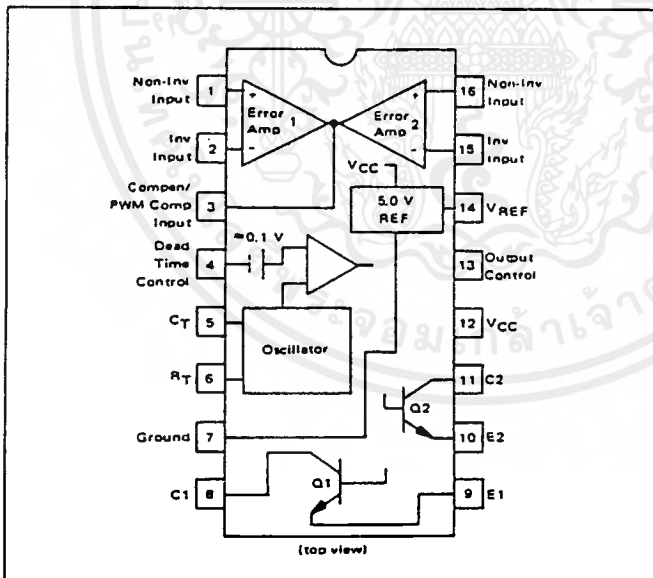
เอกสารนี้เป็นเอกสารที่สงวนไว้สำหรับการใช้งานเพื่อการศึกษาเท่านั้น ไม่อนุญาตให้นำไปใช้ประโยชน์ด้านการค้า ไม่ว่าจะกรณีใดๆ ทั้งสิ้น อีกทั้งห้ามมิให้ดัดแปลงเนื้อหาและต้องอ้างอิงถึงเจ้าของเอกสารทุกครั้งที่มีการนำไปใช้

MOTOROLA
SEMICONDUCTOR
 TECHNICAL DATA

**SWITCHMODE
 PULSE WIDTH MODULATION
 CONTROL CIRCUITS**

The TL494 is a fixed frequency, pulse width modulation control circuit designed primarily for Switchmode power supply control. This device features:

- Complete Pulse Width Modulation Control Circuitry
- On-Chip Oscillator With Master Or Slave Operation
- On-Chip Error Amplifiers
- On-Chip 5 Volt Reference
- Adjustable Dead-Time Control
- Uncommitted Output Transistors Rated to 500 mA Source Or Sink
- Output Control For Push-Pull Or Single-Ended Operation
- Undervoltage Lockout

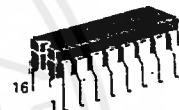


The TL494C is specified over the commercial operating range of 0°C to 70°C. The TL494I is specified over the industrial range of -25°C to 85°C. The TL494M is specified over the full military range of -55°C to 125°C.

TL494

**SWITCHMODE
 PULSE WIDTH MODULATION
 CONTROL CIRCUITS**

SILICON MONOLITHIC
 INTEGRATED CIRCUITS



J SUFFIX
 CERAMIC PACKAGE
 CASE 620



N SUFFIX
 PLASTIC PACKAGE
 CASE 648

ORDERING INFORMATION

Device	Temperature Range	Package
TL494CN TL494CJ	0° to +70°C	Plastic DIP Ceramic DIP
TL494IN TL494IJ	-25° to +85°C	Plastic DIP Ceramic DIP
TL494MJ	-55° to +125°C	Ceramic DIP

TL494

FIGURE 1 — BLOCK DIAGRAM

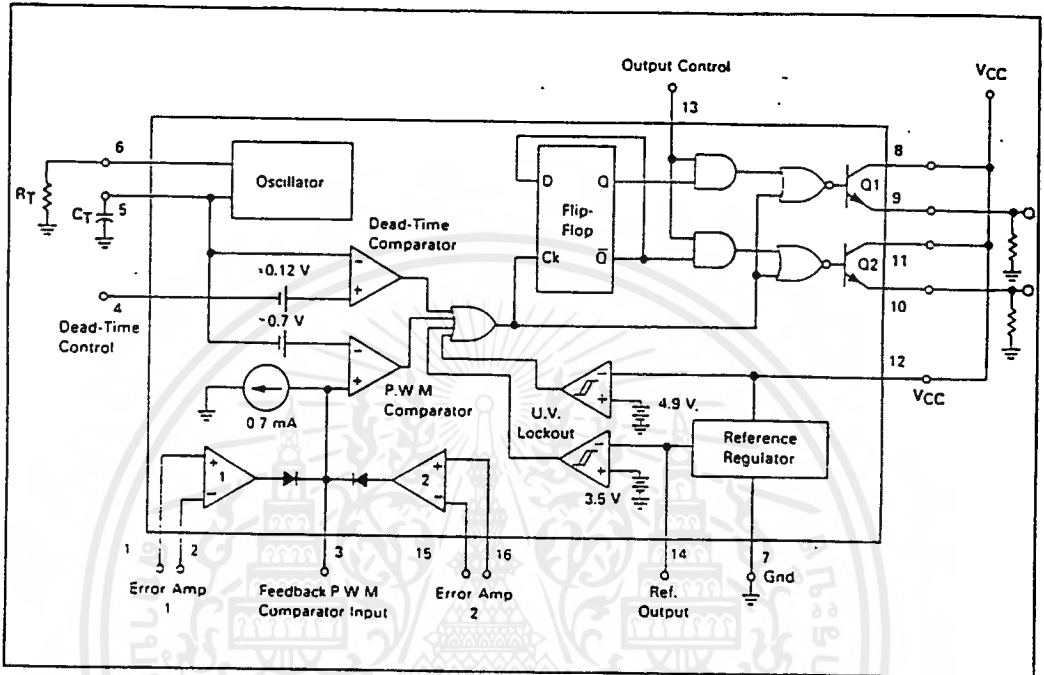
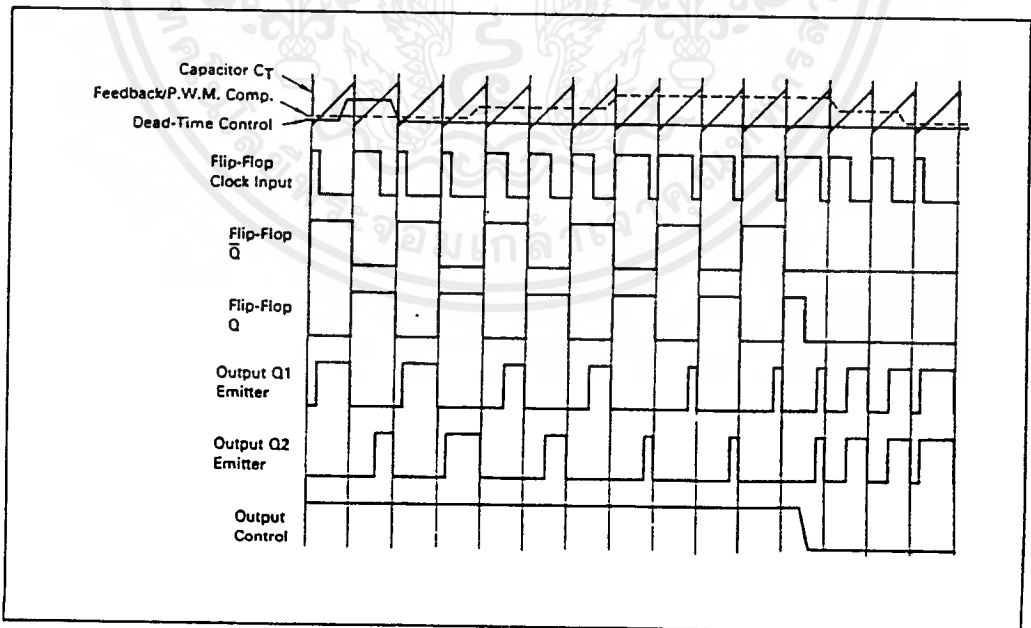


FIGURE 2 — TIMING DIAGRAM



เอกสารนี้เป็นเอกสารที่สงวนไว้สำหรับการใช้งานเพื่อการศึกษาเท่านั้น ไม่อนุญาตให้นำไปใช้ประโยชน์ด้านการค้า
ไม่ว่ากรณีใดๆ ทั้งสิ้น อีกทั้งห้ามมิให้ดัดแปลงเนื้อหาและต้องอ้างอิงถึงเจ้าของเอกสารทุกครั้งที่มีการนำไปใช้

TL494

Description

The TL494 is a fixed-frequency pulse width modulation control circuit, incorporating the primary building blocks required for the control of a switching power supply. (See Figure 1.) An internal-linear sawtooth oscillator is frequency-programmable by two external components, R_T and C_T . The approximate oscillator frequency is determined by:

$$f_{osc} \approx \frac{1.1}{R_T \cdot C_T}$$

For more information refer to Figure 4.

Output pulse width modulation is accomplished by comparison of the positive sawtooth waveform across capacitor C_T to either of two control signals. The NOR gates, which drive output transistors Q1 and Q2, are enabled only when the flip-flop clock-input line is in its low state. This happens only during that portion of time when the sawtooth voltage is greater than the control signals. Therefore, an increase in control-signal amplitude causes a corresponding linear decrease of output pulse width. (Refer to the timing diagram shown in Figure 2.)

The control signals are external inputs that can be fed into the dead-time control, the error amplifier inputs, or the feedback input. The dead-time control comparator has an effective 120 mV input offset which limits the minimum output dead time to approximately the first 4% of the sawtooth-cycle time. This would result in a maximum duty cycle on a given output of 96% with the output control grounded, and 48% with it connected to the reference line. Additional dead time may be imposed on the output by setting the dead time-control input to a fixed voltage, ranging between 0 to 3.3 V.

The pulse width modulator comparator provides a means for the error amplifiers to adjust the output pulse width from the maximum percent on-time, established by the dead time control input, down to zero, as the voltage at the feedback pin varies from 0.5 to 3.5 V. Both error amplifiers have a common-mode input range from -0.3 V to $(V_{CC} - 2$ V), and may be used to sense power-supply output voltage and current. The error-amplifier outputs are active high and are ORed together at the non-inverting input of the pulse-width modulator comparator. With this configuration, the amplifier that demands minimum output on time, dominates control of the loop.

When capacitor C_T is discharged, a positive pulse is generated on the output of the dead-time comparator, which clocks the pulse-steering flip-flop and inhibits the output transistors, Q1 and Q2. With the output-control connected to the reference line, the pulse-steering flip-flop directs the modulated pulses to each of the two output transistors alternately for push-pull operation. The output frequency is equal to half that of the oscillator. Output drive can also be taken from Q1 or Q2, when single-ended operation with a maximum on-time of less than 50% is required. This is desirable when the output transformer has a ringback winding with a catch diode used for snubbing. When higher output-drive currents are required for single-ended operation, Q1 and Q2 may be connected in parallel, and the output-mode pin must be tied to ground to disable the flip-flop. The output frequency will now be equal to that of the oscillator.

The TL494 has an internal 5 V reference capable of sourcing up to 10 mA of load current for external bias circuits. The reference has an internal accuracy of $\pm 5.0\%$ with a typical thermal drift of less than 50 mV over an operating temperature range of 0 to 70°C.

FIGURE 3 — FUNCTIONAL TABLE

Input	Output Function	$\frac{f_{out}}{f_{osc}} =$
Output Control		
Grounded	Single-ended P.W.M. at Q1 and Q2	1
At V_{ref}	Push-pull operation	0.5

TL494

MAXIMUM RATINGS (Full operating ambient temperature range applies unless otherwise noted)

Rating	Symbol	TL494C	TL494J	TL494M	Unit
Power Supply Voltage	V _{CC}	42	42	42	V
Collector Output Voltage	V _{C1} , V _{C2}	42	42	42	V
Collector Output Current (each transistor) (1)	I _{C1} , I _{C2}	500	500	500	mA
Amplifier Input Voltage Range	V _{IR}	-0.3 to 42	-0.3 to 42	-0.3 to 42	V
Power Dissipation (1) T _A ≤ 45°C	P _D	1000	1000	1000	mW
Operating Junction Temperature	T _J	125	125	—	°C
		150	150	150	°C
Operating Ambient Temperature Range	T _A	0 to 70	-25 to 85	-55 to 125	°C
Storage Temperature Range	T _{stg}	-55 to 125	-55 to 125	—	°C
		-65 to 150	-65 to 150	-65 to 150	°C

NOTE 1: Maximum thermal limits must be observed

THERMAL CHARACTERISTICS

Characteristics	Symbol	N Suffix Plastic Package	J Suffix Ceramic Package	Unit
Thermal Resistance, Junction to Ambient	R _{θJA}	80	100	°C/W
Derating Ambient Temperature	T _A	45	50	°C

RECOMMENDED OPERATING CONDITIONS

Condition/Value	Symbol	TL494			Unit
		Min	Typ	Max	
Power Supply Voltage	V _{CC}	7.0	15	40	V
Collector Output Voltage	V _{C1} , V _{C2}	—	30	40	V
Collector Output Current (each transistor)	I _{C1} , I _{C2}	—	—	200	mA
Amplifier Input Voltage	V _{in}	-0.3	—	V _{CC} - 2.0	V
Current Into Feedback Terminal	I _{fb}	—	—	0.3	mA
Reference Output Current	I _{ref}	—	—	10	mA
Timing Resistor	R _T	1.8	30	500	kΩ
Timing Capacitor	C _T	0.0047	0.001	10	μF
Oscillator Frequency	f _{osc}	1.0	40	200	kHz

ELECTRICAL CHARACTERISTICS (V_{CC} = 15 V, C_T = 0.01 μF, R_T = 12 kΩ unless otherwise noted.)

For typical values T_A = 25°C, for min max values T_A is the operating ambient temperature range that applies unless otherwise noted.

Characteristic	Symbol	TL494C,J			TL494M			Unit
		Min	Typ	Max	Min	Typ	Max	

REFERENCE SECTION

Reference Voltage (I _O = 1.0 mA)	V _{ref}	4.75	5.0	5.25	4.75	5.0	5.25	V
Line Regulation (V _{CC} = 7.0 V to 40 V)	Reg _{line}	—	2.0	25	—	2.0	25	mV
Load Regulation (I _O = 1.0 mA to 10 mA)	Reg _{load}	—	3.0	15	—	3.0	15	mV
Short-Circuit Output Current (V _{ref} = 0 V)	I _{SC}	15	35	75	15	35	75	mA

TL494

ELECTRICAL CHARACTERISTICS ($V_{CC} = 15\text{ V}$, $C_T = 0.01\ \mu\text{F}$, $R_T = 12\ \text{k}\Omega$ unless otherwise noted.)

For typical values $T_A = 25^\circ\text{C}$, for min-max values T_A is the operating ambient temperature range that applies unless otherwise noted.

Characteristic	Symbol	TL494CJ			TL494M			Unit
		Min	Typ	Max	Min	Typ	Max	
OUTPUT SECTION								
Collector Off-State Current ($V_{CC} = 40\text{ V}$, $V_{CE} = 40\text{ V}$)	$I_{C(off)}$	—	2.0	100	—	2.0	100	μA
Emitter Off-State Current ($V_{CC} = 40\text{ V}$, $V_C = 40\text{ V}$, $V_E = 0\text{ V}$)	$I_{E(off)}$	—	—	-100	—	—	-150	μA
Collector-Emitter Saturation Voltage (2) Common-Emitter ($V_E = 0\text{ V}$, $I_C = 200\text{ mA}$) Emitter-Follower ($V_C = 15\text{ V}$, $I_E = -200\text{ mA}$)	$V_{SAT(IC)}$	—	1.1	1.3	—	1.1	1.5	V
	$V_{SAT(IE)}$	—	1.5	2.5	—	1.5	2.5	V
Output Control Pin Current Low State ($V_{OC} = 0.4\text{ V}$) High State ($V_{OC} = V_{ref}$)	I_{OCL}	—	10	—	—	10	—	μA
	I_{OCH}	—	0.2	3.5	—	0.2	3.5	mA
Output Voltage Rise Time Common-Emitter (See Figure 13) Emitter-Follower (See Figure 14)	t_r	—	100	200	—	100	200	ns
		—	100	200	—	100	200	ns
Output Voltage Fall Time Common-Emitter (See Figure 13) Emitter-Follower (See Figure 14)	t_f	—	25	100	—	25	100	ns
		—	40	100	—	40	100	ns

Characteristic	Symbol	TL494			Unit
		Min	Typ	Max	

ERROR AMPLIFIER SECTIONS

Input Offset Voltage (V_O (Pin 3) = 2.5 V)	V_{IO}	—	2.0	10	mV
Input Offset Current (V_O (Pin 3) = 2.5 V)	I_{IO}	—	5.0	250	nA
Input Bias Current (V_O (Pin 3) = 2.5 V)	I_{IB}	—	-0.1	-1.0	μA
Input Common-Mode Voltage Range ($V_{CC} = 40\text{ V}$, $T_A = 25^\circ\text{C}$)	V_{ICR}	-0.3 to $V_{CC} - 2.0$	—	—	V
Open-Loop Voltage Gain ($\Delta V_O = 3.0\text{ V}$, $V_O = 0.5$ to 3.5 V , $R_L = 2.0\ \text{k}\Omega$)	A_{VOL}	70	95	—	dB
Unity-Gain Crossover Frequency ($V_O = 0.5$ to 3.5 V , $R_L = 2.0\ \text{k}\Omega$)	f_c	—	350	—	kHz
Phase Margin at Unity-Gain ($V_O = 0.5$ to 3.5 V , $R_L = 2.0\ \text{k}\Omega$)	ϕ_m	—	65	—	deg.
Common-Mode Rejection Ratio ($V_{CC} = 40\text{ V}$)	CMRR	65	90	—	dB
Power Supply Rejection Ratio ($\Delta V_{CC} = 33\text{ V}$, $V_O = 2.5\text{ V}$, $R_L = 2.0\ \text{k}\Omega$)	PSRR	—	100	—	dB
Output Sink Current (V_O (Pin 3) = 0.7 V)	I_O	0.3	0.7	—	mA
Output Source Current (V_O (Pin 3) = 3.5 V)	I_O	2.0	4.0	—	mA

NOTE 2: Low duty cycle pulse techniques are used during test to maintain junction temperature as close to ambient temperatures as possible.

TL494

ELECTRICAL CHARACTERISTICS ($V_{CC} = 15\text{ V}$, $C_T = 0.01\ \mu\text{F}$, $R_T = 12\ \text{k}\Omega$ unless otherwise noted.)
 For typical values $T_A = 25^\circ\text{C}$, for min/max values T_A is the operating ambient temperature range that applies unless otherwise noted.

Characteristic	Symbol	TL494			Unit
		Min	Typ	Max	
PWM COMPARATOR SECTION (Test Circuit Figure 12)					
Input Threshold Voltage (Zero duty cycle)	V_{TH}	—	3.5	4.5	V
Input Sink Current ($V_{Pin\ 3} = 0.7\ \text{V}$)	I_{I-}	0.3	0.7	—	mA
DEAD-TIME CONTROL SECTION (Test Circuit Figure 12)					
Input Bias Current (Pin 4) ($V_{Pin\ 4} = 0\ \text{to}\ 5.25\ \text{V}$)	$I_{IB}\ (DT)$	—	-2.0	-10	μA
Maximum Duty Cycle, Each Output, Push-Pull Mode ($V_{Pin\ 4} = 0\ \text{V}$, $C_T = 0.01\ \mu\text{F}$, $R_T = 12\ \text{k}\Omega$) ($V_{Pin\ 4} = 0\ \text{V}$, $C_T = 0.001\ \mu\text{F}$, $R_T = 30\ \text{k}\Omega$)	DC_{max}	45	48 45	50 50	%
Input Threshold Voltage (Pin 4) (Zero Duty Cycle) (Maximum Duty Cycle)	V_{TH}	— 0	2.8	3.3	V
OSCILLATOR SECTION					
Frequency ($C_T = 0.001\ \mu\text{F}$, $R_T = 30\ \text{k}\Omega$)	f_{osc}	—	40	—	kHz
Standard Deviation of Frequency* ($C_T = 0.001\ \mu\text{F}$, $R_T = 30\ \text{k}\Omega$)	σ_{osc}	—	3.0	—	%
Frequency Change with Voltage ($V_{CC} = 7.0\ \text{V to}\ 40\ \text{V}$, $T_A = 25^\circ\text{C}$)	$\Delta f_{osc}\ (\Delta V)$	—	0.1	—	%
Frequency Change with Temperature ($\Delta T_A = T_{low}\ \text{to}\ T_{high}$) ($C_T = 0.01\ \mu\text{F}$, $R_T = 12\ \text{k}\Omega$)	$\Delta f_{osc}\ (\Delta T)$	—	—	12	%
UNDERVOLTAGE LOCKOUT SECTION					
Turn-On Threshold (V_{CC} increasing, $I_{ref} = 1.0\ \text{mA}$)	V_{th}	5.5	6.43	7.0	V
TOTAL DEVICE					
Standby Supply Current (Pin 6 at V_{ref} , All Other Inputs and Outputs Open) ($V_{CC} = 15\ \text{V}$) ($V_{CC} = 40\ \text{V}$)	I_{CC}	— —	5.5 7.0	10 15	mA
Average Supply Current ($V_{Pin\ 4} = 2.0\ \text{V}$) (See Figure 12) ($C_T = 0.01\ \mu\text{F}$, $R_T = 12\ \text{k}\Omega$, $V_{CC} = 15\ \text{V}$)	—	—	7.0	—	mA

* Standard deviation is a measure of the statistical distribution about the mean as derived from the formula, ..

$$\sqrt{\frac{\sum_{n=1}^N (X_n - \bar{X})^2}{N - 1}}$$

3

FIGURE 4 — OSCILLATOR FREQUENCY versus TIMING RESISTANCE

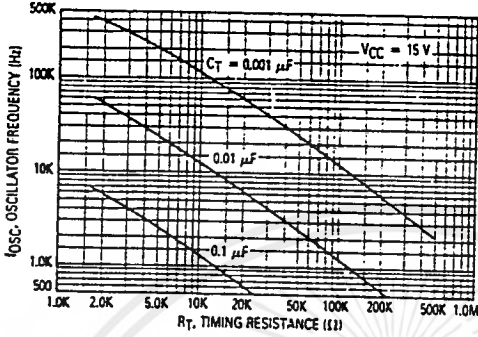


FIGURE 5 — OPEN-LOOP VOLTAGE GAIN AND PHASE versus FREQUENCY

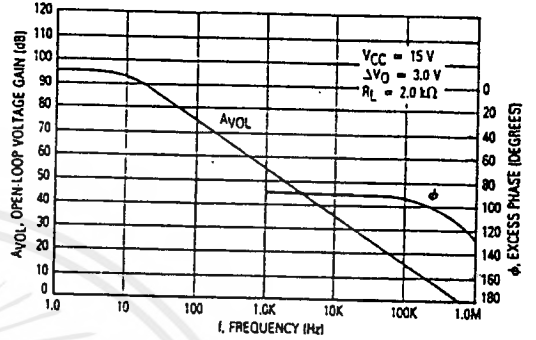


FIGURE 6 — PERCENT DEAD-TIME versus OSCILLATOR FREQUENCY

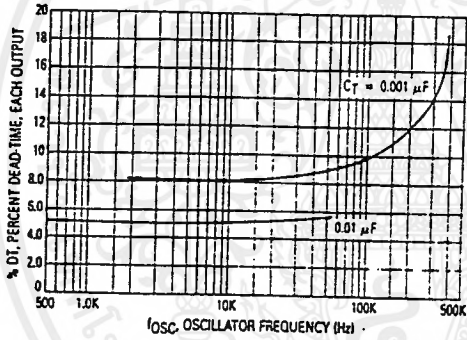


FIGURE 7 — PERCENT DUTY CYCLE versus DEAD-TIME CONTROL VOLTAGE

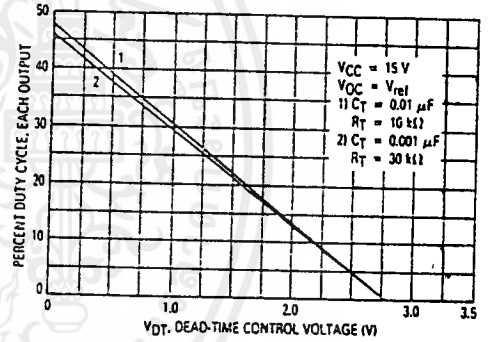


FIGURE 8 — EMITTER FOLLOWER CONFIGURATION OUTPUT SATURATION VOLTAGE versus EMITTER CURRENT

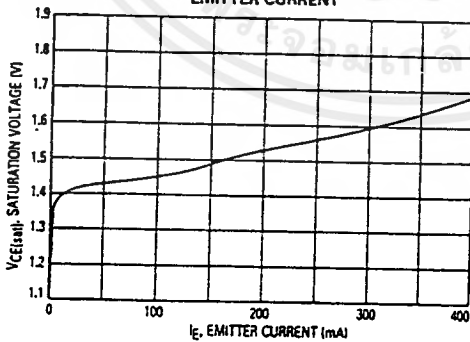
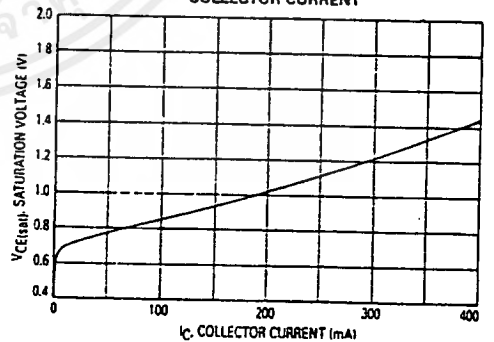


FIGURE 9 — COMMON EMITTER CONFIGURATION OUTPUT SATURATION VOLTAGE versus COLLECTOR CURRENT



เอกสารนี้เป็นเอกสารที่สงวนไว้สำหรับการใช้งานเพื่อการศึกษาเท่านั้น ไม่นอนุญาตให้นำไปใช้ประโยชน์ด้านการค้า ไม่ว่าจะกรณีใดๆ ทั้งสิ้น อีกทั้งห้ามมิให้ดัดแปลงเนื้อหาและต้องอ้างอิงถึงเจ้าของเอกสารทุกครั้งที่มีการนำไปใช้

MOTOROLA
SEMICONDUCTOR
 TECHNICAL DATA

BD675, BD675A
BD677*, BD677A*
BD679*, BD679A*
BD681*

*Motorola preferred device

4.0 AMPERE
DARLINGTON
POWER TRANSISTORS
NPN SILICON

60, 80, 100 VOLTS
40 WATTS

PLASTIC MEDIUM-POWER
SILICON NPN DARLINGTONS

... for use as output devices in complementary general-purpose amplifier applications.

- High DC Current Gain -
 $h_{FE} = 750$ (Min) @ $I_C = 1.5$ and 2.0 Adc
- Monolithic Construction
- BD675, 675A, 677, 677A, 679, 679A, 681 are complementary with BD676, 676A, 678, 678A, 680, 680A, 682
- BD 677, 677A, 679, 679A are equivalent to MJE 800, 801, 802, 803

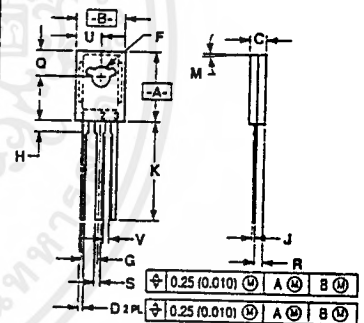
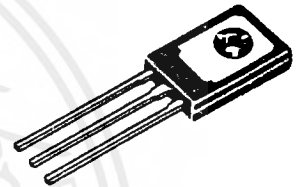
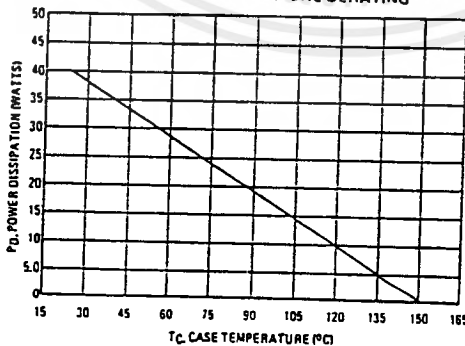
MAXIMUM RATINGS

Rating	Symbol	BD675 BD675A	BD677 BD677A	BD679 BD679A	BD681	Unit
Collector-Emitter Voltage	V_{CE0}	45	60	80	100	Vdc
Collector-Base Voltage	V_{CB}	45	60	80	100	Vdc
Emitter-Base Voltage	V_{EB}		5.0			Vdc
Collector Current	I_C		4.0			Adc
Base Current	I_B		0.1			Adc
Total Device Dissipation @ $T_C = 25^\circ C$ Derate above $25^\circ C$	P_D		.40	0.32		Watts W/ $^\circ C$
Operating and Storage Junction Temperating Range	T_J, T_{stg}		-55 to +150			$^\circ C$

THERMAL CHARACTERISTICS

Characteristic	Symbol	Max.	Unit
Thermal Resistance, Junction to Case	θ_{JC}	3.13	$^\circ C/W$

FIGURE 1 - POWER TEMPERATURE DERATING



- NOTES:
 1. DIMENSIONS AND TOLERANCES PER ANSI Y14.5M, 1982.
 2. CONTROLLING DIMENSION: INCH.
 3. 077-01 THRU -06 OBSOLETE, NEW STANDARD 077-02.

MILLIMETERS		INCHES		
DWG	MIN	MAX	MIN	MAX
A	10.30	11.04	0.405	0.433
B	7.50	7.74	0.295	0.305
C	2.42	2.66	0.095	0.105
D	3.51	0.86	0.020	0.029
F	2.93	3.30	0.115	0.130
G	2.95 BSC		0.098 BSC	
H	1.27	2.41	0.050	0.095
J	0.30	0.63	0.015	0.025
K	14.61	16.53	0.575	0.652
M	3* TYP		3* TYP	
O	3.78	4.01	0.148	0.158
R	1.15	1.29	0.045	0.056
S	0.64	0.88	0.025	0.035
U	3.49	3.93	0.138	0.154
V	1.02	-	0.040	-

- STYLE 1:
 PIN 1: EMITTER
 2: COLLECTOR
 3: BASE

CASE 77-07
TO-225AA TYPE

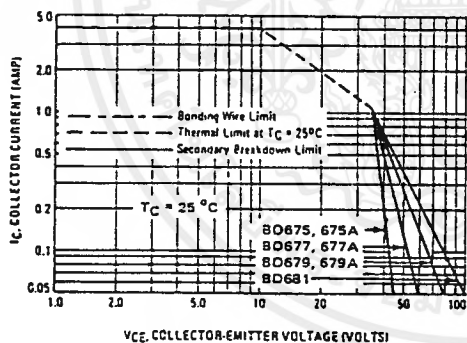
BD675, 675A, BD677, 677A, BD679, 679A, BD681

ELECTRICAL CHARACTERISTICS ($T_C = 25^\circ\text{C}$ unless otherwise noted)

Characteristic	Symbol	Min	Max	Unit	
OFF CHARACTERISTICS					
Collector-Emitter Breakdown Voltage(1) ($I_C = 50 \text{ mAdc}, I_B = 0$)	BD675, 675A BD677, 677A BD679, 679A BD681	V_{CEO}	45 60 80 100	— — — —	Vdc
Collector Cutoff Current ($V_{CE} = \text{Half Rated } V_{CEO}, I_B = 0$)		I_{CEO}	—	500	μAdc
Collector Cutoff Current ($V_{CB} = \text{Rated } V_{CEO}, I_E = 0$) ($V_{CB} = \text{Rated } V_{CEO}, I_E = 0, T_C = 100^\circ\text{C}$)		I_{CBO}	—	0.2 2.0	mAdc
Emitter Cutoff Current ($V_{BE} = 5.0 \text{ Vdc}, I_C = 0$)		I_{EBO}	—	2.0	mAdc
ON CHARACTERISTICS					
DC Current Gain(1) ($I_C = 1.5 \text{ Adc}, V_{CE} = 3.0 \text{ Vdc}$) ($I_C = 2.0 \text{ Adc}, V_{CE} = 3.0 \text{ Vdc}$)	BD675, 677, 679, 681 BD 675A, 677A, 679A	h_{FE}	750 750	— —	—
Collector-Emitter Saturation Voltage(1) ($I_C = 1.5 \text{ Adc}, I_B = 30 \text{ mAdc}$) ($I_C = 2.0 \text{ Adc}, I_B = 40 \text{ mAdc}$)	BD 677, 679, 681 BD 675A, 677A, 679A	$V_{CE(sat)}$	—	2.5 2.8	Vdc
Base-Emitter On Voltage(1) ($I_C = 1.5 \text{ Adc}, V_{CE} = 3.0 \text{ Vdc}$) ($I_C = 2.0 \text{ Adc}, V_{CE} = 3.0 \text{ Vdc}$)	BD 677, 679, 681 BD 675A, 677A, 679A	$V_{BE(on)}$	—	2.5 2.5	Vdc
DYNAMIC CHARACTERISTICS					
Small-Signal Current Gain ($I_C = 1.5 \text{ Adc}, V_{CE} = 3.0 \text{ Vdc}, f = 1.0 \text{ MHz}$)		h_{fe}	1.0	—	—

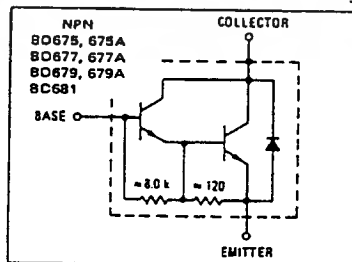
(1) Pulse Test: Pulse Width $\leq 300 \mu\text{s}$, Duty Cycle $\leq 2.0\%$.

FIGURE 2 - DC SAFE OPERATING AREA



There are two limitations on the power handling ability of a transistor: average junction temperature and secondary breakdown. Safe operating area curves indicate I_C - V_{CE} limits of the transistor that must be observed for reliable operation; e.g., the transistor must not be subjected to greater dissipation than the curves indicate. At high case temperatures, thermal limitations will reduce the power that can be handled to values less than the limitations imposed by secondary breakdown.

FIGURE 3 - DARLINGTON CIRCUIT SCHEMATIC



กิตติกรรมประกาศ

ปริญญาบัตรนี้จะสำเร็จไม่ได้ถ้าไม่ได้รับความช่วยเหลือเป็นอย่างดีจากบุคคลและหน่วยงานต่าง ๆ ดังต่อไปนี้

ขอขอบพระคุณ

รศ.ดร.วิวัฒน์ กิรานนท์

ดร.ทองทอด วานิชศรี

สำนักวิจัยและบริการคอมพิวเตอร์

โรงเรียนปฏิบัติงานภาควิชาชีพวิศวกรรมเครื่องกล

และขอขอบคุณ

นายทวีศักดิ์ ตูลยเดชาภา

นายชัยอนันต์ ดวงจันทร์

นางสาวสุภรดา แดงจวง

นายทรงชัย เปรมประสพโชค

นายปวิม ฅ บางช้าง

ที่เอื้อเพื่ออุปกรณ์และเครื่องมือต่าง ๆ พร้อมทั้งให้คำแนะนำในการทำโครงการ

ตลอดจนการทำ

รายงานในครั้งนี้

ผู้จัดทำ

เอกสารนี้เป็นเอกสารที่สงวนไว้สำหรับการใช้งานเพื่อการศึกษาเท่านั้น ไม่อนุญาตให้นำไปใช้ประโยชน์ด้านการค้า ไม่ว่าจะกรณีใดๆ ทั้งสิ้น อีกทั้งห้ามมิให้ตัดแปลงเนื้อหาและต้องอ้างอิงถึงเจ้าของเอกสารทุกครั้งที่มีการนำไปใช้

บรรณานุกรม

- [1] Constantine A. Balanis, "Antenna Theory: Analysis and Design," John Wiley & Sons, 1982.
- [2] Adel S. Sedra , Kenneth C. Smith , "Microelectronic Circuits," Saunders College Publishing , 1991.
- [3] ยืน ภู่วรวรรณ , "เทคโนโลยีฮาร์ดแวร์ IBM PC," ซีเอ็ดยูเคชั่น, 2533.
- [4] จิติ หนูแก้ว, "เทคนิคการเชื่อมต่อ IBM PC," ซีเอ็ดยูเคชั่น, 2535.
- [5] อาณัติ พงษ์สุทธิรักษ์และวัชระ มนูญพร, "ออกแบบสร้างเครื่องรับวิทยุสมัครเล่น 142-148 MHz", เซมิคอนดักเตอร์อิเล็กทรอนิกส์ ฉบับที่ 112 , ธันวาคม 2534 , หน้า 48-53.
- [6] สุชาติ กังวารจิตต์, "เครื่องรับส่งวิทยุและระบบวิทยุสื่อสาร", ซีเอ็ดยูเคชั่น, 2536.

